

PROBLEMAS T. 2

2.1  
a)  ${}_{27}^{60}\text{Co} \rightarrow \text{pat} \approx 60 \text{ g/mol}$

$T_{1/2} = 5,2 \text{ años} = \frac{\ln 2}{\lambda}$

$\Rightarrow \lambda = \frac{\ln 2}{5,2 \text{ años}} = 0,13 \text{ años}^{-1} = 4,23 \times 10^{-9} \text{ s}^{-1}$

$A = \lambda \cdot N$

$A_{\text{esp}} = \frac{A}{m} = \frac{\lambda N}{m} = \frac{\lambda \cdot N_A}{\text{pat}} = \frac{0,13 \text{ años}^{-1} \cdot 6,023 \cdot 10^{23} \text{ mol}^{-1}}{60 \text{ g/mol}} = 1,34 \times 10^{21} \frac{1}{\text{año} \cdot \text{g}}$

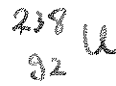
$= 4,24 \cdot 10^{13} \text{ Bq/g}$

b)  ${}_{15}^{32}\text{P} \rightarrow T_{1/2} = 14,3 \text{ días}, \text{pat} = 31,97 \text{ g/mol} \approx 32 \text{ g/mol}$

$A_{\text{vol}} = \frac{A}{V} = \frac{\lambda \cdot N}{V} = \frac{\ln 2}{14,3 \text{ días}} \cdot \frac{N_A \cdot m}{\text{pat} \cdot V} = \frac{\ln 2}{14,3 \text{ días}} \cdot \frac{6,023 \cdot 10^{23} \text{ mol}^{-1} \cdot 1 \text{ mg}}{32 \text{ g/mol} \cdot 1 \text{ L}}$

$= 1,06 \cdot 10^{16} \frac{\text{Bq}}{\text{m}^3}$

2.2



$Q_{\alpha 1} = M({}_{92}^{238}\text{U}) - M({}_{90}^{234}\text{Th}) - M({}_2^4\text{He}) + 4m_e - 2m_e - 2m_e$

$= M({}_{92}^{238}\text{U}) - M({}_{90}^{234}\text{Th}) - M({}_2^4\text{He}) \dots \rightarrow \text{masas atómicas}$

$= (221749,46 - 218017,19 - 3729,40) \text{ MeV} = 3,87 \text{ MeV} > 0$

$Q_{\alpha 2} = Q_{\alpha 1} - 0,048 \text{ MeV} = 3,822 \text{ MeV}$

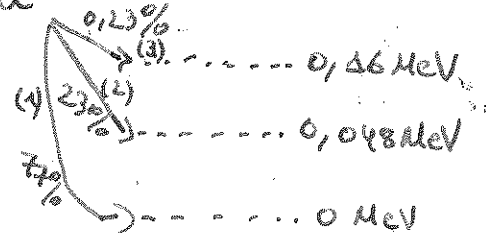
$Q_{\alpha 3} = Q_{\alpha 2} - 0,16 \text{ MeV} = 3,71 \text{ MeV}$

calor de reacción promedio:

$\bar{Q}_{\alpha} = 0,77 Q_{\alpha 3} + 0,23 Q_{\alpha 2} + 0,0023 Q_{\alpha 1} = 3,867493 \text{ MeV}$

$Q_{\alpha i} = T_{\alpha i} + T_{\text{Th} i}; T_{\alpha i} = \frac{1}{2} M_{\alpha} \cdot V_{\alpha i}^2; T_{\text{Th} i} = \frac{1}{2} M_{\text{Th}} \cdot V_{\text{Th} i}^2$

U en reposo  $\rightarrow$  conservación de momento  $M_{\alpha} V_{\alpha i} = M_{\text{Th}} V_{\text{Th} i}$



lo es posible en la naturaleza

$$Q_{\alpha i} = T_{\alpha i} + \frac{1}{2} \frac{M_{Th}}{M_{Th}} \cdot M_{Th} \cdot V_{Thi}^2 = T_{\alpha i} + \frac{1}{2} \frac{1}{M_{Th}} \cdot (M_{\alpha} \cdot V_{\alpha i})^2$$

$$= T_{\alpha i} + \frac{M_{\alpha}}{M_{Th}} \cdot T_{\alpha i}$$

$$\hookrightarrow T_{\alpha i} = Q_{\alpha i} \cdot \frac{M_{Th}}{M_{\alpha} + M_{Th}} = Q_{\alpha i} \cdot \frac{0,98 \cdot 234}{234 + 4} \approx Q_{\alpha i}$$

$$T_{\alpha 1} = 0,98 Q_{\alpha 1} = 3,80496 \text{ MeV}$$

$$T_{\alpha 2} = 3,75776 \text{ MeV}$$

$$T_{\alpha 3} = 3,64765 \text{ MeV}$$

Promedio:

$$\overline{T_{\alpha}} = 0,98 \overline{Q_{\alpha}} = 0,77 T_{\alpha 1} + 0,23 T_{\alpha 2} + 0,0023 T_{\alpha 3} = 3,8025 \text{ MeV}$$

2.3



(ocurre al 95% así, el 5% restante va directamente al fundamental)



$$660 \text{ KeV} = T_{\text{Ba}} + E_{\gamma}$$

Suponemos Cs en reposo. Al desintegrarse vía  $\beta^-$  al  $\text{Ba}^*$ , el retroceso del  $\text{Ba}^*$  es despreciable ( $M_{\text{Ba}} \gg M_e, M_{\nu}$ )

Lo  $\text{Ba}^*$  en reposo se desintegra vía gamma; se conserva el momento:

$$\vec{p}_{\beta} + \vec{p}_{\text{Ba}} = \vec{p}_{\text{Ba}^*} = \vec{0} \rightarrow \vec{p}_{\nu} = -\vec{p}_{\text{Ba}} \rightarrow p_{\nu} = p_{\text{Ba}} \text{ (módulos)}$$

$$\frac{E_{\gamma}}{c} = \sqrt{2M_{\text{Ba}} T_{\text{Ba}}} \rightarrow 660 \text{ KeV} - T_{\text{Ba}} = \sqrt{2M_{\text{Ba}} T_{\text{Ba}}}$$

$$M_{\text{Ba}} = 136,90455 \times 931,494 \text{ MeV}$$

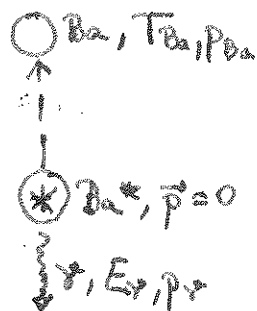
$$\hookrightarrow T_{\text{Ba}} = x^2 \quad (x > 0)$$

$$\hookrightarrow x^2 + \sqrt{2M_{\text{Ba}}} x - 660 \text{ KeV} = 0$$

$$x = \frac{-\sqrt{2M_{\text{Ba}}} + \sqrt{2M_{\text{Ba}} + 4 \cdot 660 \text{ KeV}}}{2} = 1,307 \cdot 10^{-3}$$

$$T_{\text{Ba}} = x^2 = 1,708 \text{ eV} \quad \rightarrow \text{Retroceso despreciable}$$

$$E_{\gamma} \approx 660 \text{ KeV}$$



2.4



$$M_N({}^{11}_4\text{Be}) = M_N({}^{11}_5\text{B}) + m_{e^-} + T_B + T_e + T_{\bar{\nu}}$$

→ despreciable, ~ 1eV

$T_{e, \max}$  se da cuando  $T_{\bar{\nu}} = 0$

$$\begin{aligned} T_{e, \max} &= M_N({}^{11}_4\text{Be}) + 4m_{e^-} - M_N({}^{11}_5\text{B}) - 5m_{e^-} + m_{e^-} - m_{e^-} \\ &= M({}^{11}_4\text{Be}) - M({}^{11}_5\text{B}) = (11,021656 - 11,009305) \times 931,494 \text{ MeV} \\ &= 11,5 \text{ MeV} // \end{aligned}$$

2.5



$$\begin{aligned} Q_{\beta^+} &= M_N({}^{63}_{30}\text{Zn}) - M_N({}^{63}_{29}\text{Cu}) - m_e = M({}^{63}_{30}\text{Zn}) - M({}^{63}_{29}\text{Cu}) - 2m_{e^-} \\ &= (62,933212 - 62,9295174) \times 931,494 \text{ MeV} - 2 \times 0,511 \text{ MeV} = 2,4 \text{ MeV} // \end{aligned}$$

$$Q_{CE} = Q_{\beta^+} + \underbrace{2m_e}_{1,022 \text{ MeV}} = 3,44 \text{ MeV} //$$

Ambas  $Q > 0 \rightarrow$  posibles, compiten entre sí.

2.6



$$M_N({}^7_4\text{Be}) + m_e = M_N({}^7_3\text{Li}) + T_{Li} + \underbrace{m_{\nu}}_{\approx 0} + T_{\nu}$$

Conservación de  $\vec{p}$  (inicialmente en reposo)

$$\vec{0} = \vec{p}_{Li} + \vec{p}_{\nu} \rightarrow \vec{p}_{Li} = -\vec{p}_{\nu} ; p_{Li} = p_{\nu} \text{ (módulo)}$$

$$p_{\nu} \approx T_{\nu} \quad (m_{\nu} \approx 0) \quad (c=1)$$

$$T_{Li} = \frac{p_{Li}^2}{2M_{Li}} = \frac{T_{\nu}^2}{2M_{Li}}$$

$$T_{\nu} + \frac{T_{\nu}^2}{2M_{Li}} + M_N({}^7_3\text{Li}) + 3m_e = M_N({}^7_4\text{Be}) + m_e + 3m_e$$

$$\frac{T_{\nu}^2}{2M_{Li}} + T_{\nu} + M({}^7_3\text{Li}) - M({}^7_4\text{Be}) = 0$$

$$M({}^7_3\text{Li}) = 7,016003 \times 931,494 \text{ MeV} \quad ; \quad M({}^7_4\text{Be}) = 7,016929246 \text{ u}$$

$$M_{Li} = M({}^7_3\text{Li}) - 3m_{e^-}$$

$$T_{\nu}^2 / 2 \cdot 6533,831698 \text{ MeV} + T_{\nu} - 0,863 \text{ MeV} = 0$$

→ solución positiva

$$T_{\nu} = \frac{-1 + \sqrt{1 + \frac{4 \cdot 0,863^2}{2 \cdot 6533,831698}}}{2 \cdot 6533,831698} = 0,852736 \text{ MeV}$$

$$T_{Li} = \frac{T_{\nu}^2}{2M_{Li}} = \frac{T_{\nu}^2}{2 \cdot 6533,8 \text{ MeV}} = 56,96 \text{ eV} \ll T_{\nu} \rightarrow \text{despreciable retroceso del núcleo hijo}$$

2.7



a)  $Q_{\beta^+} = M({}^{18}_9\text{F}) - M({}^{18}_8\text{O}) - 2m_e = 0,633 \text{ MeV} > 0 \rightarrow \text{es posible en la naturaleza}$

b)  $Q_{\beta^+} = T_{\nu} + T_{\beta^+}$  ( $T_0$  despreciable)

$$= 0 + T_{\beta^+, \text{max}} = 0,633 \text{ MeV}$$

↳ cuando  $T_{\nu} = 0$

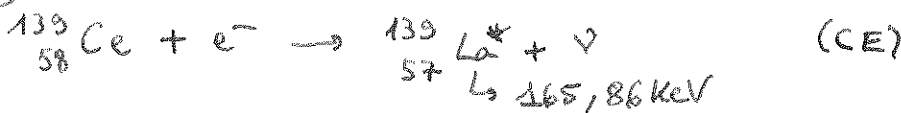
c)  $Q_{CE} = Q_{\beta^+} + 2m_e = 1,655 \text{ MeV} \rightarrow \text{compete con } \beta^+$

d) Las  $\gamma$ 's de 511 keV → fotones de aniquilación. De cada desintegración  $\beta^+$  sale un positrón, que se aniquila en 2 fotones de 511 keV al "chocar" con  $1e^-$ .

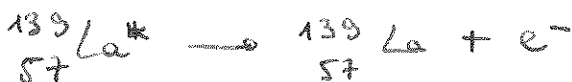
Si CE tiene un branching ratio de 3,5% y  $\beta^+$  un 96,5%, al haber 2  $\gamma$ 's por  $\beta^+$ , en promedio habrá 193 fotones por cada 100 desintegraciones.

2 · 96,5

2.8



a) El estado excitado puede desintegrarse por conversión interna:



b)  $Q_{CI} = 165,86 \text{ KeV} = T_{\bar{\nu}} + B_i$  ↳ energía de enlace del  $e^-$  atómico

$$B_K = B(\text{mayor, más ligado}) = Q - T(\text{neutrón}) = 38,93 \text{ KeV}$$


$$B_L = Q - 159,89 = 6,27 \text{ KeV}$$

$$B_{\text{nuvo}} = Q - 164,49 = 1,37 \text{ KeV} \rightarrow \text{- ligado}$$

c) Al de  ${}^{139}_{57}\text{La}$ , donde se produce la C.I.

2.9

a) Caso no relativista:



$$m\omega^2 R = q \cdot v \cdot B$$

$$m \frac{v^2}{R} = q v B$$

$$p = q R B //$$

Caso relativista:  
 $p = \gamma m v //$   $\rightarrow$  SI = stma. internacional

b)  $\left( \frac{p_{SI} \cdot c_{SI}}{q_{SI} \cdot c_{SI}} \right) = B_{SI} \cdot R_{SI} \Rightarrow p c [eV] = c_{SI} B_{SI} R_{SI}$

$\hookrightarrow p c [GeV] = 1 \cdot 10^{-9} \cdot 3 \cdot 10^8 B_{SI} R_{SI} = 0,3 B_{SI} R_{SI} //$

c) Caso no relativista:  
 $m\omega^2 R = q \omega R B$   
 $\hookrightarrow \omega = \frac{q B}{m} //$

Caso relativista:  
 $\gamma m \omega R = q R B \rightarrow \omega = \frac{q B}{\gamma m} \cdot \frac{1}{\gamma} \rightarrow$  depende de la velocidad  
 $\hookrightarrow$  ya no es constante, ir sincronizando.  
 $= \frac{q B c^2}{\gamma m c^2} = \frac{q B c^2}{E_{TOT} [J]}$

2.10

a)  $p c [GeV] = 0,3 \cdot 10 \cdot 0,6 GeV = 0,18 GeV$   
 $E_{TOT, max} = \sqrt{0,938^2 + 0,18^2} = 955 MeV = \gamma m c^2 / q$

b)  $\omega = \frac{q B}{m} = \frac{q B c^2}{m_0 c^2} = \frac{0,3 \frac{q}{e} B_{SI} \cdot 3 \cdot 10^8 m_0^2}{0,938 \cdot 10^6 eV} = 96 MHz //$   
 $\omega (\gamma \neq 1) = \frac{q B c^2}{\gamma m c^2} = \frac{0,3 B c}{E_{TOT} (GeV)} = 94 MHz //$

c)  $V = 100 kV$   
 $\Delta T = 100 KeV \quad (\frac{1}{2} \text{ vuelta})$   
 $T_{vuelta} = \frac{2\pi}{\omega} = 65,5 ns$   
 $T_{max} = E_{TOT, max} - E_0 = 955 - 938 = 17 MeV //$

$N_{vueltas} = \frac{T_{max}}{2 \cdot \Delta T} = 85 vueltas //$

2.11

pulso  $\rightarrow N = 1 \text{ kHz}$ ,  $10^{11}$  part/pulso

$$p = 100 \text{ GeV}/c$$

$$\rho_H = 0,03 \text{ g/cm}^3$$

$$t = 1 \text{ cm}$$



a)  $E_{CM}$  ?

$$E_{LAB_p} = \sqrt{p_{LAB}^2 + m_p^2} = \sqrt{100^2 + 0,938^2} \approx 100 \text{ GeV}$$

$$E_{LAB_{blanco}} = m_H$$

Invariante S:

$$S = (E_{LAB_p} + E_{LAB_{blanco}})^2 - p_{LAB}^2 = E_{CM}^2 = p_{LAB}^2 + m_p^2 + \frac{E_{LAB_{blanco}}^2}{m_p^2} + 2E_{LAB_p} \frac{E_{LAB_{blanco}}}{m_p} - p_{LAB}^2$$

$$= 2m_p (m_p + \sqrt{m_p^2 + p_{LAB}^2})$$

$$E_{CM} \approx \sqrt{S} \approx 14 \text{ GeV}$$

$$L = v \cdot n_b \cdot n_1 \cdot \frac{n_2}{S}; \quad \frac{n_2}{S} = \frac{0,03 \text{ g/cm}^3 \cdot 6,023 \cdot 10^{23} \text{ mol}^{-1} \cdot 1 \text{ cm}}{1 \text{ g/mol} \cdot 1}$$

$$= 5,4207 \cdot 10^{22} \text{ part/cm}^2$$

$$L = 5,96277 \cdot 10^{37} \text{ cm}^{-2} \text{ s}^{-1}$$

$$\hookrightarrow N_{colisiones} = \sigma \cdot L$$

b)

$$E_{LAB} = 2 \cdot \sqrt{p^2 + m^2} \approx 200 \text{ GeV}, \quad \vec{p} = \vec{0} \text{ (signos opuestos)}$$

$$E_{CM}^2 = E_{LAB}^2 \rightarrow E_{CM} = E_{LAB} = 200 \text{ GeV} \gg 14 \text{ GeV (a)}$$

$$S = \pi r^2 \rightarrow v = 15 \text{ } \mu\text{m}; \quad n_1 = n_2 = 10^{11}$$

$$L = \frac{v n_b n_1 n_2}{4\pi r^2} = 3,89 \cdot 10^{34} \text{ m}^{-2} \text{ s}^{-1}$$

factor 4 por ser un bunch gaussiano

2.12

a)

$$2\pi R = 27 \text{ km}$$

$$\sqrt{s} = 14 \text{ TeV} = E_{cm} = E_{lab} \quad (\text{porque } \vec{P}_{lab} = 0 \text{ al ser opuestos } \vec{p}_1 \text{ y } \vec{p}_2 \text{ y mismo módulo})$$

$$= \sqrt{p_1^{lab^2} + m_1^{lab^2}} + \sqrt{p_2^{lab^2} + m_2^{lab^2}}$$

$$\approx 2 p_1^{lab} \quad \hookrightarrow m \ll p ; p_1 = p_2$$

$$P_{lab} = 7 \text{ TeV} = 7000 \text{ GeV}$$

$$pc [\text{GeV}] = B [\text{T}] \cdot R [\text{m}] \cdot 0,3$$

$$\hookrightarrow B [\text{T}] = \frac{7000}{0,3 \cdot 27000 / 2\pi} = 5,4 \text{ T}$$

b)

$$L = v \cdot n_b \cdot n_1 \cdot n_2 \cdot \frac{1}{S} = v \cdot 2600 \cdot (10^{11})^2 \cdot \frac{1}{4\pi (15 \cdot 10^{-6} \text{ m})^2}$$

$$W = 2\pi v = \frac{q \cdot B}{\gamma m} = \frac{q \cdot c^2 \cdot B}{\gamma m c^2} = \frac{0,3 \cdot 3 \cdot 10^8 \cdot B}{E_{lab} [\text{GeV}]} \quad \Downarrow \text{factor 4 si el bunch es gaussiano}$$

$$v = \frac{B \cdot 0,3}{2\pi} \cdot \frac{3 \cdot 10^8}{\frac{1}{2} E_{lab} [\text{GeV}]} = \frac{7000}{27000} \cdot \frac{3 \cdot 10^8}{\frac{1}{2} E_{lab} [\text{GeV}]} = 11,1 \text{ kHz}$$

$$L = 1,022 \cdot 10^{38} \text{ m}^{-2} \text{ s}^{-1}$$

$$L_{int} = \epsilon \cdot L \cdot dt = \epsilon \cdot L \int dt = 0,3 \cdot 1,0 \cdot 10^{38} \text{ m}^{-2} \text{ s}^{-1} \cdot 1 \text{ año}$$

$$= 9,6 \cdot 10^{44} \text{ m}^{-2} = 96 \text{ f.b}^{-1}$$

c)

$$\sigma = 70 \text{ mb}$$

$$\frac{dN_{sucesos}}{dt} = L \cdot \sigma = 7,15 \cdot 10^8 \text{ s}^{-1}$$

$$N_{sucesos} / \text{choque} = \frac{dN/dt}{2600 \cdot v} = 25$$

2.13

a) LEP

$$E_b = 104 \text{ GeV} ; R = 4,3 \text{ km} ; m_0 = 0,00511 \text{ GeV}$$

$$\Delta E [\text{GeV}] = \frac{6,034 \times 10^{-18}}{R [\text{m}]} \left( \frac{E_b [\text{GeV}]}{m_0 [\text{GeV}/c^2]} \right)^4 = 2,41 \text{ GeV/vuelta} //$$

Cavidades RF de 1,5 m ; 6 MeV/m =  $\nabla$

$$N_{\text{cav}} = \frac{\Delta E}{\nabla} \cdot \frac{1}{1,5} = 268 \text{ cavidades} //$$

b)  $E_b = 250 \text{ GeV}$

$$\hookrightarrow \Delta E = 80,4 \text{ GeV/vuelta} //$$

$$\hookrightarrow N_{\text{cav}} = 8932 \text{ cavidades} //$$

$$c) X = \frac{2,41 \text{ GeV}}{104 \text{ GeV}} = 2,3\%$$

$$\frac{\Delta E}{E} = 2,3\% = X = \frac{6,034 \times 10^{-18}}{R'} \left( \frac{250 \text{ GeV}}{511 \text{ KeV}} \right)^4 \cdot \frac{1}{250 \text{ GeV}}$$

$$\hookrightarrow R' = 59,7 \text{ km} //$$

$$\hookrightarrow L' = 2\pi R' = 375 \text{ km}$$

$$\Rightarrow N_{\text{cav}} = \frac{X \cdot E [\text{GeV}]}{6 \cdot 10^{-3} \cdot 1,5} = 643 \text{ cavidades} //$$

2.14  $\rightarrow$  Hoja aparte



2.14

Fórmula de Bethe-Block, según nuestros apuntes de teoría:

$$-\frac{dT}{dx} = S \approx \rho K \cdot \frac{Z}{A \beta^2} \left[ \ln \left( \frac{2m_0 c^2 \beta^2 \gamma^2}{I} \right) - \beta^2 \right] ; \quad \gamma^2 = \frac{1}{1-\beta^2} \quad \rho = \frac{2m_0 c^2}{I}$$

;  $K = 0,308 \text{ MeV cm}^2$  ↳ parámetro adimensional

$$= K \rho \frac{Z}{A} \left[ \frac{1}{\beta^2} \ln \left( \frac{\beta^2}{1-\beta^2} \right) - 1 \right] \rightarrow \text{Cambio de variable}$$

$$\boxed{t = \beta^2}$$

$$= -K \rho \frac{Z}{A} \left[ \frac{1}{t} \ln \frac{dt}{1-t} - 1 \right] \rightarrow \text{Buscamos el valor mínimo en función de } t$$

↳  $\frac{dS}{dt} = 0$

$$\frac{dS}{dt} = -K \rho \frac{Z}{A} \left[ -\frac{1}{t^2} \ln \frac{dt}{1-t} + \frac{1}{t} \cdot \frac{(1-t)}{t} \cdot \left( \frac{1}{1-t} + \frac{t}{(1-t)^2} \right) \right]$$

$$= -\frac{K \rho Z}{A} \cdot \frac{1}{t^2} \left[ -\ln \frac{dt}{1-t} + 1 + \frac{t}{1-t} \right] = -K \frac{Z^2}{A} \cdot \frac{1}{t^2} \left[ \frac{1}{1-t} - \ln \frac{dt}{1-t} \right] = 0$$

↳  $\frac{1}{1-t} - \ln \frac{dt}{1-t} = 0 \rightarrow$  Tenemos que comprobar por ordenador que la solución  $t$  (raíz de la ecuación) es aproximadamente constante para distintos valores de  $\alpha$ .

$$= \frac{1}{1-t} - \ln t + \ln \left( \frac{1-t}{t} \right) = 0 = \frac{1}{1-t} - \ln \frac{t}{1-t} - \ln \alpha$$

$$\alpha_{\text{Fe}} = \frac{2m_0 c^2}{I_c} = \frac{1,022 \text{ MeV}}{78 \cdot 10^{-6} \text{ MeV}} = 13103$$

$$\alpha_{\text{C}} = \frac{1,022}{723 \cdot 10^{-6}} = 1242$$

Mediante representación gráfica o por Newton-Raphson obtenemos las siguientes raíces:

$$(t_0)_{\text{Fe}} = 0,89169$$

$$(t_0)_{\text{C}} = 0,91573$$

Por tanto:  $\beta^2 \gamma^2 = \frac{t}{1-t} \rightarrow \beta \gamma = \sqrt{\frac{t}{1-t}}$

$$(\beta \gamma)_{\text{Fe}} = 2,9$$

$$(\beta \gamma)_{\text{C}} = 3,3$$

Aproximamos  $\rightarrow \beta \gamma \approx 3$  (+cte Vol)

Sustituyendo ahora  $\beta \gamma \approx 3$  en la fórmula de Bethe-Block, obtenemos:

$$\left(\frac{S}{\rho}\right)_{\text{Fe}} = \frac{0,308 \text{ MeV cm}^2/\text{g}}{1} \cdot \frac{20}{3} \cdot \frac{9}{209} \cdot \left( \ln \left( \frac{1242 \cdot 9}{10} \right) - \frac{9}{10} \right) = 1,142 \text{ MeV cm}^2/\text{g}$$

$$\left(\frac{S}{\rho}\right)_{\text{C}} = 0,308 \cdot \frac{10}{9} \cdot \frac{6}{12} \cdot \left( \ln \left( \frac{13103 \cdot 9}{10} \right) - \frac{9}{10} \right) = 1,844 \text{ MeV cm}^2/\text{g}$$

Y en general para las "mip" de cualquier material: <sup>Fernando Hueso González</sup>  
<sup>Erica Alejandra Sáez</sup>

$$S \approx 0,308 \text{ MeV cm}^2 \cdot \rho \cdot \frac{Z}{A} \cdot \frac{10}{9} \left[ \ln \left( 9 \cdot \frac{1,022 \text{ MeV}}{I} \right) - \frac{9}{10} \right]$$

$$= 0,342 \text{ MeV cm}^2 \cdot \rho \cdot \frac{Z}{A} \left[ \ln \left( \frac{9,158 \text{ MeV}}{I} \right) - 0,9 \right]$$

2.18.

$$\bar{\mu} (\text{Na}) = 0,00546 \text{ m}^2/\text{kg} ; \bar{\mu} (\text{I}) = 0,00502 \text{ m}^2/\text{kg}$$

$\bar{\mu} (\text{NaI})$ ?  $\rightarrow$  aplicamos leyes de escala:

$$\bar{\mu} = \frac{\sum w_i \mu_i}{L} \quad \text{La proporción másica}$$

$$\text{lo } \bar{\mu} (\text{NaI}) = \frac{23 \times 0,00546 \text{ m}^2/\text{kg} + 127 \times 0,00502 \text{ m}^2/\text{kg}}{150} = 0,00509 \text{ m}^2/\text{kg}$$

Hemos supuesto núcleos sin isótopos (isotópicamente puros).

un cálculo más exacto podría realizarse con masas atómicas restan-  
do las masas de los electrones. (masas nucleares).  $L$  Krane

2.23

$$a = 25 \text{ mm} \quad \rightarrow V_0 = 1000 \text{ V}$$

$$b = 25 \text{ mm} \quad I = 23 \text{ eV}$$



$\hookrightarrow$  asimilamos a un conductor cilíndrico: campo en el interior: (según  $\hat{u}_r$  apunta al norte)

$$\vec{E} = \frac{V_0}{\ln \frac{b}{a}} \cdot \frac{1}{r} \hat{u}_r \dots \text{cilíndrico} \quad \begin{matrix} e^- \text{ --- } \rightarrow \\ r_1 & r_2 \end{matrix} \quad Q_+$$

Suponemos que el  $e^-$  va en un plano  $z = \text{cte}$  hacia el ánodo (centro):  $\vec{v} \propto -\hat{u}_r$ ,  $d\vec{r} \propto -\hat{u}_r dr$

Adquiere  $r_2$  la siguiente energía cinética ganado desde  $r_1$  a  $r_2$ : ( $r_1 > r_2$ )

$$\Delta E_{\text{cin}} = \int_{r_2}^{r_1} (-e) \cdot \vec{E} \cdot d\vec{r} = -\frac{eV_0}{\ln \frac{b}{a}} \int_{r_2}^{r_1} \frac{1}{r} \hat{u}_r (dr) \cdot (-\hat{u}_r) = \frac{eV_0}{\ln \frac{b}{a}} \cdot \ln \frac{r_1}{r_2}$$

Para evaluar el aumento en 1 mm  $\rightarrow r_1 = r_2 + 1 \text{ mm}$

y queremos que el  $e^-$  adquiera 23 eV en energía cinética (valor mínimo para poder ionizar el helio).

$$\frac{23 \text{ eV}}{eV_0} \cdot \ln \frac{b}{a} = \ln \left( 1 + \frac{1 \text{ mm}}{r_2} \right) \rightarrow \frac{1 \text{ mm}}{r_2} = \exp \left( \frac{23 \ln 1000}{1000} \right) - 1$$

lo  $r_2 = 5,82 \text{ mm}$ ;  $r_2 = 6,82 \text{ mm} \rightarrow$  Por tanto para valores  $r_2 \leq 6,82 \text{ mm}$  gana suficiente energía para ionizar el helio en 1 mm.

2.15

$S_{Si}$  sobre  $\alpha$  (5 MeV)  
 $\hookrightarrow z_{Si} = 14$   
 $e^-$  (5 MeV)

$$S_{col} = 2K\rho \frac{z^2}{A} \frac{1}{\beta^2} \left[ \ln \left( \frac{2m_e c^2 \beta^2 \gamma^2}{I} \right) - \beta^2 - \frac{\delta}{2} - \frac{c}{z} \right]$$

*despreciable*

$K = 0,1535 \text{ MeV cm}^2/\text{g}$  ;  $A(Si) = 28,0855$  ;  $\rho = 2,33 \text{ g/cm}^3$

$I \approx 52,8 + 8,71 z = 174,74 \text{ eV}$

$\hookrightarrow$  fórmula semiempírica  $m_e = 3727 \text{ MeV}$

$$\gamma = 1 + \frac{5 \text{ MeV}}{m_e c^2}$$

$\alpha \rightarrow 1,00134$   
 $\rightarrow 10,78473581 = 10,785$

$\gamma^2 = 1/(1-\beta^2) \rightarrow \beta^2 = 1 - \frac{1}{\gamma^2}$

- a)  $\alpha \rightarrow z=2 \rightarrow S_{col} = \dots = 1472 \text{ MeV/cm} //$
- b)  $e^- \rightarrow z=1 \rightarrow S_{col} = \dots = 3,957 \text{ MeV/cm} //$

2.16

a)  $\sigma_{ph} \propto \frac{z^n}{E^{3,5}} \rightarrow n = 4,5$  (depende)

$$\frac{\sigma_{Si}}{\sigma_{Ge}} = \left( \frac{z_{Si}}{z_{Ge}} \right)^n = \left( \frac{14}{32} \right)^n = \begin{matrix} \xrightarrow{n=4} 0,037 // \\ \xrightarrow{n=5} 0,016 // \end{matrix}$$

b) i)  $E = 1 \text{ MeV}$   
 $z_{Ar} = 13$

$\sigma_{ph}$	$\sigma_{co}$	$\sigma_{par}$
$\propto \frac{z^{4,5}}{E^{3,5}}$	$\frac{z}{E^2}$	$\frac{z^2}{E^3}$

$\hookrightarrow E_{min} = 1,022 \text{ MeV}$

$\hookrightarrow$  Domina Compton  $\propto \frac{1}{E^2}$ , pares No presente, algo fotoel. //

ii)  $E = 100 \text{ KeV}$   
 $z_H = 1$

$\hookrightarrow$  Compton y fotoel. compiten, pares No //

iii)  $E = 100 \text{ KeV}$   
 $z_{Fe} = 26$

$\hookrightarrow$  Fotoel. y Comp compiten, pares no //

iv)  $E = 10 \text{ MeV}$   
 $z_C = 6$

$\hookrightarrow$  Compton ( $\propto \frac{1}{E^2}$ , z bajo), algo de pares y foto. //

v)  $E = 10 \text{ MeV}$

$z_{Pb} = 82 \rightarrow$  domina pares //

2.17  $E < 1 \text{ MeV} \rightarrow$  no hay producción de pares

$$I = I_0 \cdot e^{-\mu x}, \quad x \in (0, t)$$

$$\mu = \frac{N_A}{A} \cdot \sigma_{\text{total}} \cdot \rho$$

densidad de blancos

$$\sigma_{\text{tot}} = \sigma_{\text{ph}} + \sigma_{\text{io}}$$

2.18

$\hookrightarrow \mu$  efectivo  $\rightarrow$  ley de escala

$$\left. \begin{array}{l} \rho(\text{Na}) = 22,9898 \text{ u} \\ \rho(\text{I}) = 126,9044 \text{ u} \end{array} \right\} \rho_T(\text{NaI}) = 149,8942 \text{ u}$$

$$\mu_{\text{ef}} = \mu(\text{Na}) \frac{\rho_{\text{Na}}}{\rho_T} + \mu(\text{I}) \frac{\rho_{\text{I}}}{\rho_T} = 0,00509 \text{ m}^2/\text{kg}$$

$0,00546 \text{ m}^2/\text{kg} \qquad 0,00502 \text{ m}^2/\text{kg}$

Los valores sólo válidos para esta energía (1,25 MeV)

$$\mu(E)$$

2.19

$$E = 1,5 \text{ MeV}$$

$$t = 25 \text{ mm}$$

$$\frac{\mu}{\rho} = 0,0047 \text{ m}^2/\text{kg}$$

$$\rho(\text{NaI}) = 3,67 \text{ g/cm}^3$$

$$\rightarrow \frac{I(x=t)}{I_0(x=0)} = e^{-\frac{\mu}{\rho} \cdot \rho \cdot t} = 0,65$$

El 65% permanecen en el haz.

$\hookrightarrow$  Interaccionan el 35%.

$\mu \propto \sigma \rightarrow$  Método para medir secciones eficaces

2.20

$$E = 140 \text{ keV}$$

$$\mu_m = \frac{\mu}{\rho} \Rightarrow \mu_m(\text{H}) = 0,26 \text{ cm}^2/\text{g}$$

$$\mu_m(\text{O}) = 0,14 \text{ cm}^2/\text{g}$$

$\rightarrow$  Recorrido libre medio:  $\lambda = \frac{1}{\mu}$

Agua:  $\text{H}_2\text{O}$  ... ley de escala

$$\hookrightarrow \bar{\mu}_m = \frac{2}{18} \cdot \mu_m(\text{H}) + \frac{16}{18} \mu_m(\text{O}) = 0,153 \text{ cm}^2/\text{g}$$

$$\rho_{\text{H}_2\text{O}} = 1 \text{ g/cm}^3$$

$$\lambda = \frac{1}{\bar{\mu}_m \rho} = 6,52 \text{ cm}$$

2.21

$$\begin{aligned} Z_0 &= 150 \text{ ns} \\ C &= 150 \text{ pF} \\ R &= 10 \text{ k}\Omega \end{aligned} \quad \left. \vphantom{\begin{aligned} Z_0 \\ C \\ R \end{aligned}} \right\} RC = 1500 \text{ ns} > Z_0$$

Lo Da tiempo a recolectar toda la carga de la partícula útil para medir ~~la~~ energía incidente. <sup>modo  $\nu$  Hois</sup>  
 Si fuese  $RC < Z_0$  sería útil para contar partículas.

2.22

$$E_{int} = 12\% ; d = 20 \text{ cm} ; a = 5 \text{ cm} = \frac{10 \text{ cm}}{2} \text{ (radio)}$$

$$A_T = 80\% \cdot 20 \text{ KBq} = 16 \text{ KBq}$$

$$N_{\text{emitidos}}(\Delta t = 200 \text{ s}) = 16 \text{ KBq} \cdot 200 \text{ s} = 1600000$$

$$\begin{aligned} N_{\text{detectados}}(\Delta t = 200 \text{ s}) &= E_{int} \cdot \underbrace{\frac{1}{2}}_{1,5\%} \left( 1 - \frac{d}{\sqrt{d^2 + a^2}} \right) \cdot N_{\text{emitidos}} \\ &= 2866 \end{aligned}$$

2.23 → Ver hoja aparte

2.24

GM, mica

$^{14}\text{C}$

$$\frac{I}{I_0} = 0,9 = e^{-\mu t} \rightarrow t = -\frac{\ln 0,9}{\mu}$$

$\mu_{\text{mica}}?$

↳ Fórmula semiempírica

$$\frac{\mu}{\rho} \text{ (m}^2/\text{kg)} = 1,7 \cdot E_{\text{max}}^{-1,14}$$

↳ Energía máxima de los electrones

$$T_{\beta\text{-max}} = Q = M(^{14}_6\text{C}) - M(^{14}_7\text{N}) = \Delta(^{14}_6\text{C}) - \Delta(^{14}_7\text{N})$$

$$\begin{aligned} &\text{Ferrer} \\ &= 3,019 - 2,863 \text{ MeV} = 0,156 \text{ MeV} \end{aligned}$$

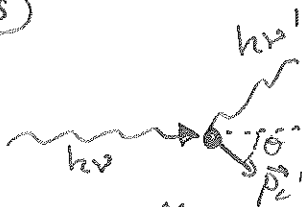
$$E_{\text{max}} = E_{0e} + T_{\beta\text{-max}} = 0,511 + 0,156 = 0,667 \text{ MeV}$$

$$\text{Lo } \mu/\rho = 2,7 \text{ m}^2/\text{kg}$$

$$\text{Lo } \mu t = 0,04 \text{ m}^2/\text{kg}$$

2.25

a)



$|p_{e'}| = 1,5 \text{ MeV} \quad (c=1)$

$$(h\nu, \vec{p}) = (h\nu' + \sqrt{m^2 + p_e'^2}, \vec{p}_e' + \vec{p}_{e'})$$

teoría

$$E_e - E_e' = T_e = \sqrt{p_e'^2 + m^2} - m = 1,074 \text{ MeV}$$

$$P_e = (h\nu, \vec{p}_e); \quad P_e = (m, \vec{0}); \quad P_{e'} = (E_e', \vec{p}_{e'}); \quad P_e = (E_e, \vec{p}_e)$$

$$\vec{p}_e + \vec{p}_e = \vec{p}_{e'} + \vec{p}_e \rightarrow \vec{p}_{e'} = \vec{p}_e + \vec{p}_e - \vec{p}_{e'}$$

$$p_e'^2 = p_e^2 + 2p_e p_e + p_e'^2 + p_e'^2 = 2p_e' p_e - 2p_e p_e' \quad \rightarrow \text{métrica de Minkowski}$$

$$0 = 2m^2 + 2(E_e, \vec{p}_e)(m, \vec{0}) - 2(E_e', \vec{p}_{e'})(E_e, \vec{p}_e) - 2(E_e', \vec{p}_{e'})(m, \vec{0})$$

$$0 = 2m^2 + 2E_e m - (2E_e E_e' - 2|\vec{p}_{e'}| |\vec{p}_e| \cos \theta) - 2E_e' m$$

$$0 = E_e (m - (E_e' - |\vec{p}_{e'}| \cos \theta)) + m (m - E_e')$$

$$\rightarrow E_e = \frac{m (E_e' - m)}{|\vec{p}_{e'}| \cos \theta - (E_e' - m)} \rightarrow E_e' = \sqrt{p_e'^2 + m^2} = 1,585 \text{ MeV}$$

$$\theta = 40^\circ \quad E_e = 1,359 \text{ MeV}$$

$$E_e' = E_e - T_e = 0,286 \text{ MeV}$$

b)

$n = 1,33$

$$p_{\text{min}} = \frac{1}{n} = 0,75 \rightarrow E_e' = \gamma m c^2 = \sqrt{\frac{1}{1-\beta^2}} m c^2 = 0,78 \text{ MeV}$$

$$|p_{e'}| = \sqrt{E_e'^2 - m^2} = 0,58 \text{ MeV}$$

$\theta_c = \arccos 1 = 0^\circ$

$$E_{e'} = \frac{m (E_e' - m)}{p_{e'} - (E_e' - m)} = 0,423 \text{ MeV}$$

2.26

$E_s \propto E \propto N_{\text{detecciones}} \rightarrow \delta(N_{\text{dete}}) = \sqrt{N_{\text{dete}}}$  (estadística de Poisson)

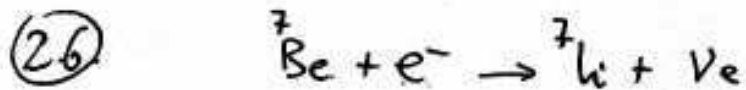
$E = KN \dots$  con error

$$\rightarrow \frac{\delta(E)}{E} = \frac{KN}{KN} = \frac{1}{\sqrt{N}} = \frac{\sqrt{K}}{\sqrt{E}}$$

propagación de errores

$$\rightarrow E_s = A \cdot E \rightarrow \frac{\delta(E_s)}{E_s} = \frac{A \cdot \delta(E)}{A \cdot E} = \frac{\sqrt{K}}{\sqrt{E}} = \frac{A}{\sqrt{E}}$$

→ Ver hoja aparte para más explicaciones



$$Q_{\nu e} = M({}^7\text{Be}) - M({}^7\text{Li})$$

Según el frame:  $M({}^7\text{Be}) = 7.016928 \text{ u} = 6536.268137 \text{ MeV}$   
 $M({}^7\text{Li}) = 7.016003 \text{ u} = 6535.406795 \text{ MeV}$

$$Q_{\nu e} = 0.861375 \text{ MeV}$$

$$Q_{\nu e} = T_{{}^7\text{Li}} + E_{\nu e}$$

$${}^7\text{Li} \rightarrow \text{poco relativista: } T_{{}^7\text{Li}} = \frac{P_{{}^7\text{Li}}^2}{2M_{{}^7\text{Li}}}$$

$$\nu_e \rightarrow \text{muy relativista: } E_{\nu e} = P_{\nu e}$$

$$P_{{}^7\text{Li}} = P_{\nu e} \quad ; \quad Q_{\nu e} = \frac{P_{\nu e}^2}{2M_{{}^7\text{Li}}} + P_{\nu e}$$

$$\Rightarrow Q_{\nu e} = \frac{E_{\nu e}^2}{2M_{{}^7\text{Li}}} + E_{\nu e}$$

$$\rightarrow E_{\nu e} = \sqrt{M_{{}^7\text{Li}}^2 + 2QM_{{}^7\text{Li}}} - M_{{}^7\text{Li}} =$$

$$0.861581 \text{ MeV}$$

Por lo tanto,  $E_{\alpha} = Q - E_{\nu} = 5'68 \cdot 10^{-5} \text{ Mev}, \ll Q.$

Casi toda la energía se la queda el neutrino.  
~~Por lo tanto~~

(2.8) El  $^{139}_{52}\text{La}$  está a  $165'86 \text{ keV}$ , por lo que, al decaer al estado fundamental por conversión interna tendremos que  
 $Q_{ic} = 165'86 \text{ keV}.$

a) Estos electrones provienen de la conversión interna que ocurre en la desexcitación del  $^{139}_{52}\text{La}$

b)  $Q_{ic} = T_i + B_i \Rightarrow B_i = Q_{ic} - T_i$

$T_K = 126'93 \text{ keV}$

→

$B_K = 38'93 \text{ keV}$

$T_L = 159'59 \text{ keV}$

→

$B_L = 6'27 \text{ keV}$

$T_{MNS} = 169'49 \text{ keV}$

→

$B_{MNS} = 1'37 \text{ keV}$

c) Son los niveles del  $\text{La}$ , que es donde se ha producido la C-I (Sin excitar)



2.17

$$\text{Sabemos que } \frac{\phi(x)}{\phi_0} = e^{-\frac{N_A}{A} \sigma_{\text{tot}} x}$$

donde  $\sigma_{\text{tot}}$  es la suma de las secciones eficaces de los fotones para el efecto fotoeléctrico ( $\sigma_{\text{pe}}$ ), el efecto Compton ( $\sigma_{\text{c}}$ ) y la producción de pares ( $\sigma_{\text{pp}}$ ).

Como  $Z_{\text{II}} = 11$  y  $Z_{\text{I}} = 53$ , y hay el mismo número de átomos de II y I, tomamos una  $Z$  efectiva = 32.

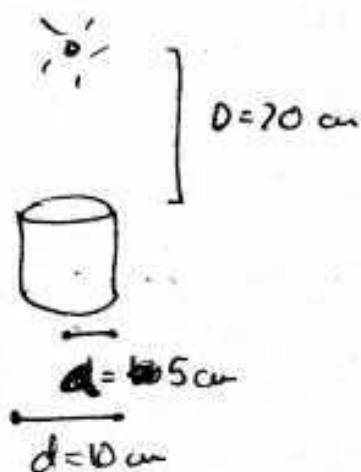
Para esta  $Z$  y  $E < 1$  MeV, podemos olvidarnos de la producción de pares, pues  $\sigma_{\text{pp}} \propto Z^2 E_0^3$ , que es despreciable frente a  $\sigma_{\text{c}} \propto Z E_0^{-2}$  y  $\sigma_{\text{pe}} \propto Z^5 E_0^{-\frac{3}{2}}$ .

Debido a esto, para  $E < 1$  MeV podremos tener efecto Compton (si  $E \sim 1$  MeV) y efecto fotoeléctrico (si  $E \ll 1$  MeV).

$$\text{Así, } \sigma_{\text{tot}} = \text{const} \cdot (Z^5 E_0^{-\frac{3}{2}} + Z E_0^{-2})$$

$$\frac{\phi(x)}{\phi_0} = e^{-\frac{N_A}{A} \text{const} \cdot 32 (E_0^{-2} + 32^4 E_0^{-\frac{3}{2}})}$$

(2.22)



$$A = 20 \text{ kBq} \rightarrow 20\,000 \frac{\text{desintegraciones}}{\text{s}}$$

→ Como son un 80% fotones:

$$A_{\text{en}} A_r = 16\,000 \text{ Bq.}$$

Si  $N$  son los fotones que llegan al detector,

$$N = A_r \frac{\Omega}{4\pi} = A_r \frac{1}{2} \left( 1 - \frac{b}{\sqrt{D^2 + a^2}} \right) = 239 \frac{\text{fotones}}{\text{s}}$$

Como tiene una eficiencia del 12%, se detectarán  $0.12 \cdot 239 = 28.66 \frac{\text{fotones}}{\text{s}}$ .

Si contamos durante 200 s, tendremos 2.866 fotones

(2.2A) Tenemos que  $\frac{N(x)}{N_0} = e^{-\mu_{\text{mica}} \cdot d}$  (d = espesor).  
( $\mu$ : coef. absorción de la mica)

$$\rightarrow \ln 0.9 = -\mu_{\text{mica}} \cdot d \rightarrow \boxed{d = \ln\left(\frac{10}{9}\right) \cdot \frac{1}{\mu_{\text{mica}}}}$$

(2.25)

b) Para ver radiación Cerenkov,  $\beta > \frac{1}{n}$

$$\Rightarrow \beta > \frac{1}{1.33}$$

Tomamos que  $\beta = \frac{v}{c} = \frac{M}{\sqrt{1-\beta^2}}$ , así que

$$E_e = m_e \sqrt{1 + \frac{1}{1-\beta^2}}$$

Para ver la radiación,  $E_e > m_e \sqrt{1 + \frac{1}{1-\frac{1}{1.33^2}}}$

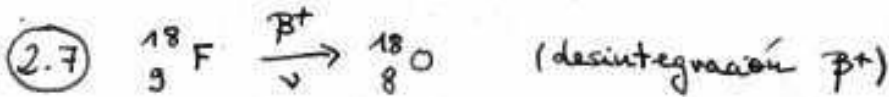
$$\Rightarrow E_e > m_e \cdot 2.1817 =$$

$$0.511 \text{ MeV} \cdot 1.817 = 0.928 \text{ MeV.}$$

Si la energía del  $e^-$  es mayor que 0.928 MeV, veremos radiación Cerenkov.

Como  $E_r = \frac{m_e (E_e - m_e)}{P_e \cos \theta - (E_e - m_e)}$ , la máxima será por  $\cos \theta = 1 \rightarrow$

$$E_r > \frac{m_e (E_e' - m_e)}{p_e \leftarrow (E_e' - m_e)} = \underline{\underline{0.428 \text{ MeV}}}$$



a) Calor de reacción:  $Q_{\beta^+} = M({}^18_9\text{F}) - M({}^18_8\text{O}) - 2m_e$   
masa nuclear  $m_\nu \ll M_n$       masa atómica  
valores del Krone  
 $= (18,000937 - 17,999160) \times 931,494028 \text{ MeV} - 2 \times 0,511 \text{ MeV}$   
 $= 1,6552648 \text{ MeV} - 1,022 \text{ MeV} = 0,633265 \text{ MeV}$

$Q_{\beta^+} > 0 \rightarrow$  es posible que se de esta reacción espontáneamente.  
(competirá con CE)

b)  $Q_{\beta^+} = T_{\beta^+} + T_\nu + T_{\text{no}}$   
retroceso nuclear del O despreciable

$T_{\beta^+} = Q_{\beta^+} - T_\nu \rightarrow T_{\beta^+}|_{\text{max}} = Q_{\beta^+} \text{ (cuando } T_\nu = 0)$   
 $= 0,633265 \text{ MeV} = 633,3 \text{ keV}$

c)  $Q_{\text{CE}} = Q_{\beta^+} + 2m_e = M({}^18_9\text{F}) - M({}^18_8\text{O}) = 1,655265 \text{ MeV} (> 2m_e)$   
(compite con  $\beta^+$ )

También podría haber (en este caso no se da) fotones de otra energía si la desintegración  $\beta^+$  fuera a un estado excitado de  ${}^18_8\text{O}$ .  
 En CE se pueden producir también fotones (rayos X).

~~Que un 93% de las desintegraciones no van al oxígeno en estado fundamental sino que pasan por un estado excitado  ${}^18_8\text{O}^*$  (511 keV por encima del fundamental) al desexcitarse al fundamental libera un fotón  $\gamma$  de 511 keV. El restante va directamente al fundamental sin emitir  $\gamma$  en ningún paso intermedio.~~

d) Las  $\gamma$ 's de 511 keV son fotones de aniquilación, es decir, se han producido al aniquilarse un positrón  $\beta^+$  de la desintegración con un electrón.  $m_e + m_{\beta^+} = E_{\gamma 1} + E_{\gamma 2} \rightarrow E_{\gamma 1} = E_{\gamma 2} = 2m_e c^2 = 2E_{\beta^+} = 511 \text{ keV} \times 2$

Por tanto, se producen  $\frac{193}{100}$  fotones por cada desintegración (93%), lo cual es posible pues de cada desintegración  $\beta^+$  sale un positrón, y de cada positrón, al encontrarse con un electrón, salen dos fotones. Es decir, el 96,6% de las desintegraciones serán tipo  $\beta^+$  dando lugar a 2  $\gamma$ 's de aniquilación. El 3,4% restante será conversión electrónica. extraído de nukleide.org

2.14

Fórmula de Bethe-Block, según nuestros apuntes de teoría:

$$-\frac{dT}{dx} = S \approx \frac{\rho K \cdot Z}{A \beta^2} \left[ \ln \left( \frac{2m_e c^2 \beta^2 \gamma^2}{I} \right) - \beta^2 \right] ; \quad \gamma^2 = \frac{1}{1-\beta^2} ; \quad \alpha = \frac{2m_e c^2}{I}$$

;  $K = 0,308 \frac{\text{MeV cm}^2}{\text{g}}$  ↳ parámetro adimensional

$$= K \rho \frac{Z}{A} \left[ \frac{1}{\beta^2} \ln \left( \alpha \frac{\beta^2}{1-\beta^2} \right) - 1 \right] \rightarrow \text{Cambio de variable}$$

$t = \beta^2$

$$= -K \rho \frac{Z}{A} \left[ \frac{1}{t} \ln \frac{\alpha t}{1-t} - 1 \right] \rightarrow \text{Buscamos el valor mínimo en función de } t$$

↳  $\frac{dS}{dt} = 0$

$$\frac{dS}{dt} = -K \rho \frac{Z}{A} \left[ -\frac{1}{t^2} \ln \frac{\alpha t}{1-t} + \frac{1}{t} \cdot \frac{(1-t)}{t} \cdot \left( \frac{1}{1-t} + \frac{t}{(1-t)^2} \right) \right]$$

$$= -\frac{K \rho Z}{A} \cdot \frac{1}{t^2} \left[ -\ln \frac{\alpha t}{1-t} + 1 + \frac{t}{1-t} \right] = -\frac{K \rho Z}{A} \cdot \frac{1}{t^2} \left[ \frac{1}{1-t} - \ln \frac{\alpha t}{1-t} \right] = 0$$

↳  $\frac{1}{1-t} - \ln \frac{\alpha t}{1-t} = 0 \rightarrow$  Tenemos que comprobar por ordenador que la solución  $t$  (raíz de la ecuación) es aproximadamente constante para distintos valores de  $\alpha$ .

$$= \frac{1}{1-t} - \ln \alpha + \ln \left( \frac{1-t}{t} \right) = 0 = \frac{1}{1-t} - \ln \frac{t}{1-t} - \ln \alpha$$

$$\alpha_{Pb} = \frac{2m_e c^2}{I_c} = \frac{1,022 \text{ MeV}}{78 \cdot 10^{-6} \text{ MeV}} = 13103$$

$$\alpha_c = \frac{1,022}{823 \cdot 10^{-6}} = 1242$$

Mediante representación gráfica o por Newton-Raphson obtenemos las siguientes raíces:

$$(t_0)_{Pb} = 0,89169$$

$$(t_0)_c = 0,91573$$

Por tanto:  $\beta^2 \gamma^2 = \frac{t}{1-t} \rightarrow \beta \gamma = \sqrt{\frac{t}{1-t}}$

$$(\beta \gamma)_{Pb} = 2,9$$

$$(\beta \gamma)_c = 3,3$$

Aproximamos  $\rightarrow \beta \gamma \approx 3$  (cte  $\forall \alpha$ )

Sustituyendo ahora  $\beta \gamma \approx 3$  en la fórmula de Bethe-Block, obtenemos:

$$\left( \frac{S}{\rho} \right)_{Pb} = \frac{0,308 \text{ MeV cm}^2/\text{g}}{1} \cdot \frac{10}{9} \cdot \frac{82}{207} \cdot \left( \ln \left( \frac{1242 \cdot 9}{10} \right) - \frac{9}{10} \right) = 1,112 \text{ MeV cm}^2/\text{g}$$

$$\left( \frac{S}{\rho} \right)_c = 0,308 \cdot \frac{10}{9} \cdot \frac{6}{12} \cdot \left( \ln \left( \frac{13103 \cdot 9}{10} \right) - \frac{9}{10} \right) = 1,844 \text{ MeV cm}^2/\text{g}$$

Y en general para las "mip" de cualquier material: Fernando Hueso González  
Erica Alejandra Sáez

$$S \approx 0,308 \text{ MeV cm}^2 \cdot \rho \cdot \frac{Z}{A} \cdot \frac{10}{9} \left[ \ln \left( 9 \cdot \frac{1,022 \text{ MeV}}{I} \right) - \frac{9}{10} \right]$$

$$= 0,342 \text{ MeV cm}^2 \cdot \rho \cdot \frac{Z}{A} \left[ \ln \left( \frac{9,138 \text{ MeV}}{I} \right) - 0,9 \right]$$

2.18.

$$\bar{\mu}(\text{Na}) = 0,00546 \text{ m}^2/\text{kg} ; \bar{\mu}(\text{I}) = 0,00502 \text{ m}^2/\text{kg}$$

$\bar{\mu}(\text{NaI})$ ?  $\rightarrow$  Aplicamos leyes de escala:

$$\bar{\mu} = \sum_i w_i \bar{\mu}_i$$

↳ la proporción másica

$$\bar{\mu}(\text{NaI}) = \frac{23 \times 0,00546 \text{ m}^2/\text{kg} + 127 \times 0,00502 \text{ m}^2/\text{kg}}{150} = 0,00509 \text{ m}^2/\text{kg}$$

Hemos supuesto núcleos sin isótopos (isotópicamente puros).

Un cálculo más exacto podría realizarse con masas atómicas restan-  
do las masas de los electrones. (masas nucleares). ↳ Krane

2.23

$$a = 25 \text{ mm} \rightarrow V_0 = 1000 \text{ V}$$

$$b = 25 \text{ mm} \quad I = 23 \text{ eV}$$

↳ Asimilamos a un conductor cilíndrico: campo en el interior: (según  
apuntes  
de teoría)

$$\vec{E} = \frac{V_0}{\ln \frac{b}{a}} \cdot \frac{1}{r} \hat{u}_r \dots \text{cilíndricas} \quad e^- \xrightarrow{r_1} \xrightarrow{r_2} \text{Ca}$$

Suponemos que el  $e^-$  va en un plano  $z = \text{cte}$  hacia el  
ánodo (centro):  $\vec{v} \propto -\hat{u}_r$ ,  $d\vec{r} \propto -\hat{u}_r$

Adquiera la siguiente energía cinética yendo desde  $r_1$  a  $r_2$ : ( $r_1 > r_2$ )

$$\Delta E_{\text{cin}} = \int_{r_2}^{r_1} (-e) \cdot \vec{E} \cdot d\vec{r} = -\frac{eV_0}{\ln \frac{b}{a}} \int_{r_2}^{r_1} \frac{1}{r} \hat{u}_r (dr) \cdot (-\hat{u}_r) = \frac{eV_0}{\ln \frac{b}{a}} \cdot \ln \frac{r_1}{r_2}$$

Para evaluar el aumento en 1 mm  $\rightarrow r_1 = r_2 + 1 \text{ mm}$

y queremos que el  $e^-$  adquiera 23 eV en energía cinética (valor  
mínimo para poder ionizar el helio).

$$\frac{23 \text{ eV}}{2V_0} \cdot \ln \frac{b}{a} = \ln \left( 1 + \frac{1 \text{ mm}}{r_2} \right) \rightarrow \frac{1 \text{ mm}}{r_2} = \exp \left( \frac{23}{1000} \ln 1000 \right) - 1$$

↳  $r_2 = 5,81 \text{ mm}$ ;  $r_1 = 6,81 \text{ mm} \rightarrow$  Por tanto para valores  $r_2 \leq 5,81 \text{ mm}$   
gana suficiente energía para ionizar el helio en 1 mm.

2.26

Resolución:  $\frac{\Delta E_s}{E_s} = \frac{A}{\sqrt{E}} \propto \frac{1}{\sqrt{E}}$  → detector: calorímetro electromagnético

La energía de muestra  $E_s$ , según los apuntes de teoría, proporcional al número de pares de portadores de carga en un detector, así como a la energía necesaria para crear un par electrónico <sup>o genérico</sup> ( $w$ ). (modo pulso)  
 $E_s \propto N \pm W$

En el caso del calorímetro, se produce una cascada de partículas y  $E_s$  es proporcional a los  $N$  procesos de la misma hasta ser absorbida totalmente la generadora original (primaria). Como  $N$  se presume proporcional a la energía de la partícula incidente,  $E_s \propto N$  ( $N$ : segmentos de traza) →  $E_s \propto N$  →  $E_s = \alpha N$   
 Además el error estadístico del conteo  $N$  es  $\sqrt{N}$ .  $N = \beta \cdot E \dots$  etc.

↳  $\delta(E_s) = \alpha \cdot \delta(N) = \alpha \cdot N \cdot \frac{\delta(N)}{N} = E_s \cdot \delta_{rel}(N) = E_s \cdot \frac{\sqrt{N}}{N} = \frac{E_s}{\sqrt{N}}$

↳  $\frac{\delta(E_s)}{E_s} = \frac{1}{\sqrt{N}} = \delta_{rel}(E_s) \leftarrow \text{como } N = \beta \cdot E \rightarrow \text{comparado con enunciado } A = \frac{1}{\sqrt{\beta}}$   
 $= \frac{1}{\sqrt{\beta \cdot E}} = \frac{A}{\sqrt{E}}$



3.1

a)  $F(\vec{q}) = \int_{\mathbb{R}^3} \rho(\vec{r}) \cdot e^{i\vec{q} \cdot \vec{r}} \cdot d^3r \rightarrow$  factor de forma nuclear es la transformada de Fourier de la distribución de carga.

Si  $\rho$  tiene simetría esférica  $\rightarrow \rho(r) \rightarrow$  coordenada radial esféricas

b)  $F(\vec{q}) = \int_{\mathbb{R}^3} \rho(r) \cdot e^{i\vec{q} \cdot \vec{r}} \cdot r^2 \sin\theta \, dr \, d\theta \, d\varphi$   
sin pérdida de generalidad

Definimos el sistema de coordenadas esféricas localmente, a partir del valor fijo  $\vec{q}$ , de manera que el eje  $z$  sea paralelo a  $\vec{q}$ . En ese caso,  $\vec{r} \cdot \vec{q} = r \cdot q \cdot \cos\theta$  ángulo entre vectores = ángulo polar

$$F(q) = \int_0^\infty \rho(r) \cdot r^2 dr \int_0^\pi e^{iqr \cos\theta} \sin\theta \cdot d\theta \int_0^{2\pi} d\varphi = 2\pi \int_0^\infty \rho(r) r^2 dr \left[ \frac{-1}{iqr} e^{iqr \cos\theta} \right]_0^\pi$$

$$= \frac{2\pi}{q} \int_0^\infty \rho(r) r \, dr \left[ \frac{-2}{2i} (e^{iqr(-1)} - e^{iqr(1)}) \right] = \frac{4\pi}{q} \int_0^\infty \rho(r) \cdot r \, dr \sin(qr)$$

Esta relación también se puede demostrar con las propiedades de la transformada de Fourier de momentos radiales (transformación de Hankel, usando funciones de Bessel)

b) Partiendo del resultado anterior, desarrollamos  $\sin(qr)$  cuando  $qr \ll 1$

$\sin(qr) \approx qr - \frac{1}{3!} (qr)^3$

$$F(q) = \frac{4\pi}{q} \int_0^\infty \rho(r) \cdot r \, dr \cdot qr \left( 1 - \frac{1}{6} (qr)^2 \right) = \int_0^\infty \rho(r) \frac{4\pi r^2 \, dr}{5} - \frac{1}{6} q^2 \int_0^\infty r^2 \rho(r) 4\pi r^2 \, dr$$

Se normaliza  $F(0) = 1 = \int_0^\infty \rho(r) \cdot 4\pi r^2 \, dr$  ≡ (potón)  $\int_0^\infty r^2 \rho(r) 4\pi r^2 \, dr$   
 $\langle r^2 \rangle$

Por tanto:

$$F(q) = 1 - \frac{1}{6} q^2 \langle r^2 \rangle$$

donde  $\langle r^2 \rangle = \frac{\langle \Psi | r^2 | \Psi \rangle}{\langle \Psi | \Psi \rangle} = \frac{\int_0^\infty \int_0^\pi \int_0^{2\pi} r^2 \Psi^* \cdot \Psi \cdot r^2 \sin\theta \, d\theta \, d\varphi \, dr}{\int_0^\infty \int_0^\pi \int_0^{2\pi} \Psi^* \cdot \Psi \cdot r^2 \sin\theta \, d\theta \, d\varphi \, dr} = \frac{\int_0^\infty r^2 \rho(r) \cdot 4\pi r^2 \, dr}{\int_0^\infty \rho(r) \cdot 4\pi r^2 \, dr} = 1$

donde  $|\Psi|^2 = \rho(r)$

a) Partimos de  $F(q) = \frac{4\pi}{q} \int_0^{\infty} \sin(qr) \cdot r \cdot \rho(r) \cdot dr$

$\rho = \rho_0 e^{-Mr}$  ;  $M \equiv Mv$

b)  $F(q) = \frac{4\pi\rho_0}{q} \int_0^{\infty} e^{-Mr} \sin(qr) \cdot r \cdot dr$   $\Rightarrow$  Integramos por partes:  
 $dv = e^{-Mr} dr$  ;  $u = r \sin(qr)$

$= \frac{4\pi\rho_0}{q} \left[ -\frac{1}{M} e^{-Mr} r \sin(qr) \Big|_0^{\infty} + \frac{1}{M} \int_0^{\infty} e^{-Mr} dr (\sin(qr) + qr \cos(qr)) \right] = \frac{4\pi\rho_0}{qM} (A + Bq)$

$A = \int_0^{\infty} e^{-Mr} \sin(qr) dr = -\frac{1}{M} \sin(qr) e^{-Mr} \Big|_0^{\infty} + \frac{1}{M} \int_0^{\infty} e^{-Mr} q \cos(qr) dr$   
 se anula en ambos extremos  
 por partes  $= \frac{q}{M} \left( -\frac{1}{M} \cos(qr) \Big|_0^{\infty} + \frac{1}{M} \int_0^{\infty} e^{-Mr} q \sin(qr) dr \right)$

$= \frac{q}{M} \left( +\frac{1}{M} - \frac{q}{M} A \right) \Rightarrow \frac{q}{M^2} = \frac{q^2}{M^2} A$

$\hookrightarrow A \left( 1 + \frac{q^2}{M^2} \right) = \frac{q}{M^2} \Rightarrow A = \frac{q/M^2}{1 + q^2/M^2}$

$B = \int_0^{\infty} e^{-Mr} r \cos(qr) dr = -\frac{1}{M} r \cos(qr) \Big|_0^{\infty} + \frac{1}{M} \int_0^{\infty} e^{-Mr} dr (\cos(qr) - qr \sin(qr))$   
 por partes

$= \frac{1}{M} \left( C - \frac{q^2 F}{4\pi\rho_0} \right)$

$C = \int_0^{\infty} e^{-Mr} \cos(qr) dr = -\frac{1}{M} e^{-Mr} \cos(qr) \Big|_0^{\infty} - \frac{1}{M} \int_0^{\infty} e^{-Mr} dr q \sin(qr) = \frac{1}{M} - \frac{q}{M} \cdot A$   
 por partes

$\Rightarrow F = \frac{4\pi\rho_0}{qM} \left( \frac{q/M^2}{1 + q^2/M^2} + \frac{q}{M} \left( \frac{1}{M} - \frac{q}{M} \frac{q/M^2}{1 + q^2/M^2} - \frac{q^2 F}{4\pi\rho_0} \right) \right)$

$= \frac{4\pi\rho_0}{qM} \left( \frac{q/M^2}{1 + q^2/M^2} + \frac{q}{M^2} - \frac{q^3}{M^4} \frac{1}{1 + q^2/M^2} - \frac{q^3 F}{M 4\pi\rho_0} \right)$

$F = \frac{4\pi\rho_0}{qM} \left( \frac{q/M^2 + q/M^2 + q^3/M^4}{1 + q^2/M^2} \right) - \frac{q^3 F}{M^2}$

$F \left( 1 + \frac{q^2}{M^2} \right) = \frac{8\pi\rho_0}{M^3} \frac{1}{1 + q^2/M^2} \Rightarrow F = \frac{8\pi\rho_0}{M^3} \left( 1 + \frac{q^2}{M^2} \right)^{-1}$

y normalizando  $F(0) = 1 = \frac{8\pi\rho_0}{M^3} \Rightarrow \rho_0 = \frac{M^3}{8\pi} \Rightarrow F(q) = \left( 1 + \frac{q^2}{M^2} \right)^{-2}$

Por último:  
 $\langle r^2 \rangle = \frac{\int r^2 \rho dV}{\int \rho dV} = \frac{\int_0^{\infty} \rho_0 \cdot e^{-Mr} \cdot r^2 \cdot 4\pi r^2 dr}{\int_0^{\infty} \rho_0 \cdot e^{-Mr} \cdot r^2 \cdot 4\pi r^2 dr} = \frac{M^3}{8\pi} \cdot 4\pi \int_0^{\infty} e^{-Mr} r^4 dr = \frac{M^3}{2M^3} \int_0^{\infty} e^{-x} x^4 dx$   
 $= \frac{1}{2} M^2 \cdot 4! = \frac{12}{M^2} = 12 \frac{\hbar^2 \cdot c^2}{M^2} = \left( \sqrt{12} \cdot \frac{6,58211893 \times 10^{-16} \text{ s} \cdot 299792458 \text{ m}}{0,84 \cdot 10^9 \text{ eV}} \right)^2 = 8,8137 (27 \text{ fm})^2 \approx (0,88 \text{ fm})^2$   
 unidades naturales, recuperar dimensiones

3.1! → Ven hoja aparte

3.2

Li<sup>+</sup>  $\xrightarrow{E}$  |  $\odot \vec{B}$

$\Delta V = 400 \text{ V}$   
 $B = 0,08 \text{ T}$   
 $r_1 = 8,83 \text{ cm}$   
 $r_2 = 9,54 \text{ cm}$

Acceleración inicial → no relativista,  $T \ll m c^2$

$$T = q \cdot \Delta V = 400 \text{ eV} = \frac{p^2}{2m} = \frac{1}{2} m v^2 \rightarrow v = \sqrt{\frac{2T}{m}}$$

Órbita circular

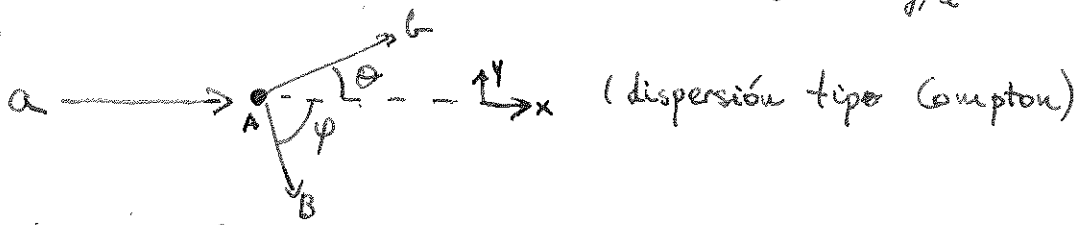
Centrif = Lorentz

$$m \frac{v^2}{r} = q \cdot v \cdot B \rightarrow \frac{m}{r} \cdot v = q \cdot B \rightarrow \frac{m^2 v^2}{r^2} = q^2 B^2$$

$$\hookrightarrow m^2 \frac{2T}{m} = r^2 q^2 B^2 \rightarrow m = \frac{1}{2} \frac{q^2 r^2 B^2}{q \cdot \Delta V} = \frac{1}{2} \frac{q B^2}{\Delta V} r^2$$

$\hookrightarrow m_1 = 9,99 \cdot 10^{-27} \text{ kg} // \rightarrow M_1 = \frac{m_1}{1,66 \cdot 10^{-27} \text{ kg/u}} = 6,02 \text{ u} \rightarrow A_1 = 6$   
 $\hookrightarrow m_2 = 11,66 \cdot 10^{-27} \text{ kg} // \rightarrow M_2 = \frac{m_2}{1,66 \cdot 10^{-27} \text{ kg/u}} = 7,02 \text{ u} \rightarrow A_2 = 7$   
 $\hookrightarrow \frac{6}{3} \text{ Li} //$   
 $\hookrightarrow \frac{7}{3} \text{ Li} //$

3.3



Partimos del caso no relativista:

$$\vec{p}_a = p_a \hat{x} ; \vec{p}_b = p_b (\cos \theta, \sin \theta)$$

$$\vec{p}_A = \vec{0} ; \vec{p}_B = p_B (\cos \phi, -\sin \phi)$$

Conservación de p

$$p_a = p_b \cos \theta + p_B \cos \phi \rightarrow p_B \cos \phi = p_a - p_b \cos \theta$$

$$p_b \sin \theta = p_B \sin \phi$$

$$(p_B \cos \phi)^2 + (p_B \sin \phi)^2 = p_B^2 = p_b^2 \sin^2 \theta + p_a^2 + p_b^2 \cos^2 \theta - 2 p_a p_b \cos \theta$$

$$= p_a^2 + p_b^2 - 2 p_a p_b \cos \theta ; p^2 = 2 m T$$

o bien más fácil:  $\vec{p}_a = \vec{p}_b + \vec{p}_B \rightarrow \vec{p}_B = \vec{p}_a - \vec{p}_b \rightarrow p_B^2 = p_a^2 + p_b^2 - 2 p_a p_b \cos \theta$

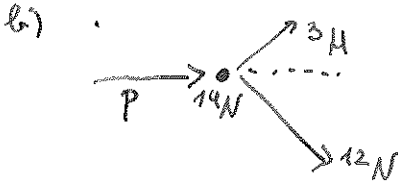
$$2 m_B T_B = 2 m_a T_a + 2 m_b T_b - 2 \sqrt{4 m_a m_b T_a T_b} \cos \theta$$

$$\hookrightarrow T_B = \frac{m_a}{m_B} T_a + \frac{m_b}{m_B} T_b - \frac{2}{m_B} \sqrt{m_a m_b T_a T_b} \cos \theta$$

$$Q = M_{in} - M_{fin} = T_B + T_B - T_a$$

↙ sustituir

$$= T_B \left(1 + \frac{m_b}{m_B}\right) + T_a \left(\frac{m_a}{m_B} - 1\right) - \frac{2}{m_B} \sqrt{T_a T_B m_a m_B} \cos \theta //$$



$$Q = -22,135 \text{ MeV} = M_{in} - M_{fin} = M_n(p) + M_n(^{14}\text{N}) - M_n(^3\text{H}) - M_n(^{12}\text{C})$$

$$= M(^1_1\text{H}) + M(^{14}_7\text{N}) - M(^3_1\text{H}) - M(^{12}_7\text{N})$$

$$= \Delta(^1_1\text{H}) + \Delta(^{14}_7\text{N}) - \Delta(^3_1\text{H}) - \Delta(^{12}_7\text{N})$$

$$\hookrightarrow M(^{12}_7\text{N}) = 7u + \Delta(^{14}_7\text{N}) = 7u + \Delta(^1_1\text{H}) + \Delta(^{14}_7\text{N}) - \Delta(^3_1\text{H}) - Q$$

$$= 7u + 2863 \text{ KeV} + 7288 \text{ KeV} - 14949 \text{ KeV} - (-22135) \text{ KeV} \rightarrow \text{Fuerza}$$

$$= 12u + 17337 \text{ KeV} = 12 \cdot 195,265 \text{ KeV} = 12,0186 u //$$

↙  $\times 931 \text{ MeV/u}$  coincide con el valor dado para  $\Delta(^{12}_7\text{N})$

3.4

$Z$	$S_n$	$S_p$	$S_n$ (MeV)	$S_p$ (MeV)	Notes
7	$^{17}_8\text{O}_9$		4,14	13,78	→ 1 neutrón desapareado $S_n$ baja → quiere eliminar para capa cerrada → $^{16}_8\text{O}_8$ (muy estable) $S_p$ alta → mágico en p
7	$^{17}_9\text{F}_8$		16,81	0,60	→ 1 protón desapareado → $S_p$ baja, quiere ir al $^{16}_8\text{O}_8$ , $S_p(\text{F}) < S_n(\text{O})$ porque en este caso está favorecido por la repul- sión de protones (Coulomb); si alta, má- gico en n
20	$^{42}_{21}\text{Ca}_{21}$		8,36	8,89	→ Neutrón desapareado → $S_n < S_p$
20	$^{42}_{24}\text{Sc}_{20}$		16,19	1,09	→ protón desapareado, quiere ir al $^{40}_{20}\text{Ca}$ $2 \times$ mágico

Neutrones desapareados →  $S_n^{(1)} < S_p^{(2)}$   
 Protones " →  $S_p^{(2)} < S_n^{(1)}$

Capas llenas: difícil avanzar  
 $S_p^{(2)} < S_n^{(1)}$  → Coulomb favorece  
 → sistemático

b)

$^{16}_8\text{O}_8$	$S_n$ (MeV)	$15,66 < 16,81$ ( $S_n(^{17}_9\text{F}_8)$ )	$12,13 < 13,78$ ( $S_p(^{17}_8\text{O}_9)$ )
---------------------	-------------	--	--

↳ Doble mágico, capas llenas,  $S_n$ ;  $S_p$  alto, cuesta avanzar

$^{17}_9\text{F}_8$ ;  $^{17}_8\text{O}_9$  mágico simple (N, P)

$S_n$  y  $S_p$  son menores para  $^{16}_8\text{O}_8$  respectivamente porque  
 en  $^{17}_8\text{O}_9$  y  $^{17}_9\text{F}_8$  avanzar uno u otro expone alejarse más  
 del valle de estabilidad  $|Z - N| = 2$ , mientras que si  
 avanza de  $^{16}_8\text{O}_8$  →  $|Z - N| = 1$

c)

	$N^{\circ}$ mágico	$S_n$ (MeV)	$S_p$ (MeV)
${}^{56}_{28}\text{Ni}_{28}$	28	15	8
${}^{57}_{28}\text{Ni}_{29}$	29	5	8,5
${}^{57}_{29}\text{Cu}_{28}$	28	16	2,5

→ Órdenes de magnitud, interpolando a ojo de tabla "Cuadro 1", siguiendo tendencias sistemáticas

Comparamos con valores exactos:

$$S_n (\text{MeV}) = [M_{\text{fin}} - M_{\text{in}}] = M\left(\frac{A-1}{Z} X_{N-1}\right) + m_n - M\left(\frac{A}{Z} X_N\right) = \Delta\left(\frac{A-1}{Z} X_{N-1}\right) + \delta(u)$$

$$S_p (\text{MeV}) = M\left(\frac{A-1}{Z-1} X_N\right) + M({}^1_1\text{H}) - M\left(\frac{A}{Z} X_N\right) - \Delta\left(\frac{A}{Z} X_N\right)$$

$$= \Delta\left(\frac{A-1}{Z-1} X_N\right) + \Delta({}^1_1\text{H}) - \Delta\left(\frac{A}{Z} X_N\right)$$

Se obtiene: los valores del Fermi

	$S_n$ (MeV)	$S_p$ (MeV)
${}^{56}_{28}\text{Ni}_{28}$	16,64	7,265
${}^{57}_{28}\text{Ni}_{29}$	10,249	7,331
${}^{57}_{29}\text{Cu}_{28}$	16,781	0,694

El único valor que se sale de la tendencia es  $S_n$  ( ${}^{57}_{28}\text{Ni}$ ), el resto <sup>EXCEPCIÓN</sup> coinciden en orden y comparativamente.

3.5

$$M(Z, N) = Z M({}^1_1\text{H}) + N m_n - E_B(Z, N) / c^2$$

$$E_B = \alpha_v A - \alpha_s A^{2/3} - \alpha_c Z(Z-1) A^{-1/3} - \alpha_d (A-2Z)^2 A^{-1} - \delta$$

↓  
Para A fijo → Z más estable se da cuando  $E_L$  se maximiza, es decir M se minimiza (mínimo de la parábola de masas).

$$M(Z, N) = M(Z, A) = Z M({}^1_1\text{H}) + \Delta m_n - Z m_n - E_B(Z, N)$$

$$= Z (m_p - m_n) + \alpha_c \frac{Z(Z-1)}{Z^2 - Z} A^{-1/3} + \alpha_d (A-2Z)^2 A^{-1} + \delta(A)$$

extremo

$$\frac{\partial M}{\partial Z} = 0 = (m_p - m_n) + \alpha_c (2Z_{\text{min}} - 1) A^{-1/3} + 2\alpha_d (A-2Z_{\text{min}}) \cdot (-2) A^{-1} + 0$$

$$= (m_p - m_n) + Z_{\text{min}} (2\alpha_c A^{-1/3} + 8A^{-1} \alpha_d) - \alpha_c A^{-1/3} - 4\alpha_d A$$

$$\hookrightarrow Z_{\text{min}} = \frac{(m_n - m_p) + \alpha_c A^{-1/3} + 4\alpha_d A}{2\alpha_c A^{-1/3} + 8\alpha_d A^{-1}} = \frac{m_n - m_p}{4\alpha_d} + \frac{\alpha_c}{4\alpha_d} + 1$$

Como  $m_n \approx m_p$ ,  $m_n - m_p = 0,783 \text{ MeV} \ll 4\alpha_d \sim 80 \text{ MeV}$   
 $\frac{\alpha_c}{4\alpha_d} = 0,008 \ll 1$ , simplificamos a:

$$Z_{\text{min}} = \frac{A}{2 + 0,015 \cdot A^{2/3}} \approx \frac{A}{2} \quad \text{para } A \text{ pequeño}$$



iii)  $T_\alpha = Q_\alpha / (1 + \frac{m_\alpha}{m_{\text{Th}}^{231}})$   $\rightarrow$  ver datos en teoría a partir de conservación del momento

$Q_\alpha = \Delta({}^{235}\text{U}) - \Delta({}^{231}\text{Th}) - \Delta({}^4\text{He}) = 40320 - 33817 - 2424 \text{ KeV}$   
 $= 4,679 \text{ MeV} // \rightarrow T_\alpha = Q_\alpha / (1 + \frac{4}{231}) = 4,599 \text{ MeV} //$



$> 0$   
 $\rightarrow$  se da espontáneamente en la naturaleza. //

$Q_p = \Delta({}^{235}\text{U}) - \Delta({}^{234}\text{Pa}) - \Delta({}^1\text{H}) = -6,709 \text{ MeV} //$

$\rightarrow$  sin sentido calcular  $T_p$ .



$S_p = 6,709 \text{ MeV} \left. \begin{array}{l} < 0 \\ \end{array} \right\}$  no se dan en la naturaleza espontáneamente.

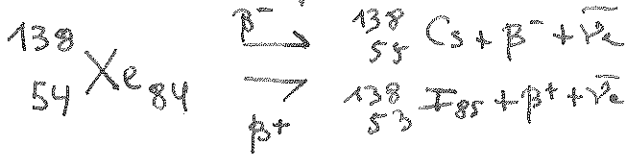
$Q_n = \Delta({}^{235}\text{U}) - \Delta({}^{234}\text{U}) - \Delta({}^1_0\text{n}) = -5,297 \text{ MeV} //$

$\rightarrow$  sin sentido calcular  $T_n$ .

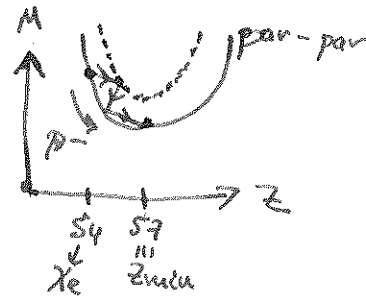
$S_n = 5,297 \text{ MeV}$

Por tanto,  ${}^{235}\text{U}$  sólo se desintegra espontáneamente vía alfa.

Se pueden obtener resultados similares utilizando la fórmula semim-  
 c) pítica en lugar de valores tabulados.



$Z_{\text{min}} = \frac{A}{2 + 0,015 \Delta^{2/3}} \approx 57 //$   
 $\downarrow$  fórm. semim-  
 pítica



Par - par  $\star$

Impar - impar

y llegar a  $Z_{\text{min}} = 57$  (más estable)

Para aumentar  $Z$ , debe desintegrarse vía  $\beta^-$  (conservación de carga) en tres ocasiones.

Otra manera de verlo es calcular el calor de reacción:

$Q_{\beta^-} = \Delta({}^{138}_{54}\text{Xe}) - \Delta({}^{138}_{55}\text{Cs}) = -80150 \text{ KeV} - (-82887) \text{ KeV}$   
 $= 2,737 \text{ MeV} // > 0 \rightarrow$  se da en la naturaleza

$Q_{\beta^+} = \Delta({}^{138}_{54}\text{Xe}) - \Delta({}^{138}_{53}\text{I}) - 2m_e = -80150 \text{ KeV} - (-72330) \text{ KeV} - 1022 \text{ KeV}$   
 $= -8,842 \text{ MeV} // < 0 \rightarrow$  no se da

3.6

Deuterón  $\rightarrow p+n \rightarrow \frac{1}{2} + \frac{1}{2}$

$J^P = 1^+$   $\rightarrow J=1; P=+1$

L Letra

0  $\rightarrow$  s

1  $\rightarrow$  p

2  $\rightarrow$  d

Singlete  $^1p_1 \rightarrow \vec{s} = \vec{0}$

Triplete  $^3s_1, ^3p_1, ^3d_1 \rightarrow \vec{s} = \vec{1}$

$$\vec{J} = \underbrace{\vec{s}_n + \vec{s}_p}_{\vec{s}} + \vec{L} = \frac{1}{2} + \frac{1}{2} + \vec{L} = \vec{L} + \begin{cases} \vec{1} \dots \text{triplete} \\ \vec{0} \dots \text{singlete} \end{cases}$$

$$^1p_1 \rightarrow \vec{s} = \vec{0}, \vec{L} = \vec{1} \rightarrow \vec{J} = \vec{1} + \vec{0} \rightarrow J = 1 \checkmark$$

$$^3s_1 \rightarrow \vec{s} = \vec{1}, \vec{L} = \vec{0} \rightarrow \vec{J} = \vec{s} = \vec{1} \rightarrow J = 1 \checkmark$$

$$^3p_1 \rightarrow \vec{s} = \vec{1}, \vec{L} = \vec{1} \rightarrow \vec{J} = \vec{1} + \vec{1} \rightarrow J = 0, 1, 2 \dots$$

$$^3d_1 \rightarrow \dots, \vec{L} = \vec{2} \rightarrow \vec{J} = \vec{1} + \vec{2} \rightarrow J = 1, 2, 3 \checkmark$$

Por otro lado, la paridad es +1, y la función de onda del deuterón es  $(-1)^L = + \Rightarrow L$  debe ser par.

$$P(n) \cdot P(p) = 1 \cdot 1$$

Sólo son posibles por ahora  $^3s_1, ^3d_1$ .

El momento magnético total del deuterón:

$$\vec{\mu}_d = \frac{\mu_N}{\hbar} (g_s^{(p)} \cdot \vec{s}_p + g_s^{(n)} \vec{s}_n + g_l^{(p)} \vec{L}_p + g_l^{(n)} \vec{L}_n) = \dots =$$

teoría, Landé (ver Feyer)

$= \frac{\mu_N}{2\hbar} g \vec{J}$ , donde el factor de Landé

$$g \equiv 1 + (g_s^{(p)} + g_s^{(n)} - 1) \frac{J(J+1) + S(S+1) - L(L+1)}{2J(J+1)}$$

$$\mu_d = \langle \mu_{d,z} \rangle_{J=1, M=1} = \frac{\mu_N}{4(J+1)} \left\{ 2J(J+1) + (g_s^{(p)} + g_s^{(n)} - 1) (J(J+1) + S(S+1) - L(L+1)) \right\}$$

$$^3s_1 (S=1, L=0, J=1) \rightarrow \mu_d = 0,8798035 \mu_N$$

$$^3d_1 (S=1, L=2, J=1) \rightarrow \mu_d = 0,3100983 \mu_N$$

Valor experimental: 0,857348  $\mu_N$

$\rightarrow$  la contribución principal es del  $^3s_1$  (en realidad es una mezcla)  $\rightarrow$  ver Feyer

3.7)  $B = 1T$

$$\omega_{Larmor} = \frac{g_s^{(p)} \mu_N B_0}{\hbar} = \frac{g_s^{(p)} e}{2m_p} B_0 = 2,67522 \cdot 10^8 \text{ s}^{-1}$$

$$g_s^{(p)} = 5,58569422$$

3.8)

a)  $\frac{n^{\circ} \text{ atoms}}{vol} = N \rightarrow \frac{\mu_p N B}{KT} \approx [N(\uparrow) - N(\downarrow)]/V$  ;  $\mu_p = 1,41 \times 10^{-26} \text{ J/T}$

Campo externo

$$V = -\vec{\mu} \cdot \vec{B}_0 = -g \mu_N \vec{J} \cdot \vec{B}_0$$

$$\vec{J} \parallel \vec{B}_0 \rightarrow V = -g \mu_N J_z B_z$$

$$E_m = \langle V \rangle = -g \mu_N M B_0, \quad M = -J, \dots, J$$

$n^{\circ}$  de estados  $\rightarrow$  estatística de Boltzmann

$$e^{-\frac{E_m}{KT}} \approx 1 - \frac{E_m}{KT} \quad (KT \gg E_m)$$

meV  $\gg$   $\mu$ eV

$$N_+ = e^{-\frac{E_{m+}}{KT}} = 1 - \frac{E_{m+}}{KT}$$

$$N_- = e^{-\frac{E_{m-}}{KT}} = 1 - \frac{E_{m-}}{KT}$$

$$N_+ - N_- = \left(1 - \frac{E_{m+}}{KT}\right) - \left(1 - \frac{E_{m-}}{KT}\right) = \frac{1}{KT} (E_{m-} - E_{m+}) \Big|_{\text{proton}} = \frac{\mu_p}{KT}$$

$\hookrightarrow$  per átomo

$$\Rightarrow \frac{N(\uparrow) - N(\downarrow)}{V} = N \cdot (N_+ - N_-) = \frac{N \mu_p B_0}{KT}$$

b)  $\frac{\Delta N}{V} = N \cdot \frac{1T}{k(293,15K)} \cdot 1,41 \times 10^{-26} \text{ J/T}$

$$= 3,5 \cdot 10^{-6}$$

$$k_B = 1,38065 \times 10^{-23} \text{ J/K}$$



3.3

	s	p	d	f	g	h	i
l	0	1	2	3	4	5	6

a)  $J^P$   
 $^{12}_6\text{C}_6$



$n l_j$   
 $1 p_{3/2}$   
 $1 s_{1/2}$

capas llenas  $\rightarrow J^P = 0^+$

$^{11}_5\text{B}_6$

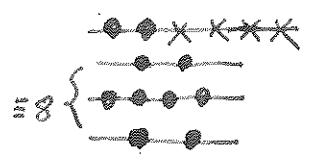


$1 p_{3/2}$   
 $1 s_{1/2}$

hueco en  $1p_{3/2}$  (protones)  $\rightarrow l=1 \rightarrow$  Paridad  $(-1)^l$   
 $\rightarrow j=3/2$

$J^P = \frac{3}{2}^-$

$^{20}_{10}\text{Ne}_{10}$



idem

$1 d_{5/2}$   
 $1 p_{1/2}$   
 $1 p_{3/2}$   
 $2 s_{1/2}$

huecos / nucleones apareados  
 $\downarrow$   
 $J^P = 0^+$

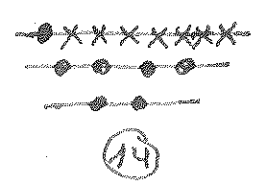
$^{27}_{13}\text{Al}_{14}$



$1 d_{5/2}$   
 $\Rightarrow 14$

$\rightarrow$  hueco desapareado  
 $J^P = (-1)^l$

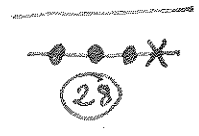
$^{41}_{20}\text{Ca}_{21}$



$1 f_{7/2}$   
 $1 d_{3/2}$   
 $2 s_{1/2}$

$J^P = \frac{5}{2}^+$   
 $\rightarrow$  nucleón desapareado  
 $J^P = \frac{7}{2}^-$

$^{69}_{31}\text{Ga}_{38}$



$2 f_{7/2}$   
 $2 p_{3/2}$

$\rightarrow$  1 protón desapareado  
 $J^P = \frac{3}{2}^-$

b)  $^{16}_8\text{O}_8$



idem

$1 p_{1/2}$   
 $1 p_{3/2}$   
 $1 s_{1/2}$

$J^P = 0^+$  (capas cerradas)

$^{40}_{20}\text{Ca}_{20}$



idem

$1 d_{3/2}$   
 $2 s_{1/2}$

$J^P = 0^+$

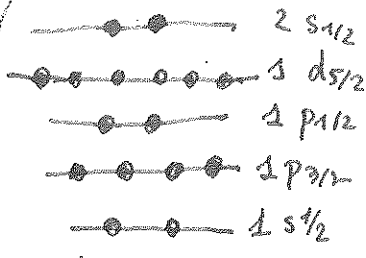
$^{208}_{82}\text{Pb}_{126}$

$\rightarrow$  capas llenas hasta 126, 82  $\rightarrow J^P = 0^+$

Con este procedimiento se justifica la sistemática del ejercicio 3.4 de Sn y Sp.

3.10

a)



↳ 16 nucleones posibles

paridad impar → implica nucleón/protón desapareado en la capa  $1p_{3/2}$  &  $1p_{1/2}$

↳  $N^{\circ}$  impar en p.  $s=1/2, \dots, s=1/2, \dots, s=1/2, \dots, L=1; T=1+5$

b)  ${}^7_3\text{Li}_4$



$1p_{3/2}$  }  $J_p = \frac{3}{2}^-$   
 $1s_{1/2}$

${}^{11}_5\text{B}_6$



$1p_{3/2}$  }  $J_p = \frac{3}{2}^-$   
 $1s_{1/2}$

${}^{31}_{15}\text{P}_{16}$



$2s_{1/2}$  }  $J_p = \frac{1}{2}^+$   
 $1p_{3/2}$

${}^{39}_{19}\text{K}_{20}$



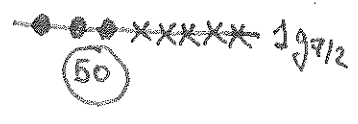
$1d_{3/2}$  →  $J_p = \frac{3}{2}^+$

${}^{59}_{27}\text{Co}_{32}$



$2p_{3/2}$  }  $J_p = \frac{7}{2}^-$   
 $1f_{7/2}$

${}^{127}_{53}\text{I}_{74}$



$1h_{11/2}$  →  $J_p = \frac{7}{2}^+$

⊗ Corrección del (a)

↳ mismo estado nuclear ≡ misma subcapa

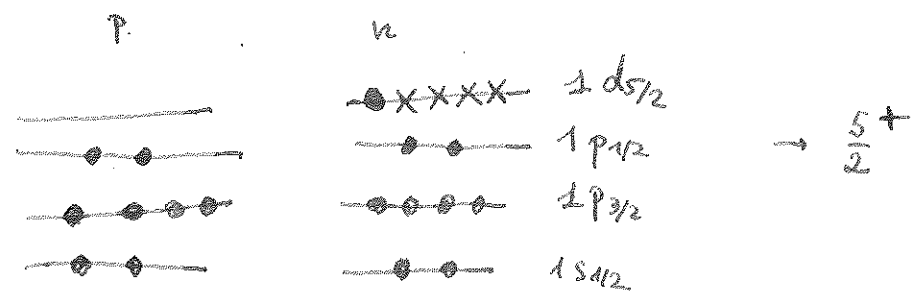
$$16 = 2j + 1 \rightarrow j = \frac{15}{2} = l \pm 1/2 \rightarrow l = \begin{cases} 8 \\ 7 \end{cases}$$

Paridad impar:  $(-1)^l = -1 \rightarrow$  Por tanto  $l = 7 \equiv "j"$

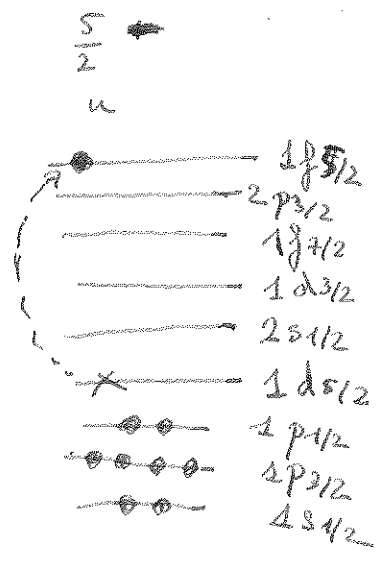
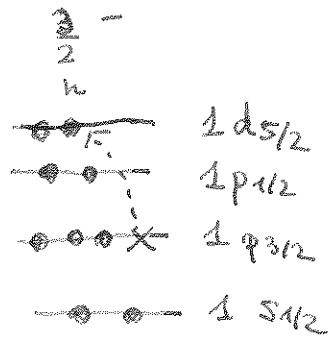
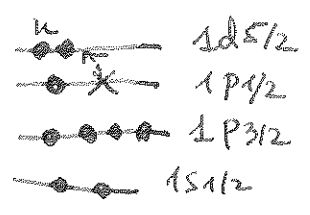
$$\Rightarrow 1j_{15/2} \rightarrow J_p = \frac{15}{2}^-$$

3.11) excitados  $\frac{1}{2}^-, \frac{5}{2}^-, \frac{3}{2}^-$  del  $^{17}_8\text{O}_3$

Fundamental:



Excitado  $\frac{1}{2}^-$



3.12) → No se hace (ver teoría)

3.13)

3.14)

a)  $^{209}_{83}\text{Bi}$  ( $\frac{9}{2}^-$ ) → protón desapareado en  $1h_{9/2}$

$$Q_{sp} = - \frac{2j-1}{2(j+1)} \langle r^2 \rangle \approx - \left( \frac{3}{5} r_0 A^{1/3} \right)^2 \cdot \frac{j-1}{j+2} = - \frac{8}{11} \cdot \frac{9}{25} r_0^2 A^{2/3}$$

$$r_0 = 1,2 \text{ fm} \quad \rightarrow \quad \rightarrow 13,3 \text{ fm}^2 = -0,133 \text{ barn}$$

$Q_{exp} = -0,37 \text{ barn}$  No concuerda porque  $\Delta$  grande → núcleo no esférico

b)  $\frac{\mu_{teo}}{\mu_N} = j \left[ g_l \pm \frac{g_s - g_l}{2l+1} \right]$  con  $j = l \pm 1/2$  (Feyn p. 118)

$^{75}_{32}\text{Ge}_{43}$   $J_p = \frac{1}{2}^-$  → neutrón desapareado en  $2p_{1/2}$  (salta a  $1g_{9/2}$ )  
 $l = 1 \rightarrow j = l - 1/2 = 1/2$

$$\frac{\mu_{teo}}{\mu_N} = \frac{1}{2} \left[ g_l - \frac{g_s - g_l}{2l+1} \right] = \frac{1}{6} \cdot g_s^n = 0,64 \sim \frac{\mu_{exp}}{\mu_N} = 0,520 //$$

$^{87}_{38}\text{Sr}_{49}$  →  $J_p = \frac{9}{2}^+$  → neutrón desapareado en  $1g_{9/2}$  →

$$\frac{\mu_{teo}}{\mu_N} = \frac{9}{2} \left( + \frac{g_s^n}{8+1} \right) = -1,915 \sim -1,093 = \frac{\mu_{exp}}{\mu_N} //$$

$^{84}_{40}\text{Zr}_{44}$  →  $J_p = \frac{5}{2}^+$  neutrón des. en  $2d_{5/2}$  →  $l = 2, j = l + 1/2$

$$\frac{\mu_{teo}}{\mu_N} = \frac{5}{2} \left( + \frac{g_s^n}{5} \right) = -1,915 \sim -1,304 = \frac{\mu_{exp}}{\mu_N} //$$

$g_p^{(9)}$	$= 5,59$
$g_p^{(1)}$	$= 1$
$g_n^{(5)}$	$= -3,83$
$g_n^{(2)}$	$= 0$

$$l = 4$$

$$j = l + 1/2$$

$47_{21}^{26}\text{Sc}$

→ protole des. en  $1f_{7/2} \rightarrow l=3$

$$J_p = \frac{7}{2}^-$$

$$\rightarrow j = 3 + 1/2$$

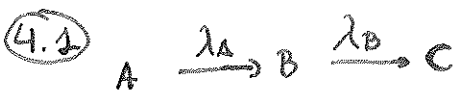
$$\frac{\mu_{\text{theo}}}{\mu_N} j \left[ g_e^p + \frac{g_s^p - g_e^p}{2l+1} \right] = 5,798 \sim \frac{\mu_{\text{exp}}}{\mu_N} = 5,734 //$$

$147_{63}^{84}\text{Eu}$  → protole des. en  $1h_{11/2}$  (caltă de  $2d_{5/2}$ )

$$J_p = \frac{11}{2}^-$$

$$l=5, j = l + 1/2$$

$$\frac{\mu_{\text{theo}}}{\mu_N} = \frac{11}{2} \left[ 1 + \frac{5,58-1}{11} \right] = 7,795 \sim 6,06 = \mu_{\text{exp}}/\mu_N //$$



$\frac{dN_A}{dt} = -\lambda_A N_A(t) \rightarrow N_A = N_A(t=0) \cdot e^{-\lambda_A t} = N_{A0} e^{-\lambda_A t}$

$\frac{dN_B}{dt} = -\lambda_B N_B(t) + \lambda_A N_A(t) \rightarrow$  Eusayamos  $N_B = c e^{-\lambda_A t} + d e^{-\lambda_B t}$   
 $\hookrightarrow -\lambda_A c e^{-\lambda_A t} - \lambda_B d e^{-\lambda_B t} = -\lambda_B c e^{-\lambda_A t} - \lambda_B d e^{-\lambda_B t} + \lambda_A N_{A0} e^{-\lambda_A t}$

$\hookrightarrow e^{-\lambda_A t} ((\lambda_B - \lambda_A) c - \lambda_A N_{A0}) = 0 \quad \forall t$   
 $(\lambda_B - \lambda_A) c = \lambda_A N_{A0} \rightarrow c = \frac{\lambda_A N_{A0}}{\lambda_B - \lambda_A}$

$N_B = \frac{\lambda_A N_{A0}}{\lambda_B - \lambda_A} e^{-\lambda_A t} + d e^{-\lambda_B t} \rightarrow N_B(0) = N_{B0} = \frac{\lambda_A N_{A0}}{\lambda_B - \lambda_A} + d$

$\hookrightarrow d = N_{B0} - \frac{\lambda_A N_{A0}}{\lambda_B - \lambda_A}$

$\hookrightarrow N_B = \frac{\lambda_A N_{A0}}{\lambda_B - \lambda_A} (e^{-\lambda_A t} - e^{-\lambda_B t}) + N_{B0} e^{-\lambda_B t}$

$\hookrightarrow \frac{dN_C}{dt} = \lambda_B \cdot N_B(t) = \frac{\lambda_B \lambda_A N_{A0}}{\lambda_B - \lambda_A} (e^{-\lambda_A t} - e^{-\lambda_B t}) + \lambda_B N_{B0} e^{-\lambda_B t}$

$\hookrightarrow N_C = c t e + \frac{\lambda_B \lambda_A N_{A0}}{\lambda_B - \lambda_A} \left( \frac{e^{-\lambda_B t}}{\lambda_B} - \frac{e^{-\lambda_A t}}{\lambda_A} \right) - N_{B0} e^{-\lambda_B t}$

$N_C(t=0) = N_{C0} = c t e + \frac{\lambda_B \lambda_A N_{A0}}{\lambda_B - \lambda_A} \left( \frac{\lambda_A - \lambda_B}{\lambda_B \lambda_A} \right) - N_{B0}$   
 $= c t e - N_{A0} - N_{B0} \rightarrow c t e = N_{C0} + N_{A0} + N_{B0}$

$N_C = N_{B0} (1 - e^{-\lambda_B t}) + N_{A0} \left( 1 - \frac{1}{\lambda_A - \lambda_B} (\lambda_A e^{-\lambda_B t} - \lambda_B e^{-\lambda_A t}) \right) + N_{C0}$

$N_B(t)_{max} \rightarrow \frac{dN_B}{dt} = 0 = \frac{\lambda_A N_{A0}}{\lambda_B - \lambda_A} (-\lambda_A e^{-\lambda_A t} + \lambda_B e^{-\lambda_B t}) - \lambda_B N_{B0} e^{-\lambda_B t} \Big|_{t=t_{max}}$

$0 = -\lambda_A^2 N_{A0} e^{-\lambda_A t} + \lambda_A \lambda_B N_{A0} e^{-\lambda_B t} - \lambda_B^2 N_{B0} e^{-\lambda_B t} + \lambda_A \lambda_B N_{B0} e^{-\lambda_B t} \Big|_{t=t_{max}}$   
 $0 = -\lambda_A^2 N_{A0} e^{(\lambda_B - \lambda_A)t} + \lambda_A \lambda_B N_{A0} - \lambda_B^2 N_{B0} + \lambda_A \lambda_B N_{B0} \quad (t=t_{max})$

$N_{A0} e^{(\lambda_B - \lambda_A)t_{max}} = \frac{\lambda_B}{\lambda_A} (N_{A0} + N_{B0}) - \frac{\lambda_B^2}{\lambda_A^2} \cdot N_{B0}$

$e^{(\lambda_B - \lambda_A)t_{max}} = \frac{\lambda_B}{\lambda_A} \left( 1 + \frac{N_{B0}}{N_{A0}} \right) - \frac{\lambda_B^2}{\lambda_A^2} \frac{N_{B0}}{N_{A0}} \rightarrow t_{max} = \frac{1}{\lambda_B - \lambda_A} \cdot \ln \left( \frac{\lambda_B}{\lambda_A} \left( 1 + \frac{N_{B0}}{N_{A0}} \right) - \frac{\lambda_B^2}{\lambda_A^2} \frac{N_{B0}}{N_{A0}} \right)$

Um caminho más fácil es:

$$\frac{dN_B}{dt} > 0 = -\lambda_B N_B + \lambda_A N_A \rightarrow \lambda_B N_B = \lambda_A N_A$$

$$\frac{\lambda_A N_{A0} e^{-\lambda_A t}}{\lambda_B} = \dots \text{ llegándose a una eqn similar}$$

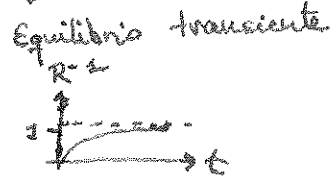
• Si:  $N_{B0} = 0$ , se reduce a:

$$t_{max} = \frac{1}{\lambda_B - \lambda_A} \ln \left( \frac{\lambda_B}{\lambda_A} - \frac{\lambda_B^2}{\lambda_A^2} \frac{N_{B0}}{N_{A0}} \right) = \frac{1}{\lambda_B - \lambda_A} \ln \left( \frac{\lambda_B}{\lambda_A} \right) \quad \tau = 1/\lambda$$

$$\text{Si } \lambda_B \gg \lambda_A \rightarrow t_{max} \rightarrow \infty$$

$$b) R = \frac{\Delta_A}{\Delta_B} = \frac{\lambda_A N_A}{\lambda_B N_B} = \frac{\lambda_A N_{A0} e^{-\lambda_A t}}{\lambda_B \frac{\lambda_A N_{A0} e^{-\lambda_A t}}{\lambda_B - \lambda_A} (e^{-\lambda_A t} - e^{-\lambda_B t})} = \frac{\lambda_B - \lambda_A}{(1 - e^{(\lambda_A - \lambda_B)t}) \lambda_B} = \frac{1 - \frac{\lambda_A}{\lambda_B}}{1 - e^{(\lambda_A - \lambda_B)t}}$$

$$\bullet \tau_A > \tau_B \rightarrow \lambda_A < \lambda_B \rightarrow R > \frac{1 - \lambda_A/\lambda_B}{1 - e^{-(\lambda_B - \lambda_A)t}} \quad \lim_{t \rightarrow \infty} R = R_{\infty} = 1 - \lambda_A/\lambda_B$$



$$\bullet \text{ si } \tau_A \gg \tau_B \rightarrow \lambda_A \ll \lambda_B$$

$$b) R_{\infty} \rightarrow 1 \rightarrow \text{Equilibrio secular}$$



4.2

$$T_A = 3 \text{ min} \rightarrow \tau = \frac{T_{1/2}}{\ln 2}$$

$$T_B = 26,8 \text{ min}$$

$$T_C = \infty$$

$$a) N_{A0}; N_{B0} = N_{C0} = 0$$

$$\text{Utilizando 1a): } t_{max} = \frac{\tau_B \tau_A}{\tau_A - \tau_B} \ln \left( \frac{\tau_A}{\tau_B} \right) = \frac{1}{\ln 2} \frac{T_B T_A}{T_A - T_B} \ln \left( \frac{T_A}{T_B} \right) = 10,7 \text{ min}$$

$$b) T_B > T_A \rightarrow \lambda_A > \lambda_B \rightarrow \text{No equilibrio}$$

$$A_{\Delta} \rightarrow 0$$

$$\lim_{t \rightarrow \infty} R = \frac{\lambda_A/\lambda_B}{e^{\lambda_A t}} = \frac{\lambda_A}{\lambda_B} e^{-\lambda_A t} \rightarrow 0$$



4.3 10 mg  $^{47}\text{Ca}$   $\xrightarrow{\lambda_{Ca}}$   $^{47}\text{Sc}$   $\lambda = \frac{\ln 2}{T_{1/2}}$   $P_2 = 46,3634 \text{ g/mol}$  ;  $T_{Ca} = 4,54 \text{ d}$  ;  $T_{Sc} = 3,35 \text{ d}$

$$a) A_{0Ca} = \lambda_{Ca} \cdot N_{Ca} = \frac{\ln 2}{T_{Ca}} \cdot 10 \text{ mg} \cdot 6,023 \cdot 10^{23} \text{ mol}^{-1} = 2,27 \cdot 10^{14} \text{ Bq} = 6124 \text{ Ci}$$

$$b) A_{tot} = A_{Ca} + A_{Sc} = A_{0Ca} e^{-\lambda_{Ca} t} + \frac{\lambda_{Ca} N_{Ca}}{\lambda_{Sc} - \lambda_{Ca}} (e^{-\lambda_{Ca} t} - e^{-\lambda_{Sc} t})$$

$$A_{tot}(2d) = A_{0Ca} \left( e^{-\lambda_{Ca} t} \left( 1 + \frac{1}{1 - \frac{\lambda_{Ca}}{\lambda_{Sc}}} \right) - \frac{e^{-\lambda_{Sc} t}}{1 - \frac{\lambda_{Ca}}{\lambda_{Sc}}} \right) = 6282 \text{ Ci}$$

$$c) t_{max} \stackrel{4.1a)}{\approx} \frac{1}{\ln 2} \frac{1}{\frac{1}{T_B} - \frac{1}{T_A}} \ln \left( \frac{T_A}{T_B} \right) = 5,6 \text{ dias}$$

A ≡ Ca, B ≡ Sc

4.4  
a)  $^{40}\text{K}$

i)  $\frac{N^{\circ} \text{ átomos } ^{40}\text{K}}{N^{\circ} \text{ átomos } \text{K}_{\text{nat}}} = \chi = 1,13 \cdot 10^{-4}$       $P(\text{K}_{\text{nat}}) = 39 \times 0,9333 + 1,13 \cdot 10^{-4} \times 40 + 0,067 \times 41 = 39,13876$

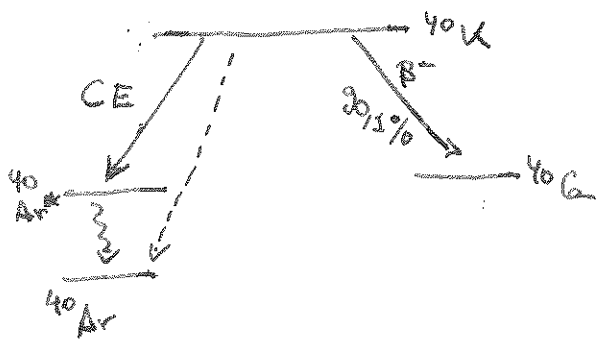
ii)  $\Delta g (\text{K}_{\text{nat}}) \rightarrow 32 \text{ Bq} \quad (\beta)$   
 $N_{\text{K}_{\text{nat}}} = \frac{\Delta g \cdot N_A}{P(\text{K}_{\text{nat}})} = 1,539 \cdot 10^{22}$   
 $N_{^{40}\text{K}} = \chi \cdot N_{\text{K}_{\text{nat}}} = 1,83 \cdot 10^{18}$

$\lambda_{\beta} N_{^{40}\text{K}} = 32 \text{ Bq} \rightarrow \lambda_{\beta} = 1,69 \cdot 10^{-17} \text{ s}^{-1}$

iii)  $\lambda_{\gamma} = \frac{3,4 \text{ Bq}}{N_{^{40}\text{K}}} = 1,86 \cdot 10^{-18} \text{ s}^{-1}$

$A_{\text{total}} = \lambda_{\gamma} N + \lambda_{\beta} N = (\lambda_{\gamma} + \lambda_{\beta}) N \rightarrow \lambda_{\text{total}} = \lambda_{\gamma} + \lambda_{\beta} = 1,87 \cdot 10^{-17} \text{ s}^{-1}$

$T_{\text{total } 1/2} = \frac{\ln 2}{\lambda_{\text{total}}} = 3,69 \cdot 10^{16} \text{ s} = 1,17 \cdot 10^9 \text{ y}$



Branching:

$\frac{\lambda_{\beta}}{\lambda_{\text{tot}}} = \frac{31}{34,4} = 90,1\%$   
 $\frac{\lambda_{\gamma}}{\lambda_{\text{tot}}} = \frac{3,4}{34,4} = 9,9\%$

La verificación se puede realizar contando el Argón que se genera. Se detectan 3,4 γs por segundo, por tanto se crean 3,4 Ar por segundo. Al cabo de t,  $N_{\Delta v} = 3,4 \cdot t$ ,  $m_{\Delta v} = \frac{3,4 \cdot t \cdot P_{\text{Ar}}}{N_A}$  Si la masa medida es mayor que  $m_{\Delta v}$ , la línea punteada se crea, si ocurre. Otra opción es pesar  $^{40}\text{K}$ . O medir su volumen

b)  $\frac{V}{m} = 1,54 \times 10^{-2} \text{ cm}^3$       $\rightarrow N_{\text{Ar}} = \frac{1,54 \times 10^{-2} \text{ cm}^3 N_A}{22,4 \text{ dm}^3/\text{mol}} = 4,14 \cdot 10^{17}$

$N_{\text{Ar}} = \int_0^t \lambda_{\gamma} N_{^{40}\text{K}}(t') dt' = \lambda_{\gamma} N_{^{40}\text{K}}(0) \left( t + \frac{1}{\lambda_{\gamma}} e^{-\lambda_{\text{total}} t} - \frac{1}{\lambda_{\gamma}} \right)$

$N_{\text{Ar}} = \int_0^t \lambda_{\gamma} N_{^{40}\text{K}}(t') dt' = \lambda_{\gamma} \int_0^t N_{^{40}\text{K}}(0) e^{-\lambda_{\text{total}} t'} dt' = \lambda_{\gamma} N_{^{40}\text{K}}(0) \cdot \frac{(1 - e^{-\lambda_{\text{total}} t})}{\lambda_{\gamma} + \lambda_{\beta}} = N_{^{40}\text{K}}(0) \frac{\lambda_{\gamma}}{\lambda_{\gamma} + \lambda_{\beta}} (1 - e^{-\lambda_{\text{total}} t})$

$(1 - e^{-\lambda_{\text{total}} t}) = \frac{N_{\text{Ar}}}{N_{^{40}\text{K}}} \frac{\lambda_{\gamma} + \lambda_{\beta}}{\lambda_{\gamma}} \rightarrow t = \frac{1}{\lambda_{\text{total}}} \ln \left( 1 - \frac{N_{\text{Ar}}}{N_{^{40}\text{K}}} \frac{\lambda_{\text{total}}}{\lambda_{\gamma}} \right)$

$$N_{40K}(t_0) = 1,83 \cdot 10^{18} = N_0 \cdot e^{-\lambda t_0} \rightarrow N_0 = N(t_0) \cdot e^{\lambda t_0}$$

$$N_{Av} = \int_0^{t_0} \lambda \gamma \cdot N_{40K}(t) \cdot dt = \lambda \gamma \overbrace{N_{40K}(0)}^{N_0} \int_0^{t_0} e^{-\lambda t} dt = \frac{\lambda \gamma N_0}{\lambda \gamma + \lambda \rho} \cdot (1 - e^{-\lambda t_0})$$

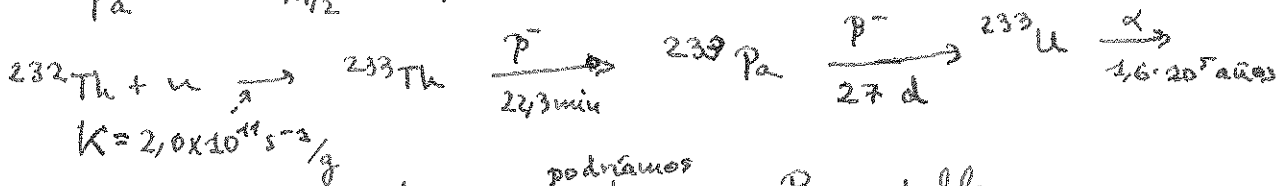
$$= \frac{\lambda \gamma N_K(t_0)}{\lambda \gamma + \lambda \rho} (e^{\lambda t_0} - 1) = \frac{\lambda \gamma}{\lambda \gamma + \lambda \rho} \cdot (N_{40K}(0) - N_{40K}(t_0))$$

$$e^{\lambda t_0} = \frac{\lambda \gamma + \lambda \rho}{\lambda \gamma} \cdot \frac{N_{Av}(t_0)}{N_K(t_0)} + 1 \rightarrow t_0 = \frac{1}{\lambda \gamma + \lambda \rho} \cdot \ln \left[ 1 + \frac{34,4}{3,4} \cdot \frac{N_{Av}}{N_K} \right]$$

$$= 2,01 \cdot 10^9 \text{ y}$$

4.5

$$^{233}\text{Pa} \quad T_{1/2} = 27,0 \text{ d}$$



22,3 min;  $\Delta t \ll 27 \text{ d}$   $\rightarrow$  podríamos considerar: Pa estable

$$\frac{dN_{Th}^{233}}{dt} = -\lambda_{Th} N_{Th}^{233} + \frac{K \cdot m_{Th}^{232}}{R} \rightarrow \text{Eusayamos } N_{Th} = A + B e^{-\lambda_{Th} t}$$

$$-\lambda B e^{-\lambda t} = -\lambda A - \lambda B e^{-\lambda t} + R$$

$$N_{Th}^{233} = \frac{R}{\lambda_{Th}} (1 - e^{-\lambda_{Th} t})$$

$$\hookrightarrow R = \lambda A$$

$$N(0) = \frac{R}{\lambda} + B = 0 \rightarrow B = -\frac{R}{\lambda}$$

$$\frac{dN_{Pa}}{dt} = -\lambda_{Pa} N_{Pa} + \lambda_{Th} N_{Th}$$

$$= -\lambda_{Pa} N_{Pa} + R - R e^{-\lambda_{Th} t} \rightarrow \text{Eusayamos } N_{Pa} = A + B e^{-\lambda_{Pa} t} + C e^{-\lambda_{Th} t}$$

$$-\lambda_{Pa} B e^{-\lambda_{Pa} t} - \lambda_{Th} C e^{-\lambda_{Th} t} = -\lambda_{Pa} A + R - R e^{-\lambda_{Th} t}$$

$$R - \lambda_{Pa} A = (R + \lambda_{Pa} C - \lambda_{Th} C) \cdot e^{-\lambda_{Th} t}$$

$$\text{Válido } \forall t \rightarrow t = \infty \rightarrow R = \lambda_{Pa} A \rightarrow A = R / \lambda_{Pa}$$

$$\rightarrow t = 0 \rightarrow R + (\lambda_{Pa} - \lambda_{Th}) C = 0 \rightarrow C = \frac{R}{\lambda_{Th} - \lambda_{Pa}}$$

$$\hookrightarrow N_{Pa} = \frac{R}{\lambda_{Pa}} + B e^{-\lambda_{Pa} t} + \frac{R}{\lambda_{Th} - \lambda_{Pa}} e^{-\lambda_{Th} t}$$

$$N_{Pa}(0) = 0 = \frac{R}{\lambda_{Pa}} + B + \frac{R}{\lambda_{Th} - \lambda_{Pa}} \rightarrow B = -R \left( \frac{\lambda_{Th} - \lambda_{Pa} + \lambda_{Pa}}{(\lambda_{Th} - \lambda_{Pa}) \lambda_{Pa}} \right) = R \frac{\lambda_{Th}}{\lambda_{Pa} (\lambda_{Th} - \lambda_{Pa})}$$

$$N_{Pa} = \frac{R}{\lambda_{Pa}} \left( 1 + \frac{\lambda_{Th}}{\lambda_{Th} - \lambda_{Pa}} e^{-\lambda_{Pa} t} + \frac{\lambda_{Pa}}{\lambda_{Th} - \lambda_{Pa}} e^{-\lambda_{Th} t} \right) = \frac{R}{\lambda_{Pa}} \left( 1 + \frac{1}{\lambda_{Th} - \lambda_{Pa}} (\lambda_{Th} e^{-\lambda_{Pa} t} - \lambda_{Pa} e^{-\lambda_{Th} t}) \right)$$

$$\frac{\Delta m_{Pa}}{m} = \frac{\lambda}{m} N_{Pa} = \frac{R}{m} (1 - e^{-\lambda_{Th} \Delta t}) = K (1 - e^{-\lambda_{Th} \Delta t}) = K (1 - e^{-\frac{\ln 2}{T_{1/2}} \cdot \Delta t})$$

$$= 1,69 \cdot 10^{11} \frac{\text{Bq}}{\text{g}} = 4,57 \frac{\text{Ci}}{\text{g}} ; \frac{\Delta m_{Pa}}{m} = K \left( 1 + \frac{1}{\lambda_{Th} - \lambda_{Pa}} (\lambda_{Th} e^{-\lambda_{Pa} \Delta t} - \lambda_{Pa} e^{-\lambda_{Th} \Delta t}) \right)$$

$$= 3,16 \text{ mCi/g}$$



b)  $A'_{Th} = A_{Th}(t_0) \cdot e^{-\lambda_{Th} t} = 6,15 \cdot 10^{-9} Bq \approx 0$

$A'_P = ? \rightarrow$  usamos 4.2. ( $C \approx$  estable)

$A'_P(t) = \frac{\lambda_P A_{Th}(t_0)}{\lambda_P - \lambda_{Th}} (e^{-\lambda_{Th} t} - e^{-\lambda_P t}) + A_P(0) e^{-\lambda_P t} \approx \left[ \frac{\lambda_P A_{Th}(t_0)}{\lambda_{Th}} + A_P(0) \right] e^{-\lambda_P t}$   
 $= 2,56 \text{ mCi/g} + 3,08 \text{ mCi/g} \approx 5,64 \text{ mCi/g} \rightarrow A'_P(t) = A'_P(t_0) \cdot e^{-\lambda_P t}$   
 $\approx 0,975 \cdot 5,8 \text{ mCi/g} = A'_P(t_0) = e^{-\lambda_P \cdot 24h} \cdot A'_P(t_0)$   
 ↳ Th "muerto"

c)  $\frac{dN_u}{dt} = -\lambda_u N_u + \lambda_P N_P$

4.2 Ar cabo de un año, no quedará Pa apenas.

$\lambda_u N_u \approx A_u = \lambda_u \frac{A'_P(t_0)}{\lambda_u - \lambda_P} (e^{-\lambda_P t} - e^{-\lambda_u t}) \approx \frac{\lambda_u V}{\lambda_P} e^{-\lambda_P t} = 99 \text{ Bq} //$

↳ bien  $N_u = R \cdot 24h = R \cdot 3600s \rightarrow A_u = \lambda_u N_u =$  mismo resultado  
 ↳ despreciable  
 ↳ Todo el Th producido es ahora U

4.6

$T_{1/2} = 15h$

$m = 500g$

$v = 50 \text{ Ci/g} \rightarrow R = 500g \cdot 50 \text{ Ci/g} = 25.000 \text{ Ci}$

$N \approx N^e$  átomos de Na

$\frac{dN}{dt} = -\lambda N + R \rightarrow \lambda N = R(1 - e^{-\lambda t}) = A$  (actividad) } equilibrio secular

$A_{max} = A(t \rightarrow \infty) = R = 25.000 \text{ Ci}$   
 ↳ hasta que se acabe el combustible ( $t \gg \frac{1}{\lambda}, t < 10^{10} s$ )

$N_{MF}(t) = N_{MF}(0) - R \cdot t$

$= \frac{m}{M} N_A - R t = 7,17 \cdot 10^{24} - 3,25 \cdot 10^{14} Bq \cdot t$   
 $P_{at} = P_{Na} + P_F = 22,989770 + 18,998403 \text{ g/mol}$

$\% = \frac{R/\lambda (1 - e^{-\lambda t})}{\frac{m N_A}{M} - R t} \approx 1,214 \cdot 10^{-5} //$

$\lambda = \frac{\ln 2}{T_{1/2}} \rightarrow A(t = n T_{1/2}) = R (1 - e^{-\frac{\ln 2}{T_{1/2}} \cdot n T_{1/2}}) = R (1 - (e^{-\ln 2})^n) = R (1 - 2^{-n}) //$

4.7 → Ver hoja aparte

4.8



Geiger-Nuttall:  $\ln \lambda = C - \frac{D Z_{\text{nija}}}{\sqrt{Q}}$ ,  $C = 132,8$ ,  $D = 3,97 \sqrt{\text{MeV}}$   $\rightarrow Z_{\text{nija}} = 94$

$$Q = M_u({}^{244}_{96}\text{Cu}) - M_u({}^{240}_{94}\text{Pu}) - M_u({}^4_2\text{He}) = \Delta({}^{244}\text{Cu}) - \Delta({}^{240}\text{Pu}) - \Delta({}^4\text{He})$$
$$= 58,453 - 50,127 - 2,424 = 5,902 \text{ MeV}$$

$$\ln \lambda = -20,81 \rightarrow \lambda = 9,47 \cdot 10^{-10} \text{ s}^{-1}$$

$$\tau = \frac{1}{\lambda} = 34,57 \text{ años} \rightarrow T_{1/2} = \ln 2 \tau = 23,96 \text{ años} \xrightarrow{\text{Valor exp.}} 18,6 \text{ años}$$

↳ Error del ~25%

propagación de errores  $\delta_{\text{rel}}(\tau) = \delta_{\text{rel}}(T_{1/2}) = \delta_{\text{rel}}(\lambda) = \frac{1}{\lambda} \cdot e^a \cdot \delta(a) = \delta(a) = \delta_{\text{rel}}(a) \cdot a = 20\%$

↳ consistente

! Error pequeño en a conlleva mucho error en  $\tau$  !

6)  $Q_{6+} = Q - 0,294 \text{ MeV} = 5,608 \text{ MeV} \rightarrow \lambda_{6+} = 1,72 \cdot 10^{-11} \rightarrow \tau_{6+} = 1841 \text{ años}$

$$\frac{\tau_{6+}}{\tau_0} \sim 53 \rightarrow \text{lógico, más probable decaer a } 0+$$

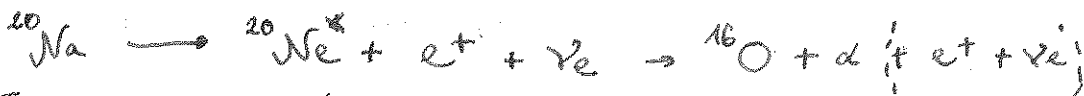
Valor exp:

$$\frac{\lambda_{6+}}{\lambda_0} = \frac{\tau_0}{\tau_{6+}} \sim 21306$$

sobrestima  $\lambda_{6+}$

→ Geiger-Nuttall falla con  $l=6 > 0$  y en núcleos con A alto, que se desvían del modelo esférico.

4.9



$$T_{\beta^+ \text{max}} = 5,55 \text{ MeV} = Q_{\beta^+} \rightarrow M_u({}^{20}\text{Na}) = M_u({}^{20}\text{Ne}^*) - m_e = Q_{\beta^+}$$

$$T_{\alpha} = \frac{Q_{\alpha}}{1 + \frac{4}{16}}$$

$$Q_{\alpha} = M_u({}^{20}\text{Ne}^*) - M({}^{16}\text{O}) - M_{\alpha} = M_u({}^{20}\text{Na}) - m_e - Q_{\beta^+} - M_u({}^{16}\text{O}) - M_u(\alpha)$$
$$= \Delta({}^{20}\text{Na}) - 2m_e - \Delta({}^{16}\text{O}) - \Delta({}^4\text{He}) - Q_{\beta^+} = 2,589 \text{ MeV}$$

$$T_{\alpha} = 2,07 \text{ MeV}$$

4.10



similar a 4.9.

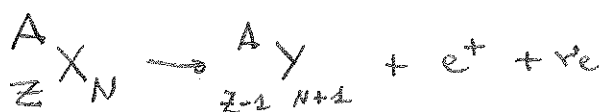
$$M({}_{10}^{17}\text{Ne}) = M({}_8^{16}\text{O}) + M({}_1^1\text{H}) + T_0 + T_p + m_e + \underbrace{T_{e^+ + \nu_e}}_{T_{e^+ + \nu_e}}$$

por 4.9 (análogo)

$$T_p + T_0 = Q_p = T_p \left(1 + \frac{1}{16}\right) \rightarrow T_0 = \frac{T_p}{16}$$

$$T_{e^+, \text{max}} = \Delta({}_{10}^{17}\text{Ne}) - \Delta({}_8^{16}\text{O}) - \Delta({}_1^1\text{H}) - 2m_e - T_p \left(1 + \frac{1}{16}\right) = 1,63 \text{ MeV}$$

4.11



$$M({}^A_Z X_N) = \underbrace{M({}^A_{Z-1} Y_{N+1}^*)}_{M({}^A_{Z-1} Y_{N+1})} + m_{e^+} + m_{\nu_e} + T_Y + \underbrace{T_{e^+ + \nu_e}}_{T_{e^+ + \nu_e}}$$

$Q = E_Y + T_{e^+, \text{max}}$

$$\Delta M = M({}^A_Z X_N) - M({}^A_{Z-1} Y_{N+1}) = 2m_{e^+} + E_Y + T_{e^+, \text{max}}$$

1ª componente:

$$T_{e^+, \text{max}} = 0,672 \text{ MeV} + 2 \text{ fotones en cascade: } E_Y = 0,784$$

$$\Delta M = 2,478 \text{ MeV}$$

2ª componente:

$$T_{e^+, \text{max}} = 0,536 \text{ MeV} \rightarrow E_{\text{cascada}} = \Delta M - 2m_{e^+} - T_{e^+, \text{max}} = 0,920 \text{ MeV}$$

↳ dos fotones de una misma cascada deben sumar 320 KeV en total.

Se pueden dar distintas combinaciones:

i) 804 + 316 keV      iv) 308 + 296 + 316

ii) 308 + 612 keV

iii) 136 + 468 + 346 keV  
672 → 3ª comp.

3ª componente

$$T_{e^+, \text{max}} = 256 \text{ keV} \rightarrow T_{e^+, 2} - T_{e^+, 3} = 280 \text{ keV} \rightarrow T_{e^+, \text{max}, 2} - T_{e^+, 3} = 416 \text{ keV}$$

i) 280 keV + [2ª componente] ... 4 cascadas

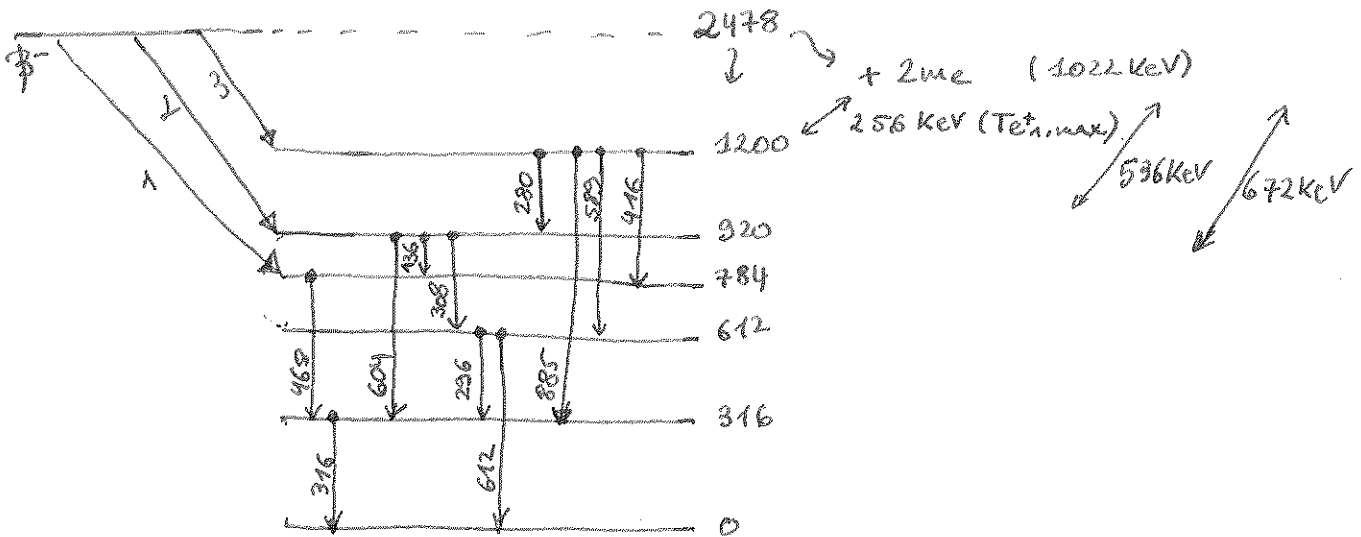
ii) 416 keV + [1ª comp] ... 2 "

Además: iii) 885 + 316 keV ... 2 "

iv) 589 + { 296 + 316 keV } ... 2 "

Esquema del proceso:

Unidades: KeV



4.13  $\rightarrow$  Debe cumplir  $\Delta J = L + S$ , es decir  $|\Delta J| \leq |L + S| = L + S \rightarrow$  procedimiento útil y rápido  
 a)  ${}_{38}^{80}\text{Sr} \left(\frac{5}{2}^+\right) \rightarrow {}_{38}^{80}\text{Y} \left(\frac{1}{2}^-\right) \Rightarrow \Delta J = 2, \Delta P = - \rightarrow L \text{ impar} \left. \begin{array}{l} L=1, S=1 \\ L=2, S=1 \end{array} \right\} \rightarrow$  Gamow Teller  $\Delta \neq$  prohibida  $\rightarrow$  buscas  $L$  menor (= más permitida)

b)  ${}_{36}^{80}\text{Ce} (2^+) \rightarrow {}_{36}^{80}\text{Ar} (0^+) \Rightarrow \Delta J = 2, \Delta P = + \rightarrow L \text{ par} \left. \begin{array}{l} L=2, S=0 \\ L=2, S=1 \end{array} \right\} \rightarrow$  2<sup>as</sup> prohibidas

c)  ${}_{18}^{40}\text{Ar} (5^+) \rightarrow {}_{18}^{40}\text{Mg} (2^+) \Rightarrow \Delta J = 3, \Delta P = + \rightarrow L \text{ par} \left. \begin{array}{l} L=2, S=1 \\ L=3, S=1 \end{array} \right\} \rightarrow$  ambas posibles  $\rightarrow$  GT 2<sup>as</sup> prohibida

d)  ${}_{58}^{92}\text{Zr} \left(\frac{1}{2}^+\right) \rightarrow {}_{58}^{92}\text{Nb} \left(\frac{1}{2}^-\right) \Rightarrow \Delta J = 0, \Delta P = - \rightarrow L \text{ impar} \left. \begin{array}{l} L=1, S=0 \\ L=1, S=1 \end{array} \right\} \rightarrow$  1<sup>as</sup> prohibidas

(con  $\lambda(E1)$ ) también se puede saber el grado de prohibición aproximada.

4.14 Transiciones  $\gamma \rightarrow$  estimadores de Weisskopf  $\rightarrow |J_i - J_f| \leq L \leq J_i + J_f \rightarrow L \neq 0$

$\frac{1}{2}^+ \rightarrow \frac{1}{2}^- \rightarrow \Delta P = - \Rightarrow$  impar E, par M

$E_\gamma = 3,1086 \text{ MeV}$   
 $0 \leq L \leq 1 \rightarrow M0, E1$   
 mínimo = 1 por el espín del fotón

$\lambda(E1) = 1,0 \cdot 10^{14} A^{2/3} E_\gamma^3 = 1,625 \cdot 10^{16} \text{ s}^{-1} \rightarrow \tau = 6,15 \cdot 10^{-17} \text{ s}$

$\frac{3}{2}^- \rightarrow \frac{1}{2}^- \rightarrow \Delta P = + \Rightarrow$  par E, impar M  $\left. \begin{array}{l} \lambda(M2) = 5,6 \cdot 10^{13} E_\gamma^3 = 2,9 \cdot 10^{15} \text{ s}^{-1} \\ \tau = 3,6 \cdot 10^{-16} \text{ s} \end{array} \right\}$

$E_\gamma = 3,684 \text{ MeV}$   
 $1 \leq L \leq 2 \rightarrow M1, E2$   
 $\lambda(E2) = 7,3 \cdot 10^{17} A^{4/3} E_\gamma^5 = 6,25 \cdot 10^{11} \text{ s}^{-1}$   
 $\tau = 1,6 \cdot 10^{-12} \text{ s}$

$\frac{5+}{2} \rightarrow \frac{3-}{2}$   $\Delta p = - \Rightarrow$  impar  $E_1$ , par  $M$  }  $E_1, M_2, \dots$

$E_\gamma = 0,170 \text{ MeV}$   $1 \leq L \leq 4$

Domina  $\lambda(E_1) = 2,7 \cdot 10^{12} \text{ s}^{-1} \rightarrow \tau = 3,7 \cdot 10^{-13} \text{ s}$

$\frac{5+}{2} \rightarrow \frac{1-}{2}$   $\Delta p = - \Rightarrow$  impar  $E_1$ , par  $M$

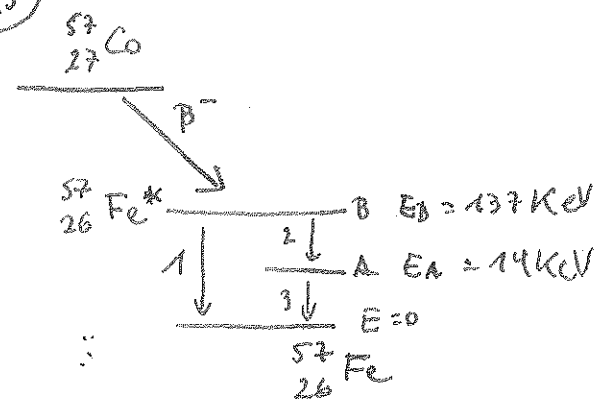
$E_\gamma = 3,854 \text{ MeV}$   $2 \leq L \leq 3 \rightarrow M_2, E_3$

$\lambda(M_2) = 3,5 \cdot 10^7 \text{ A}^{2/3} E_\gamma^5 = 1,65 \times 10^{11} \text{ s}^{-1} \rightarrow \tau = 6,1 \text{ ps}$

$\lambda(E_3) = 7,3 \cdot 10^6 \ll \lambda(M_2) \rightarrow$  domina  $M_2$

dos valores de  $\tau$  no coinciden con los tabulados pero el cociente (proporción relativa) sí es del mismo orden.

4.15



$B_K = 7,1 \text{ KeV}$   
 $B_L = 0,8 \text{ KeV}$

$E_\gamma = T_{e_i} + B_i$

energía  $e^-$   $\rightarrow$   $K_{\text{max}}$

$E_{\gamma 1} = 137 \text{ keV} = 136,5 \text{ KeV}$   
 $E_{\gamma 2} = 137 - 14 = 123 \text{ keV}$   
 $E_{\gamma 3} = 14 \text{ KeV} = 14,4 \text{ KeV}$

a)

Capa K:  $T_{eK} = E_\gamma - B_K$

$T_{eK1} = 129,4 \text{ KeV}$   
 $T_{eK2} = 115 \text{ KeV}$   
 $T_{eK3} = 7,3 \text{ KeV} //$

Capa L:

$T_{eL1} = 135,7 \text{ KeV}$   
 $T_{eL2} = 121,3 \text{ KeV}$   
 $T_{eL3} = 13,6 \text{ KeV} //$

b).  $\alpha_1 = 0,12$  ;  $\alpha_2 = 0,021$  ;  $\alpha_3 = 8,4$

$\frac{n_2}{n_2} = 0,85$  (electrones)

$\lambda_{\text{tot}} = \lambda_e + \lambda_{e^-} = \sum_i \lambda_{e_i} (1 + \frac{\lambda_{e_i}}{\lambda_{e^-}}) = \sum_i \lambda_{e_i} (1 + \alpha_i)$

$\alpha_i = \sum_k \alpha_i$  ;  $\alpha_i = \frac{N_{e_i}}{N_{e^-}} = \frac{\lambda_{e_i}}{\lambda_{e^-}}$

$\% = \frac{N_2}{N_{\text{tot}}} = \frac{N_{e2} + N_{\gamma 2}}{N_{e2} + N_{\gamma 2} + (N_{e1} + N_{\gamma 1})} = \frac{1}{1 + \frac{N_{e1} + N_{\gamma 1}}{N_{e2} + N_{\gamma 2}}} = \frac{1}{1 + \frac{N_{e1}}{N_{e2}} \left( \frac{1 + \frac{N_{\gamma 1}}{N_{e1}}}{1 + \frac{N_{\gamma 2}}{N_{e2}}} \right)}$

Todas, no sólo  $e^-$

$$= \frac{1}{1 + \frac{N_{e1}}{N_{e2}} \left( \frac{1 + 1/\alpha_1}{1 + 1/\alpha_2} \right)} = \frac{1}{1 + \frac{n_1}{n_2} \left( \frac{1 + 1/\alpha_{12}}{1 + 1/\alpha_{21}} \right)} = 0,86 = \frac{N_2}{N_{tot}}$$

↳ 86% Via 2-3 //

Via 1:

$$\% (1) = 1 - \% (2-3) = 14\% //$$

$$c) \frac{n_3}{n_2} = \frac{N_{e3}}{N_{e2}} = \frac{N_{e3}/N_{p3}}{N_{e2}/N_{p2}} = \frac{\alpha_3}{N_{e2}/N_{p2}}$$

Sabemos, por ser una cascada, que  $N_{e2} + N_{p2} = N_{e3} + N_{p3}$

$$\hookrightarrow N_{p3} = N_{e2} + N_{p2} - N_{e3}$$

$$\frac{n_3}{n_2} = \frac{\alpha_3}{N_{e2}} (N_{e2} + N_{p2} - N_{e3}) = \alpha_3 \left( 1 + \frac{N_{p2}}{N_{e2}} - \frac{N_{e3}}{N_{e2}} \right)$$

$$\frac{k_3}{k_2} = \alpha_3 \left( 1 + \alpha_2^{-1} - \frac{n_3}{n_2} \right) = \alpha_3 + \alpha_3 \alpha_2^{-1} - \alpha_3 \frac{n_3}{n_2}$$

$$\hookrightarrow \frac{n_3}{n_2} (1 + \alpha_3) = \alpha_3 (1 + \alpha_2^{-1}) \rightarrow \frac{n_3}{n_2} = \frac{\alpha_3 (1 + \alpha_2^{-1})}{(1 + \alpha_3)} = \frac{1 + 1/\alpha_2}{1 + 1/\alpha_3}$$

$$= 43/4 //$$

Más fácil:

$$N_{e2} + N_{p2} = N_{e3} + N_{p3} \rightarrow N_{e2} \left( 1 + \frac{N_{p2}}{N_{e2}} \right) = N_{e3} \left( 1 + \frac{N_{p3}}{N_{e3}} \right)$$

$$\hookrightarrow \frac{N_{e3}}{N_{e2}} = \frac{n_3}{n_2} = \frac{1 + 1/\alpha_2}{1 + 1/\alpha_3} //$$

$$d) T_{1/2A} = 2,1 \cdot 10^{-7} \text{ s} = \frac{\ln 2}{\lambda_{p3} + \lambda_{e3}} ; \lambda_{p3} + \lambda_{e3} = \lambda_A$$

$$T_{1/2A}(e^-) = \frac{\ln 2}{\lambda_{e3}} = \frac{\ln 2}{\lambda_A - \lambda_{p3}} = \frac{\ln 2}{\lambda_A \left( 1 - \frac{\lambda_{p3}}{\lambda_A} \right)} = \frac{T_{1/2A}}{1 - \frac{1}{1 + \frac{\lambda_{e3}}{\lambda_{p3}}}} = \frac{T_{1/2A}}{1 - \frac{1}{1 + \alpha_3}}$$

$$T_{1/2A}(p) = \frac{\ln 2}{\lambda_{p3}} = \frac{\ln 2}{\lambda_A - \lambda_{e3}} = \frac{\ln 2}{\lambda_A \left( 1 - \frac{\lambda_{e3}}{\lambda_A} \right)} = \frac{T_{1/2A}}{1 - \frac{1}{1 + \frac{1}{\alpha_3}}} = \frac{T_{1/2A}}{1 - \frac{\alpha_3}{\alpha_3 + 1}}$$

$$= \frac{T_{1/2A}}{\frac{\alpha_3 + 1 - \alpha_3}{\alpha_3 + 1}} = T_{1/2A} (\alpha_3 + 1) = 4,034 \mu\text{s} //$$

$$T_{1/2A}(e^+) = \frac{T_{1/2A}}{1 + \alpha_3 - 1} \cdot (1 + \alpha_3) = T_{1/2A} \frac{(1 + \alpha_3)}{\alpha_3} = T_{1/2A} \left( 1 + \frac{1}{\alpha_3} \right) = 0,123 \mu\text{s} //$$

4.16

Dabs (aire) ↔ 1R (rayos γ)

I = 32 eV

1R ⇒ Energía absorbida en aire = Energía depositada por e<sup>-</sup> × Exposición (e/cm<sup>2</sup>) × Volumen aire

= 32 eV × 2,08 · 10<sup>9</sup> ×  $\frac{M_{\text{aire}}}{\rho_{\text{aire}}}$

|e| = 4,8 · 10<sup>-10</sup> esu

1R =  $\frac{1}{4,8 \cdot 10^{-10} \text{ esu}} = 2,08 \cdot 10^9 \frac{|e|}{\text{cm}^2}$

Dosis =  $\frac{E_{\text{abs}}}{m_{\text{aire}}} = \frac{32 \text{ eV} \times 2,08 \times 10^9 \text{ cm}^{-2}}{1,2 \text{ mg/cm}^3} = \frac{32 \times 4,6 \times 10^{-2} \times 2,08 \cdot 10^9}{1,2 \times 10^{-3}}$

↳ 1 eV = 4,6 × 10<sup>-12</sup> erg

= 88,8 erg/g = 0,89 mrad = 8,9 μby //

1 rad = 100 erg/g  
100 rad = 1 Gy

4.17

m<sub>c</sub> = 18% m<sub>corpo</sub>

<sup>14</sup>C inestable → emisor β, Q<sub>β</sub> = 0,156 MeV, E<sub>β</sub> =  $\frac{1}{3}$  Q<sub>β</sub>

A<sub>sp</sub> natural = 15,3 min<sup>-1</sup> g<sup>-1</sup> (actividad específica) =  $\frac{A_{\text{cuat}}}{m_{\text{cuat}}}$

Dosis D =  $\frac{A_{\text{cuat}} \cdot E_{\beta}}{m_{\text{corpo}}} = \frac{A_{\text{cuat}}}{m_c / 18\%} \cdot \frac{Q_{\beta}}{3} = 18\% A_{\text{spCu}} \cdot \frac{Q_{\beta}}{3}$

= 12,1 μGy/año //

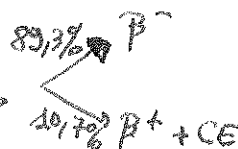
D<sub>eq</sub> = D<sub>abs</sub> × W<sub>R</sub> = D<sub>abs</sub>

↳ W<sub>R</sub> = 1 para β<sup>-</sup>

4.18

m<sub>K</sub> = 112% m<sub>corpo</sub>

N<sub>40K</sub> = 0,011% N<sub>K</sub>, T<sub>1/2</sub> = 1,3 × 10<sup>10</sup> años



Q<sub>β<sup>-</sup></sub> = 1,311 MeV

E<sub>β<sup>-</sup></sub> = Q<sub>β<sup>-</sup></sub> / 3 = 0,437 MeV

Q<sub>β<sup>+</sup></sub> = Q<sub>CE</sub> - 2m<sub>e</sub> = 0,483 MeV

E<sub>β<sup>+</sup></sub> + E<sub>γ</sub> =  $\frac{Q_{\beta^+}}{3} + 4,465 \text{ MeV} = 4,622 \text{ MeV}$

$$D_{abs} = \frac{E_{\beta} \cdot A_K^{40}}{m_{muepo}} = \frac{E_{\beta} \cdot \lambda_{iK}^{40} \cdot N^{40}_K}{m_K / 1,2\%}$$

$$N^{40}_K = 0,011\% \cdot N_K = 0,011\% \frac{m_K \cdot N_A}{p_K} ; p_K = 39,0983 \text{ g/mol}$$

$$D_{abs} = \frac{N_{40}}{m_K} 1,2\% E_{\beta} \lambda_{iK}^{40} = 0,011\% \cdot \frac{N_A}{p_K} \cdot 1,2\% \cdot E_{\beta} \lambda_{iK}^{40}$$

$$D_{abs p^-} = 0,011\% \frac{N_A}{p_K} \cdot 1,2\% E_{p^-} \cdot \lambda_{p^-}^{40} ; \lambda_{40}_K = \frac{\ln 2}{T_{1/2}}$$

$$D_{abs p^+} = \text{ " " } E_{p^+} \cdot 10,7\% \text{ " "}$$

$$D_{abs p^-} = 0,677 \text{ mBq/año } \left. \begin{array}{l} \\ \\ \end{array} \right\} D_{total} = 0,98 \text{ mBq/año}$$

$$D_{abs p^+} = 0,301 \text{ mBq/año}$$

$$D_{exp} = D_{tot} \rightarrow W_{p^+, \gamma} = 1$$

4.19

$$\frac{N^{12}_C}{N^{14}_C} \Big|_{atm} \sim 10^{-12}$$

$$A_{exp}(t) = 3 \text{ pCi/g} = A_{0,exp} e^{-t/\tau} ; \tau = \frac{1}{\lambda} = \frac{T_{1/2}}{\ln 2} ; T_{1/2} = 5730 \text{ años}$$

$$A_{0,exp} = \frac{\lambda_{14C} \cdot N_{14C}}{m_{Cuat}} = \frac{\lambda_{14C} \cdot N_{14C}}{p_{12C} \cdot N_{12C}} N_A \leftarrow m_{Cuat} = \frac{p_{Cuat} \cdot N_{Cuat}}{N_A}$$

$$= 6,1 \cdot 10^6 \frac{1}{\text{g} \cdot \text{año}} \sim \frac{p_{12C} \cdot N_{12C}}{N_A}$$

$$e^{-t/\tau} = \frac{A_{exp}(t)}{A_{0,exp}} = \frac{3 \cdot 10^{-12} \cdot 3,7 \cdot 10^{10} \text{ Bq/g}}{6,1 \cdot 10^6 \frac{1}{\text{g}} \cdot \frac{1}{365 \cdot 24 \cdot 3600 \text{ s}}}$$

$$= 0,575$$

$$-\ln(e^{-t/\tau}) = \frac{t}{\tau} = -\ln(0,575) \approx 0,55$$

$$\hookrightarrow t = 0,55 \tau = 0,55 \frac{T_{1/2}}{\ln 2} = 4575 \text{ años}$$

↳ Edad de la muestra

$$N^{12}_C \gg N^{14}_C$$

Expresión exacta:

$$m_{Cuat} = \frac{1}{N_A} (p_{12C} N_{12C} + p_{14C} \cdot N_{14C})$$

$$= \frac{p_{12C} N_{12C}}{N_A} \left( 1 + \frac{14}{12} \cdot \frac{N_{14C}}{N_{12C}} \right)$$

$$= \text{ " " } (1 + 10^{-12})$$



4.20

t = 5000 años

$$a) N_{det} = \int_t^{t+\Delta t} A(t') dt' = \int_t^{t+\Delta t} A_0 \cdot e^{-t'/\tau} \cdot dt' = \lambda N_0 (-) \left[ e^{-t'/\tau} \right]_t^{t+\Delta t}$$

$$= N_0 \left( e^{-t/\tau} - e^{-\frac{t+\Delta t}{\tau}} \right) = N_0 \cdot e^{-t/\tau} \left( 1 - e^{-\frac{\Delta t}{\tau}} \right)$$

$\approx 1 - \frac{\Delta t}{\tau}$

$$e^{-t/\tau} = \frac{N_{det}}{N_0 (1 - e^{-\Delta t/\tau})}$$

$$N_0 = N_{14C}(t=0) = \frac{N_A \cdot m_{14C}}{p_{14C}}$$

$$N_0 = N_{14C}(0) = 10^{-12} \cdot N_{12C}(0) = 10^{-12} \frac{N_A m_{12C}}{p_{12C}}$$

↳ m<sub>12C</sub> ≈ muestra ≈ ct

$$e^{-t/\tau} = \frac{N_{det} p_{12C}}{10^{-12} N_A m_{12C}} \cdot \frac{1}{1 - e^{-\Delta t/\tau}}$$

$$t = -\tau \ln \left( \frac{N_{det} p_{12C}}{10^{-12} N_A m_{12C}} \cdot \frac{1}{1 - e^{-\Delta t/\tau}} \right)$$

Poisson  $\delta(N_{det}) = \sqrt{N_{det}}$

$$\delta(t) = 50 \text{ años} = \frac{\tau \dots \delta(N_{det})}{\dots N_{det}} \approx \frac{\tau}{\sqrt{N_{det}}} \rightarrow N_{det} = \frac{\tau^2}{\delta(t)^2}$$

$$e^{-t/\tau} = \frac{\tau^2 / \delta(t)^2 \cdot p_{12C}}{10^{-12} N_A m_{12C}} \cdot \frac{1}{1 - e^{-\Delta t/\tau}}$$

$$\text{↳ } m_{12C} = m = \frac{\tau^2}{\delta(t)^2} \cdot \frac{12 \text{ g/mol}}{10^{-12} N_A} e^{t/\tau} \frac{1}{1 - e^{-\Delta t/\tau}} \approx 72 \text{ g}$$

$$b) \left. \begin{aligned} N_{12C}(t) \approx ct = N_{12C}(0) \\ N_{14C}(t) = N_{14C}(0) \cdot e^{-t/\tau} \end{aligned} \right\} \frac{N_{14C}(t)}{N_{12C}(t)} = \frac{N_{14C}(0) \cdot e^{-t/\tau}}{N_{12C}(0)} = 10^{-12} \cdot e^{-t/\tau}$$

$$\text{↳ } t = \tau \ln \left( \frac{10^{-12} N_{12C}}{N_{14C}} \right)$$

$$\delta(t) = \tau \left( \left( \frac{1}{\sqrt{N_{14C}}} \right)^2 + \left( \frac{1}{\sqrt{N_{12C}}} \right)^2 \right)^{0,5} \approx \frac{\tau}{\sqrt{N_{14C}}} \rightarrow N_{14C}(t) = \frac{\tau^2}{\delta(t)^2}$$

$$\text{↳ } \frac{\tau^2}{\delta(t)^2} = 10^{-12} \frac{N_A \cdot m}{12} \cdot e^{-t/\tau} \rightarrow m = \frac{\tau^2}{\delta(t)^2} \cdot \frac{12 \text{ g/mol}}{N_A \cdot 10^{-12}} e^{t/\tau} = 0,997 \cdot 10^{-6} \text{ g}$$

↳ Mucha menos muestra que en a).

4.21

1 cm<sup>3</sup>

<sup>24</sup>Na → T<sub>1/2</sub> = 15h

A<sub>0</sub> = 2000 Bq/cm<sup>3</sup>

A'(t = 5h) =  $\frac{16}{60}$  Bq/cm<sup>3</sup> → sangre

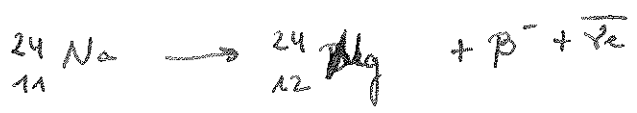
A' = A<sub>0</sub> · e<sup>-t/τ</sup> → A<sub>0</sub> = A' ·  $\frac{1 \text{ cm}^3}{1 \text{ cm}^3 + V_{\text{sangre}}}$

a) Se disuelve 1 cm<sup>3</sup> en V<sub>sangre</sub>, la actividad por unidad de volumen disminuye por el factor de dilución  $\frac{1 \text{ cm}^3}{1 \text{ cm}^3 + V_{\text{sangre}}}$ . Además la muestra se va desintegrando (5 horas)

b) A' = A<sub>0</sub>  $\frac{1}{1 + \frac{V_{\text{sangre}}}{1 \text{ cm}^3}}$  · e<sup>-5h ·  $\frac{\ln 2}{T_{1/2}}$</sup>

Lo despejo V:

1 +  $\frac{V_{\text{sangre}}}{1 \text{ cm}^3}$  =  $\frac{A_0}{A'}$  · e<sup>-5h ·  $\frac{\ln 2}{T_{1/2}}$</sup>  → V<sub>sangre</sub> = 5952,7 cm<sup>3</sup> ≈ 6 litros



4.22

A<sub>0</sub> = 1000 Bq

coef. absorción lineal

a) A(t = t<sub>1/2</sub>) = 500 Bq = A<sub>0</sub> · e<sup>- $\frac{\ln 2}{T_{1/2}}$  · t<sub>1/2}</sub></sup>

Lo ln ( $\frac{1}{2}$ ) = -λ · t<sub>1/2</sub> → λ =  $\frac{\ln 2}{t_{1/2}}$

b) A( $\frac{t}{t} = 1,05 \cdot t_{1/2}$ ) = 1000 Bq · e<sup>- $\frac{\ln 2}{t_{1/2}}$  · 1,05 t<sub>1/2}</sub></sup> = 1000 · e<sup>-ln(2) · 1,05</sup> = 483 Bq < 500 Bq

Proceso estadístico, desviación estándar: √500 = 22,36

ΔI = 500 - 483 = 17 Bq

$\frac{22,36}{17 \text{ Bq}} = 1,31$

(4.23)

 $^{241}\text{Am}$ 

$$Q_\alpha = 5,638 \text{ MeV}$$

$$T_{1/2} = 432,2 \text{ años}$$

LOW

$$\epsilon = 15\%$$

$$P = 10^7/s = \epsilon \cdot Q_\alpha \cdot A_{\text{Am}}(0) = \epsilon Q_\alpha \lambda_{\text{Am}} \cdot N_{\text{Am}}(0)$$

$$\hookrightarrow N_{\text{Am}}(0) = \frac{P T_{1/2}}{\epsilon Q_\alpha \ln 2} = \frac{m \cdot N_A}{P_{\text{Am}}} \Rightarrow m = \frac{P T_{1/2} \cdot P_{\text{Am}}^{\text{241}}}{\epsilon N_A Q_\alpha \ln 2}$$

$$m_{\text{Am}} = \underline{\underline{581 \text{ g}}} \quad \leadsto \quad m \text{ es este porque tarda satelite} \ll T_{1/2}$$

4.19

$$T_{1/2} = 5730 \text{ años.}$$

$$\lambda = \frac{\ln 2}{5730 \text{ años}} \cdot \frac{1}{365 \cdot 24 \cdot 60 \cdot 60 \frac{\text{s}}{\text{año}}} = 3'836 \cdot 10^{-12} \text{ s}^{-1}$$

Actividad actual:  $\frac{A_a}{m} = 3 \frac{\text{pCi}}{\text{g}}$

Actividad mientras la madera estaba viva:

$$A_i = N_i \cdot \lambda$$

$$A_i = \frac{1}{10^{12}} \cdot \frac{N_{Av}}{M} \cdot m \cdot \lambda$$

↓                      ↓                      ↓  
cantidad            masa            masa  
de <sup>12</sup>C por       total       de la  
a <sup>12</sup>C            el C            muestra

$$\frac{A_i}{m} = \frac{1}{10^{12}} \cdot \frac{6'022 \cdot 10^{23} \text{ mol}^{-1}}{12 \text{ g} \cdot \text{mol}^{-1}} \cdot 3'836 \cdot 10^{-12} \text{ s}^{-1} = 0'1925 \frac{\text{Bq}}{\text{g}}$$

$$\frac{A_i}{m} = 0'1925 \frac{\text{Bq}}{\text{g}} = 5'203 \frac{\text{pCi}}{\text{g}}$$

$$\frac{A_a}{A_i} = \frac{3}{5'203} = 0'5766 = e^{-\frac{\ln 2}{5730 \text{ años}} \cdot t} \rightarrow \boxed{t = 4550 \text{ años}}$$

Fernando Illescas González  
Erica Alcusa Sáez

4.6

Bombardado 500g NaF  $\rightarrow$  masa molar  $M_{NaF} = (23 + 19) \text{ g/mol}$

$$\tilde{\nu}_n = 50 \text{ Ci/g} ; 1 \text{ Ci} = 3,7 \cdot 10^{10} \text{ Bq}$$

$\hookrightarrow$  suponemos isotópicamente puro

$$\Rightarrow = 50 \cdot 3,7 \cdot 10^{10} \frac{\text{Bq}}{\text{g}} \cdot 500 \text{ g} = 9,25 \cdot 10^{14} \text{ s}^{-1} \quad (\text{se generan } \sim 10^{15} \text{ partículas de } ^{24}\text{Na por segundo})$$

$$N_1 = N(\text{NaF}) = \frac{500 \text{ g} \cdot 6,023 \cdot 10^{23} \text{ mol}^{-1}}{(23 + 19) \text{ g/mol}} = \nu t$$

$$= 5,792 \cdot 10^{24} - 9,25 \cdot 10^{14} \text{ s}^{-1} t \approx N_{20} \rightarrow \text{suponemos constante, } \approx 5,8 \cdot 10^{24}$$

pues  $\nu \gg T_{1/2} (^{24}\text{Na}) = 15 \text{ h} \quad \Delta_1 = \nu = \lambda_1 \cdot N_1 \rightarrow \lambda_1 \approx \frac{\nu}{N_{10}} = 1,597 \cdot 10^{-10} \text{ s}^{-1}$

$$\frac{dN_2}{dt} = + \nu - \lambda_2 N_2, \quad \text{con } \lambda_2 = \frac{\ln 2}{T_{1/2}} = 1,284 \cdot 10^{-5} \text{ s}^{-1}$$

$\hookrightarrow \lambda_1 \ll \lambda_2 \rightarrow$  equilibrio secular,  $N_2 \approx \text{cte}$

Solución Ecu. dif: ensayamos  $N_2 = K + \Delta \cdot e^{-\alpha t}$

$$-\alpha \Delta e^{-\alpha t} = \nu - \lambda_2 K - \lambda_2 \Delta e^{-\alpha t}$$

$$\left. \begin{array}{l} \forall t \\ \alpha \Delta = \lambda_2 \Delta \rightarrow \alpha = \lambda_2 \end{array} \right\} N_2 = \frac{\nu}{\lambda_2} + A \cdot e^{-\lambda_2 t}$$

$\hookrightarrow$  C. continuo  $\rightarrow N_2(0) = 0 = \frac{\nu}{\lambda_2} + A \rightarrow A = -\frac{\nu}{\lambda_2}$

$$N_2 \approx \frac{\nu}{\lambda_2} (1 - e^{-\lambda_2 t}) \rightarrow \lambda_2 N_2 = A_2(t) \approx \nu (1 - e^{-\lambda_2 t}) = \Delta_2 (1 - e^{-\lambda_2 t})$$

$\rightarrow$  la actividad máxima alcanzable se da cuando:

$\lambda_2 t \gg 1 \rightarrow t \gg \frac{1}{\lambda_2}$ , pero acercándose a infinito ( $t \ll \frac{1}{\lambda_1}$ ) para que no se consuma el NaF. Esto es posible pues  $\frac{1}{\lambda_2} \ll t \ll \frac{1}{\lambda_1}$  y  $\lambda_2 \gg \lambda_1$ .

Por tanto  $A_{2 \text{ max}}$  se da cuando cese el bombardeo, a  $t \gg \frac{1}{\lambda_2}$  y

$$\text{vale } \Delta_{2 \text{ max}} = \lim_{\lambda_2 t \rightarrow \infty} \Delta_2 (1 - e^{-\lambda_2 t}) = \Delta_2$$

Fración de átomos  $\rightarrow \frac{N_2}{N_1} \approx \frac{N_2}{N_{20}} = \frac{A_2 / \lambda_2}{A_1 / \lambda_1} = \frac{\lambda_1}{\lambda_2} = \frac{T_{1/2}}{t_{1/2}} \cdot \frac{\nu}{N_{20}} = 1,244 \cdot 10^{-5}$

b)

$$A_1(t) = v$$

$$A_2(t) = v(1 - e^{-\lambda_2 t})$$

$$A_1(t_{1/2}) = v$$

$$A_2(t_{1/2}) = v(1 - e^{-\frac{\ln 2}{T_{1/2}} \cdot t_{1/2}}) = v(1 - (e^{\ln 2})^{-1})$$

$$= v(1 - 2^{-1}) \quad n=30$$

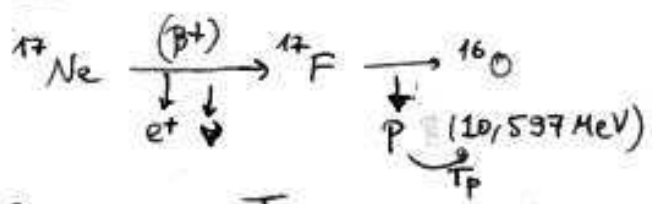
Si cesa el bombardeo en  $t = t_0$   
 $N_2$  seguirá la ecuación:

$$N_2 = \frac{v}{\lambda_2} (1 - e^{-\lambda_2 t_0}) e^{-\lambda(t-t_0)}$$

$$A_2(t) = v(1 - e^{-\lambda_2 t_0}) \cdot e^{-\lambda(t-t_0)}$$

$^{197}_{79}\text{Au} \rightarrow ^{197}_{78}\text{Pt} + \gamma_{\text{He}_2}$   
 $M(^{197}_{79}\text{Au}) = M(^{197}_{78}\text{Pt}) + M(\gamma_{\text{He}_2}) + T_{\alpha} + T_0$   
 $Q_{\alpha} = M(^{197}_{79}\text{Au}) - M(^{197}_{78}\text{Pt}) - M(^4_2\text{He})$   
 $= M(^{197}_{79}\text{Au}) - M(^{197}_{78}\text{Pt}) - M(^4_2\text{He})$   
 $= 196.966843 - 192.962974 + 4.002603 \text{ MeV}$   
 $\approx 1.23236659 \text{ MeV}$   
 $\lambda = \frac{\ln 2}{T_{1/2}} = \frac{0.693}{4328 \text{ a}} = 1.6 \times 10^{-5} \text{ a}^{-1}$

4.20



- Suponemos  $T_{\text{Ne}} = 0$  (núcleo padre en reposo)
- $T_{\text{F}} = 0$  (retroceso núcleo hijo despreciable)
- $T_{\nu} = 0$  (condición de energía máxima del positrón)  
 lo neutrino en reposo

Balace de energías:

$$M_{\text{Ne}}^{17} = M_{\text{O}}^{16} + E_{e^+} + m_{e^+} + \underbrace{m_{\nu}}_{\text{despreciable}} + m_p + T_p + T_0$$

$m_{\nu} = m(\bar{\nu}_p)$

$$M(^{17}_{10}\text{Ne}) + 10m_e = M(^{16}_8\text{O}) + 8m_e + 2m_{e^+} + m_{e^+} + E_{e^+} + m_p + T_p + T_0$$

lo desprecias energías de ligadura  
 para átomo

$$M(^{17}_{10}\text{Ne}) - M(^{16}_8\text{O}) = 2m_{e^+} + E_{e^+} + \underbrace{(m_p + T_p)}_{\text{despreciable}} + T_0$$

lo valores del Krane

$$E_{e^+}^{\text{max}} = (17,017690 - 15,994915 - 1,007825) \times 931,494 \text{ MeV}$$

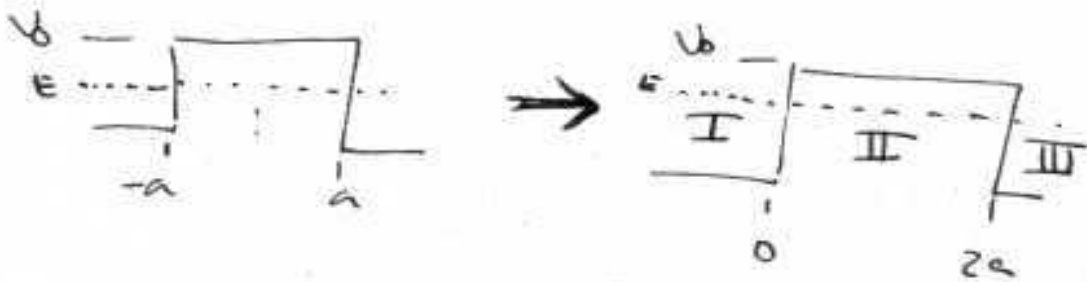
$$- 2 \cdot 0,511 \text{ MeV} - 10,597 \text{ MeV} - T_0$$

$$= 2,306835719 - 10,597 - \frac{1}{16} \dots$$

$P_F = P_0 + P_p$   
 $P_0 = -P_p$   
 $P_0^2 = P_p^2$   
 $\frac{1}{2} m_p 2T_p = m_p T_p$

4.7

a) Para simplificar los cálculos, en lugar de poner el origen en el centro de la barrera lo pongo en un extremo:



función de onda en las zonas **I, II y III**:

$$\psi_1 = A_1 e^{ik_1 x} + A_1' e^{-ik_1 x}$$

$$\psi_2 = A_2 e^{k_2 x} + A_2' e^{-k_2 x}$$

$$\psi_3 = A_3 e^{ik_1 x}$$

$$/ k_1 = \frac{\sqrt{2mE}}{\hbar}$$

$$/ k_2 = \frac{\sqrt{2m(V_0 - E)}}{\hbar}$$

Continuidad de la función de onda en 0 y en 2a:

$$A_1 + A_1' = A_2 + A_2'$$

$$A_2 e^{k_2 a} + A_2' e^{-k_2 a} = A_3 e^{ik_1 a}$$

Continuidad de la derivada:

$$ik_1(A_1 - A_1') = k_2(A_2 - A_2')$$

$$k_2(A_2 e^{2k_2 a} - A_2' e^{-2k_2 a}) = ik_1 A_3 e^{ik_1 2a}$$

→

$$\frac{A_3}{A_1} = \frac{1}{4} \left\{ \left(1 + i \frac{k_2}{k_1}\right) \left(1 - i \frac{k_2}{k_2}\right) e^{2a(i k_1 - k_2)} + \left(1 - i \frac{k_2}{k_1}\right) \left(1 + i \frac{k_2}{k_2}\right) e^{2a(i k_1 - k_2)} \right\}$$

$$\rightarrow T = \frac{\frac{k_2}{2} |A_3|^2}{\frac{k_1}{2} |A_1|^2} = \frac{|A_3|^2}{|A_1|^2} = \left[ 1 + \frac{V_0^2}{4E(V_0 - E)} \sinh^2(2 k_2 a) \right]^{-1}$$

$$\rightarrow P = \frac{1}{1 + \frac{V_0^2}{4E(V_0 - E)} \sinh^2(k_2 2a)}$$

b)  $V = \frac{ze^{\alpha} r}{r}$

Tenemos que  $P = e^{-2a}$   $\rightarrow$  Factor de Gamow:

$$G = \frac{\sqrt{2m}}{\hbar} \int_a^b dr \sqrt{V - E}$$

Por lo que  $dP = \exp\left\{-2dr \sqrt{\frac{2m}{\hbar^2} (V - E)}\right\}$

Si  $B$  es el máximo de la barrera:

$$V(a) = B \rightarrow a = \frac{ze^{\alpha} a b c}{B}$$

$$V(b) = E \rightarrow b = \frac{ze^{\alpha} a b c}{E}$$

Si hacemos el cambio de variable  $x = \frac{E}{ze^{\alpha} a b c} r = \frac{r}{b}$

tenemos que  $G = \sqrt{\frac{2mE}{\hbar^2}} \frac{ze^{\alpha} a b c}{E} \int_{a/b}^1 \sqrt{x-1} dx =$



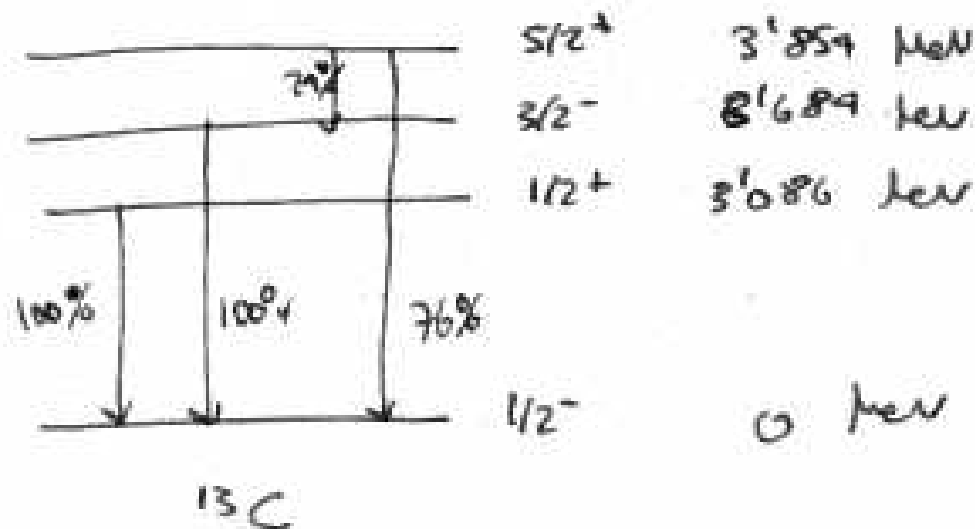
$$= z z' \alpha \sqrt{\frac{z \mu c^2}{T_a}} \left[ \sqrt{x(1-x)} - \arccos \sqrt{x} \right]_{a/b}^1$$

$$G = z z' \alpha \sqrt{\frac{z \mu c^2}{E}} \left[ \arccos \sqrt{y} - \sqrt{y(1-y)} \right] \quad / y = \frac{E}{B}$$

si  $y \ll 1$ ,  $G \approx z z' \alpha \sqrt{\frac{z \mu c^2}{E}} \left[ \frac{\pi}{2} - 2 \sqrt{\frac{E}{B}} \right]$

$$\Rightarrow \boxed{p = e}$$

4.14



2) Transición de  $3'086$  MeV.

$$J_i = \frac{1}{2}$$

$$J_f = \frac{1}{2}$$

$$\Delta P = -$$

→ Imposible eléctrica,  
por magnética.

$$\hookrightarrow |J_i - J_f| \leq L \leq J_i + J_f$$

$$\Rightarrow L = 1$$

Es una transición hiper electrónica, por magnética con  $L=2$ . Es decir, sólo tendremos el término  $E_2$ .

$$\frac{\lambda(E_2)}{s^{-1}} = 1.0 \cdot 10^{19} \cdot A^{3/2} \left( \frac{E_2}{MeV} \right)^3$$

$$\rightarrow \lambda = \lambda(E_2) = 1.0 \cdot 10^{19} \cdot 13^{3/2} \cdot (3.086)^3 s^{-1} =$$

$$\underline{\underline{1.62 \cdot 10^{16} s^{-1}}}$$

2) Transición de 3684 MeV.

$$J_i = \frac{3}{2} \quad J_f = \frac{1}{2} \quad \Delta P = + \rightarrow \begin{array}{l} \text{Por electrónica} \\ \text{hiper magnética} \end{array}$$

$$|J_i - J_f| \leq L \leq J_i + J_f \rightarrow 1 \leq L \leq 2$$

$$L = 1, 2.$$

Es una transición por electrónica e hiper magnética con  $L$  posibles 1 y 2, así que contribuirán los términos  $E_2$  y  $M_2$ .

$$\lambda(E_2) = 1.0 \cdot 10^{19} \cdot 13^{3/2} \cdot 3684^3 s^{-1} = 1.51 \cdot 10^{12} s^{-1}$$

$$\lambda(M_2) = 5.6 \cdot 10^{13} \cdot 3684^3 s^{-1} = 2.80 s^{-1}$$

$$\lambda \approx 2.80 s^{-1}$$

3) Transición de  $3'854 - 3'689 = 0'170$  Mev

$$J_i = \frac{5}{2} \quad J_f = \frac{3}{2} \quad \Delta P = -$$

$$2 \leq L \leq 3 \quad , \quad L = 2, 2, 3.$$

Es una transición impar eléctrica - par magnética con  $L$  posibles 2, 2 y 3.

Contribuirán los términos  $E_2$ ,  $M_2$  y  $E_3$ .

Como el término de orden más bajo es  $E_2$ ,

$$\lambda \approx \lambda(E_2) = 1'62 \cdot 10^{16} \text{ s}^{-1}$$

4) Transición de  $3'854$  Mev.

$$J_i = \frac{5}{2} \quad J_f = \frac{1}{2} \quad \Delta P = -$$

$$2 \leq L \leq 3 \quad , \quad L = 2, 3.$$

Transición impar eléctrica - par magnética con  $L$  posibles 2 y 3. Contribuirán  $M_2$  y  $E_3$ .

$$\lambda(M_2) = 3'5 \cdot 10^7 \cdot 13^{\frac{2}{3}} \cdot 3'854^5 \text{ s}^{-1} = 1'6 \cdot 10^{11} \text{ s}^{-1}$$

$$\lambda(E_3) = 3'4 \cdot 13^2 \cdot 3'854^2 \text{ s}^{-1} = 7'23 \cdot 10^6 \text{ s}^{-1}$$

$$\lambda \approx 1'6 \cdot 10^{11} \text{ s}^{-1}$$

4.18

F H G

E A S

$$D_{abs} = \sum \frac{A_i E_i}{M}$$

$$T_{1/2} = 1,3 \cdot 10^9 \text{ años}$$

$$N_{40K} = \frac{1,2\% M \cdot N_A}{P_{K_{natural}}} \cdot 1,19 \times 10^{-4}$$

$$M = M_{cuerpo}$$

$$A_1 = \frac{\ln 2}{T_{1/2}} \cdot 89,3\% N_{40K} ; A_{sm} = \frac{\Delta_1}{M}$$

$$A_2 = \frac{\ln 2}{T_{1/2}} \cdot 10,7\% N_{40K} ; A_{2sm} = \frac{\Delta_2}{M}$$

$$D_{abs} = \frac{1}{M} \cdot \frac{\ln 2}{T_{1/2}} \cdot \frac{1,2\% \cdot M \cdot N_A}{P_{K_{natural}}} (89,3\% \cdot Q_{\alpha 1}^{E_1} + 10,7\% E_2)$$

$$Q_1 = 1,311 \text{ MeV} = Q_{\beta^-} \rightarrow E_1 = Q_1/3$$

$$Q_2 = Q_{CE} = 1,505 \text{ MeV} \rightarrow E_2 = Q_2/3$$

$$P_{K_{natural}} = 39 \times 93,3\% + 40 \times 0,0119\% + 41 \times 6,7\% = 39,13876 \text{ g/mol}$$

$$D_{abs} = \frac{\ln 2}{T_{1/2}} \cdot \frac{1,2\% N_A}{P_{K_{natural}}} \cdot \frac{1}{3} (89,3\% \cdot 1,311 \text{ MeV} + 1,505 \text{ MeV} \cdot 10,7\%) \cdot 1,19 \times 10^{-4}$$

$$= \frac{\ln 2 \cdot 1,2\% \cdot 6,023 \cdot 10^{23} \cdot 1,19 \times 10^{-4}}{1,3 \cdot 10^9 \text{ años} \cdot 3 \cdot 39,13876 \text{ g/mol}} \cdot (89,3\% \cdot 1,311 + 10,7\% \cdot 1,505) \cdot 10^6 \cdot \frac{1}{3} \cdot 1,19 \times 10^{-4}$$

$$= 0,83362543 \text{ mBy/año}$$

↓  
 $D_{abs}^{14C} = 12 \text{ mBy/año} \rightarrow$  lógico al haber mayor porcentaje de  $^{40K}_{K_{natural}}$  que de  $^{14C}_{C_{natural}}$  aunque haya mayor % de  $C_{natural}$  que de  $K$  y tenga  $C$  menor vida media

5.2	$^{235}\text{U}$	$^{238}\text{U}$	$^{239}\text{Pu}$	$^{240}\text{Pu}$
$E_{act}$ MeV	6,2	6,6	6,0	6,3

Si  $E_{exc} > E_{act} \rightarrow$  fisionable  
 Si  $E_{exc} < E_{act} \rightarrow$  no "

a)  $E_{exc} = m(^{236}\text{U}^*) - m(^{236}\text{U}) = m(^{235}\text{U}_{92}^{143}) - m(^{236}\text{U}_{92}^{144}) + m_n$   
 $= \Delta^{235}\text{U} + \Delta(n) - \Delta^{236}\text{U} = 8,071\text{MeV} - 7,526\text{MeV} = 0,545\text{MeV} > E_{act} \rightarrow$  fisionable //

b)  $E_{exc} = \Delta^{238}\text{U} + \Delta(n) - \Delta^{239}\text{U} = 4,806\text{MeV} < E_{act} \rightarrow$  NO "

c)  $E_{exc} = \Delta^{239}\text{Pu} + \Delta(n) - \Delta^{240}\text{Pu} = 6,533\text{MeV} > E_{act} \rightarrow$  fisionable //

d)  $E_{exc} = \Delta^{240}\text{Pu} + \Delta(n) - \Delta^{241}\text{Pu} = 5,242\text{MeV} < E_{act} \rightarrow$  NO "

Otra manera de hacerlo es con la fórmula semiempírica:

$$m\left(\begin{smallmatrix} A \\ Z \end{smallmatrix} X_N\right) = Z m(^1\text{H}) + N m_n - B\left(\begin{smallmatrix} A \\ Z \end{smallmatrix} X_N\right)$$

$$E_{exc} = Z m(^1\text{H}) + N m_n - B\left(\begin{smallmatrix} A \\ Z \end{smallmatrix} X_N\right) + m_n - m\left(\begin{smallmatrix} A+1 \\ Z \end{smallmatrix} X_{N+1}\right)$$

$$= B\left(\begin{smallmatrix} A+1 \\ Z \end{smallmatrix} X_{N+1}\right) - B\left(\begin{smallmatrix} A \\ Z \end{smallmatrix} X_N\right)$$

$$= \alpha_V (A+1 - A) - \alpha_S (A+1)^{2/3} - A^{2/3} - \alpha_C Z(Z-1)\left((A+1)^{-1/3} - A^{-1/3}\right)$$

$$- \alpha_A (1-2Z)^2 \left((A+1)^{-1} - A^{-1}\right) - \delta(A+1) + \delta(A)$$

Como  $A \gg 4$ ,  $A+1 \sim A \rightarrow$  Nos interesa comparar  $^{235}\text{U}$  con  $^{238}\text{U} \rightarrow$  sólo se diferencian en las deltas.  
 $\delta: \begin{cases} +\delta & \text{par-par} \\ +\delta & \text{impar-impar} \\ 0 & \text{par-impar} \end{cases} \rightarrow \delta = \alpha_p A^{-1/2}$  etc

$\hookrightarrow E_{exc} \sim \delta(A) - \delta(A+1) + \text{ctes}$

	$^{235}\text{U}_{92}^{143}$	$^{238}\text{U}_{92}^{146}$	$^{239}\text{Pu}_{94}^{145}$	$^{240}\text{Pu}_{94}^{146}$
$E_{exc}$	$+\delta$	$-\delta$	$+\delta$	$+\delta$

$\left. \begin{array}{l} \text{ctes} + \delta \rightarrow E_{exc} > E_{act} \rightarrow \text{fisionable} \\ \text{ctes} - \delta \rightarrow E_{exc} < E_{act} \rightarrow \text{NO} \end{array} \right\}$

Coincide con el procedimiento anterior.

5.2

$I_0 = 10^5 \text{ s}^{-1} = 10^5 \text{ Bq}$ ,  $E = 0,29 \text{ eV}$

$^{235}\text{U} \rightarrow 10^{-1} \text{ kg/m}^2 = t = dm/ds \rightarrow$  densidad superficial

$I = I_0 \cdot e^{-\frac{\mu}{\rho} \cdot t}$

a)  $\sigma_{tot} = \sigma_{el} + \sigma_{capt} + \sigma_{fis} = 270,02 \text{ b} = 270,02 \times 10^{-28} \text{ m}^2$

$E_{tot} = \sigma_{tot} \times \frac{dN}{dV}$

$\frac{dN}{ds} = \frac{N_{AV} \cdot dm/ds}{235 \text{ g/mol}} = \frac{N_{AV}}{235 \text{ g/mol}} \cdot 10^{-1} \text{ kg/m}^2 = 2,56 \cdot 10^{23} \text{ m}^{-2}$  : densidad de centros de fusión

$$I_n = I_0 \cdot \sigma_{total} \cdot \frac{dN}{ds} = 692,06 \text{ s}^{-1}$$

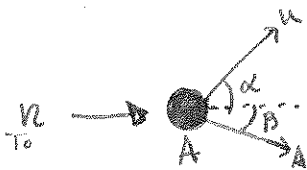
$$\hookrightarrow \frac{I_n}{I_0} = 0,69\% = e^{-\mu x} = e^{-\sigma \cdot N \cdot x}$$

$$b) I_n^{fisión} = I_n^{total} \cdot \frac{\sigma_{fis}}{\sigma_{tot}} = 513 \text{ s}^{-1} ; \frac{\sigma_{fis}}{\sigma_{tot}} = 0,74$$

$$c) I_n^{elast} = I_n^{tot} \frac{\sigma_{elas}}{\sigma_{tot}} = 0,054 \text{ s}^{-1} ; \frac{\sigma_{el}}{\sigma_{tot}} = 7,9 \cdot 10^{-6}$$

5.3

a)



$$\left. \begin{aligned} E_{in} &= T_0 \\ E_{fin} &= T_u + T_A \end{aligned} \right\} T_0 = T_u + T_A$$

Conservación de p:  $(m_1 v_0, 0) = (m_1 v_u \cos \alpha, m_1 v_u \sin \alpha) + (m_2 v_a \cos \beta, -m_2 v_a \sin \beta)$

$$\left( \frac{T_u}{T_0} = 1 - \frac{T_A}{T_0} \right) \quad \hookrightarrow \quad m_1 v_0 = m_1 v_u \cos \alpha + m_2 v_a \cos \beta$$

$$0 = m_1 v_u \sin \alpha - m_2 v_a \sin \beta$$

$$\hookrightarrow \sin \beta \cdot m_2 v_a = \sin \alpha \cdot m_1 v_u \quad \downarrow \quad (*)^2 \oplus$$

$$\cos \beta \cdot m_2 v_a = m_1 v_0 - \cos \alpha \cdot m_1 v_u$$

$$m_2^2 v_a^2 (\sin^2 \beta + \cos^2 \beta) = m_1^2 v_u^2 \sin^2 \alpha - 2 m_1^2 v_0 v_u \cos \alpha + m_1^2 v_0^2 \cos^2 \alpha$$

$$\hookrightarrow \frac{m_2^2 v_a^2}{m_1^2} = v_u^2 - 2 v_0 v_u \cos \alpha$$

$$\frac{T_A}{T_0} = \frac{m_2 v_a^2}{m_1 v_0^2} = \frac{m_1 v_u^2}{m_2 v_0^2} - 2 \frac{m_1 v_u v_0 \cos \alpha}{m_2 v_0^2}$$

$$\hookrightarrow \frac{T_u}{T_0} = 1 - \frac{T_A}{T_0} = 1 - \frac{T_u}{T_0} \cdot \frac{m_0}{m_a} - 2$$

?  
Ver koja aparte

5.4

- $T_i = 2 \text{ MeV}$
- $T_f = 0,025 \text{ eV}$  (térmico)
- $\rho = 1,8 \text{ g/cm}^3 \rightarrow$  moderador de carbono,  $A = 12$

$\xi = 1 + \frac{(A-1)^2}{2A} \log \frac{A-1}{A+1} = 0,158$

$N_{col} = \frac{1}{\xi} \ln \frac{T_i}{T_f} \approx 115 \text{ colisiones}$

b)  $\sigma_a = 0,00328$   
 $\sigma_s = 4,8 \text{ b}$

$L_{def} ? \rightarrow L = \sqrt{\frac{D}{E_s}} \left\{ \begin{array}{l} E_a = \sigma_a N_a ; N_a = N_s = N \\ D^{-1} = 3 E_s (1 - \frac{2}{3A}) ; E_s = \sigma_s N_s \end{array} \right.$

Densid de núcleos de C:  $N = \frac{\rho \cdot N_A}{P_{at}} = 9,3 \cdot 10^{22} \text{ cm}^{-3}$

$L^2 = \frac{D}{E_s} = \frac{1}{3 \sigma_s N_s \sigma_a N_a (1 - \frac{2}{3A})} = 0,267 \text{ m}^2 = 2665 \text{ cm}^2$

$L = 51,6 \text{ cm}$

c) Edad de Fermi  $\propto$  longitud moderación

$L_m = \sqrt{z} ; z = \frac{D}{\xi E_s} \rightarrow L_m^2 = z = \frac{1}{3 E_s (1 - \frac{2}{3A}) \xi E_s}$

$= \frac{1}{3 E_s^2 \xi (1 - \frac{2}{3A})} \rightarrow L_m \approx 40 \text{ cm}$

5.5

2% B  $\rightarrow z = 150 \text{ mm} ; \sigma(\text{Fe}) = 2,5 \text{ b} ; \sigma(\text{B}) = 755 \text{ b} ; \rho(\text{B}) = 2,5 \text{ g/cm}^3 ; \rho(\text{Fe}) = 7,8 \text{ g/cm}^3$

$\Sigma$  (secc. eficaz macroscópica)  $= \sigma \cdot \frac{dN}{dV} = \sigma \cdot \frac{\rho \cdot N_A}{P_A}$

$\Sigma_{\text{Fe}} = \sigma_{\text{Fe}} \cdot 0,98 \cdot \frac{\rho_{\text{Fe}} \cdot N_A}{56} = 210,82 \text{ m}^{-1}$

$\Sigma_{\text{B}} = \sigma_{\text{B}} \cdot 0,02 \cdot \frac{\rho_{\text{B}} \cdot N_A}{11} = 2061,7 \text{ m}^{-1}$

a)  $I = I_0 \cdot e^{-\Sigma x} \rightarrow \frac{I}{I_0} = e^{-\Sigma z} = e^{-(\Sigma_{\text{B}} + \Sigma_{\text{Fe}}) \cdot z} = 1,5 \cdot 10^{-15}$

Fración absorbida:  $1 - \frac{I}{I_0} \sim 1 \rightarrow$  se absorben prácticamente todos   
 (fración de  $n$  que no son absorbibles)



5.6

5,3% procesos fisión  $^{235}\text{U} \rightarrow ^{137}\text{Cs}$  (5 minutos)

a)  $\tau = 44$  años

$P = 3\text{GW}$

Elib/fisión = 205 MeV

$$\left. \begin{array}{l} P \\ \text{Elib} \end{array} \right\} = 9,13 \cdot 10^{13} \text{ fisiones/s}$$

↳ Producción de  $^{137}\text{Cs}$ :  $R = 5,3\% \cdot \frac{P}{\text{Elib}} = 5,33 \cdot 10^{12} \text{ átomos/s}$

$$\frac{dN_{\text{Cs}}}{dt} = R - \lambda_{\text{Cs}} N_{\text{Cs}} \rightarrow \text{Solución: } \lambda_{\text{Cs}} N_{\text{Cs}} = R (1 - e^{-\lambda_{\text{Cs}} t})$$

$$A_{\text{Cs}} = \lambda_{\text{Cs}} N_{\text{Cs}}(t) = R (1 - e^{-\lambda_{\text{Cs}} t}) \rightarrow t = 1 \text{ año}, \lambda_{\text{Cs}} = \frac{1}{\tau}$$

$$= 4,24 \cdot 10^{17} \text{ Bq} = 3,27 \text{ MCi}$$

$$\hookrightarrow N_{\text{Cs}}(t) = \frac{R}{\lambda_{\text{Cs}}} (1 - e^{-\lambda_{\text{Cs}} t}) \approx \frac{R}{\lambda_{\text{Cs}}} (1 - 1 + \lambda_{\text{Cs}} t) = R \cdot t$$

$$= 1,68 \cdot 10^{26}$$

b)  $N_{\text{Cs lib}} = 0,13 N_{\text{Cs}}(t = 1 \text{ año}) = 2,18 \cdot 10^{25} \text{ átomos}$

$$A/S = \frac{\lambda_{\text{Cs}} N_{\text{Cs lib}}}{10^6 \text{ km}^2} = \frac{\lambda_{\text{Cs}} \cdot 0,13 \cdot \frac{R}{\lambda_{\text{Cs}}} (1 - e^{-\lambda_{\text{Cs}} t})}{10^6 \text{ km}^2} = \frac{0,13 R (1 - e^{-\lambda_{\text{Cs}} t})}{10^6 \text{ km}^2}$$

$$= 15,7 \text{ kBq/m}^2$$

5.7

$^{132}\text{I}$  ( $t_{1/2} = 8,0\text{d}$ )

$^{137}\text{Cs}$  ( $t_{1/2} = 30\text{y}$ )

$$\frac{N_{\text{Cs}}}{N_{\text{I}}} \sim 5$$

(Ver 5.6):  $\lambda_{\text{Cs}} N_{\text{Cs}} = R (1 - e^{-\lambda_{\text{Cs}} t_0})$   $t_0 = 10\text{d}$

$$\lambda_{\text{I}} N_{\text{I}} = \frac{R}{5} (1 - e^{-\lambda_{\text{I}} t_0})$$

$$\lambda = \frac{\ln 2}{T_{1/2}}$$

↳ Escape con  $t_0 = 10\text{d}$

$$a) \frac{A_{\text{Cs}}(t_0)}{A_{\text{I}}(t_0)} = 5 \cdot \frac{(1 - e^{-\lambda_{\text{Cs}} t_0})}{(1 - e^{-\lambda_{\text{I}} t_0})} = 5 \cdot 0,001 = 5,5 \cdot 10^{-3} \ll 1$$

→ Contribuye más el I porque tiene menor vida media y más actividad aunque haya menos átomos que de Cs.

$$b) A_{\text{Cs}}(t) = A_{\text{Cs}}(t_0) \cdot e^{-\lambda_{\text{Cs}} t}$$

$$A_{\text{I}}(t) = A_{\text{I}}(t_0) \cdot e^{-\lambda_{\text{I}} t}$$

$$A_{\text{I}}(t_{\text{eq}}) = A_{\text{Cs}}(t_{\text{eq}}) \rightarrow A_{\text{I}}(t_0) e^{-\lambda_{\text{I}} t_{\text{eq}}} = A_{\text{Cs}}(t_0) e^{-\lambda_{\text{Cs}} t_{\text{eq}}}$$

$$\hookrightarrow \frac{A_{\text{Cs}}(t_0)}{A_{\text{I}}(t_0)} = e^{t_{\text{eq}} (\lambda_{\text{Cs}} - \lambda_{\text{I}})} \rightarrow t_{\text{eq}} = \frac{\ln \left( \frac{A_{\text{Cs}}(t_0)}{A_{\text{I}}(t_0)} \right)}{\lambda_{\text{Cs}} - \lambda_{\text{I}}} = 60,2 \text{ días}$$

c) 200 MeV / fisión

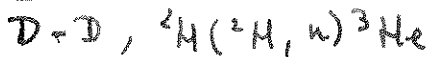
$P = 1 \text{ GW}$  }  $N_{\text{fis}}/s = \frac{P}{200 \text{ MeV/fis}} = 3,12 \cdot 10^{13} \text{ fisiones/s}$

$R = 1\% \cdot N_{\text{fis}}/s = 3,12 \cdot 10^{11} \text{ átomos } \frac{I}{s} \text{ producidos}$

Ver 5.6:

$\lambda_{\pm} N_{\pm} = \Delta I = R (1 - e^{-\lambda_{\pm} \cdot t_0})$   $t_0 = 24 \text{ h} = 1 \text{ d}$   
 $\approx 0,7001 \text{ MCi} //$

5.8



a)  $Q = M_{\text{in}} - M_{\text{fin}} = 2 \cdot M_{\text{H}} (^2\text{H}) - M_{\text{n}} - M_{\text{H}} (^3\text{He}) = 2 \cdot \Delta (^2\text{H}) - \Delta (n) - \Delta (^3\text{He})$

$= 3,268 \text{ MeV} //$   $= T_n + T_{^3\text{He}}$

parte, por conservación de p:  $m_n \vec{v}_n + m_{^3\text{He}} \vec{v}_{^3\text{He}} = \vec{p}_{\text{fin}} = \vec{p}_{\text{in}} = 0$

$\hookrightarrow |m_n \vec{v}_n|^2 = |m_{^3\text{He}} \vec{v}_{^3\text{He}}|^2$  (opuestos)

$\hookrightarrow T_n = \frac{1}{2} m_n v_n^2 = \frac{1}{2} \frac{m_n^2}{m_n} v_n^2 = \frac{1}{2 m_n} \cdot m_{^3\text{He}}^2 v_{^3\text{He}}^2 = \frac{m_{^3\text{He}}}{m_n} \cdot T_{^3\text{He}}$

(supones  $v \ll c \rightarrow$  ver hoja aparte para cálculo exacto)  $= \frac{3}{4} Q$

$T_n + T_n \frac{m_n}{m_{^3\text{He}}} = Q \rightarrow T_n = \frac{Q}{1 + \frac{m_n}{m_{^3\text{He}}}} = \frac{Q}{1 + \frac{1}{3}} = 2,451 \text{ MeV} //$

$m_n = 939,57 \text{ MeV}/c^2$   
 $p_n = \sqrt{T_n 2 m_n} = 67,9 \text{ MeV}/c$

$T_{^3\text{He}} = \frac{Q}{4} = 0,817 \text{ MeV}$

$m_{^3\text{He}} = (m_{\text{proton}}) = 2818,5 \text{ MeV}$   
 $p_{^3\text{He}} = \sqrt{T_{^3\text{He}} 2 m_{^3\text{He}}} = 67,9 \text{ MeV}/c, \checkmark$

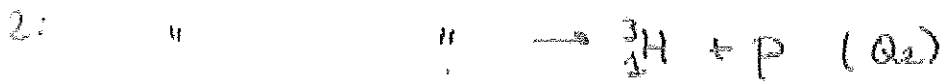
b)  $d = 10^{-11} \text{ cm}$

$|F_{\text{total}}| = \frac{q^2}{4\pi\epsilon_0 d^2}$  ;  $q \phi = \frac{q^2}{4\pi\epsilon_0 d} = 14,4 \text{ KeV} //$   $= E_{\text{sum}}$

c)  $E_{\text{sum}} = \frac{3}{2} kT \rightarrow T = \frac{2 E_{\text{sum}}}{3 k_B} = 0,112 \cdot 10^9 \text{ K}$

(5.9)

Reacciones DD



Energía liberada por reacción (calor de reacción  $Q$ ): Para pasar energía atómica

$$Q_1 = M_{in} - M_p = 2 \times M_n({}^2_1\text{H}) - M_n({}^3_2\text{He}) - M_n(n) + 2m_e - 2m_e$$

$$= 2 \times M({}^2_1\text{H}) - M({}^3_2\text{He}) - M_n(n) \quad \leftarrow \text{sacamos valores del Krane}$$

$$= (2 \times 2,014102 - 3,016029 - 1,008665) \times 931,502 \text{ MeV}$$

$$= 3,2686 \text{ MeV} = 3,27 \text{ MeV}$$

$$Q_2 = 2 \times M_n({}^2_1\text{H}) - M_n({}^3_1\text{H}) - M_n(p) + 2m_e - 2m_e$$

$$= 2 \times M({}^2_1\text{H}) - M({}^3_1\text{H}) - M({}^1_1\text{H})$$

$$= (2 \times 2,014102 - 3,016049 - 1,007825) \times 931,502 \text{ MeV}$$

$$= 4,0334 \text{ MeV} = 4,03 \text{ MeV}$$

Ambas reacciones son igual de probables. Por tanto, la energía liberada por reacción DD en promedio será:

$$\bar{Q} = \frac{Q_1}{2} + \frac{Q_2}{2} = 3,65 \text{ MeV}$$

Por otro lado, tenemos 1 l de  $\text{H}_2\text{O}$ , cuya densidad  $\rho \approx 1 \text{ g/cm}^3 = 1 \text{ kg/dm}^3$

$$V_{\text{H}_2\text{O}} = 1 \text{ dm}^3$$

$$M_{\text{H}_2\text{O}} = \rho \cdot V = 1 \text{ kg}$$

$$P_{\text{H}_2\text{O}} = 18 \text{ g/mol} \quad (\text{peso atómico})$$

$N_{\text{H}_2\text{O}}$  de moléculas de  $\text{H}_2\text{O}$  en 1 l de agua:

$$N_{\text{H}_2\text{O}} = \frac{M}{P} \cdot N_A = \frac{1000 \text{ g}}{18 \text{ g/mol}} \cdot 6,023 \times 10^{23} \text{ mol}^{-1} = 3,35 \cdot 10^{25}$$

$$N_{\text{H}_2} = N_{\text{H}_2\text{O}}; \quad N_{\text{H}} = 2N_{\text{H}_2} = 6,69 \times 10^{25} \quad (\text{hidrógeno natural})$$

$$N_d = 0,014\% N_{\text{H}} = 9,90 \times 10^{22}; \quad \frac{N_d}{2} = 4,95 \cdot 10^{22} = N_{\text{reacciones}}$$

Dado que en cada reacción se fusionan dos deuterios, habrá  $N_d/2$  reacciones totales, que en promedio liberan  $\bar{Q}$  por reacción. Por tanto, la energía liberada por litro de agua es:

$$E = N_{\text{reacciones}} \cdot \bar{Q} = 4,95 \cdot 10^{22} \times 3,65 \text{ MeV} = 1,81 \times 10^{22} \text{ MeV} = 2,90 \text{ GJ}$$

5.9) → Ver hoja aparte

5.10)

D-T ⇒ Q = 17,6 MeV



$P = 1\text{MW} \rightarrow R = \frac{P}{Q} = 3,547 \cdot 10^{17} \text{ s}^{-1}$  → átomos de  ${}^2\text{H}$  o de  ${}^3\text{H}$  consumidos

$\frac{dM({}^2\text{H})}{dt} = \frac{R}{N_A} \cdot 2\text{g/mol} = 1,48 \mu\text{g/s} = 37\text{g/año}$

$\frac{dM({}^3\text{H})}{dt} = \frac{R}{N_A} \cdot 3\text{g/mol} = 1,77 \mu\text{g/s} = 55,7\text{g/año}$

5.11)



$Q = M_{\text{in}} - M_{\text{fin}} = M_\nu + M({}^A_Z X) - M_{e^-} - M({}^A_{Z+1} X'_{N-1})$

$= M({}^A_Z X) + 2 \cdot m_e - Z m_e - m_e - M({}^A_{Z+1} X'_{N-1})$

(desprecias energías de ligadura)

$= M({}^A_Z X) - M({}^A_{Z+1} X'_{N-1})$

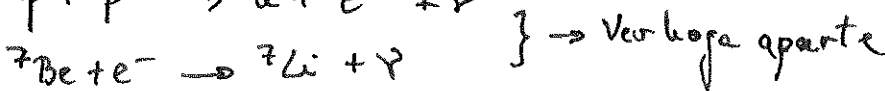
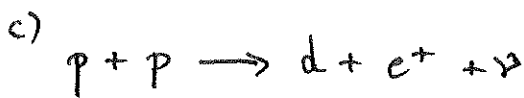
b)  $Q = T_{e^-} + T_\nu = -T_{\nu, \text{min}} \dots (T_e = 0)$

$Q_1 = M({}^{37}_{17}\text{Cl}) - M({}^{37}_{18}\text{Ar}) = \Delta({}^{37}_{17}\text{Cl}) - \Delta({}^{37}_{18}\text{Ar}) = -814 \text{ KeV}$  ↑ Fermi }  $E_{\text{min}} = 814 \text{ KeV}$

$Q_2 = M({}^{71}_{31}\text{Ga}) - M({}^{71}_{32}\text{Ge}) = \dots = -233 \text{ KeV}$  }  $E_{\text{min}} = 233 \text{ KeV}$

$Q_3 = M({}^{117}_{49}\text{In}) - M({}^{117}_{50}\text{Sn}) = \dots = 1455 \text{ KeV}$  }  $E_{\text{min}} = 0$

proceso espontáneo aun con neutrino en reposo



d)  $M({}^7\text{Be}) + M_{e^-} = M({}^7\text{Li}) + M_\nu + T_{\text{Li}} + T_\nu$  } + 3 MeV

$M({}^7\text{Be}) = M({}^7\text{Li}) + T_{\text{Li}} + T_\nu \rightarrow T_\nu \sim p_\nu$  porque  $T + E_0 = \sqrt{m^2 c^4 + p^2 c^2}$

conservación de p:  $\vec{p}_{\text{Li}} = -\vec{p}_\nu \rightarrow p_{\text{Li}} = p_\nu \rightarrow \frac{p_{\text{Li}}^2}{2m_{\text{Li}}} = \frac{p_\nu^2}{2m_{\text{Li}}} = \frac{T_\nu^2}{2m_{\text{Li}}}$

$T_\nu = \frac{M({}^7\text{Be}) - M({}^7\text{Li})}{2m_{\text{Li}}} + \frac{T_\nu^2}{2m_{\text{Li}}} = 0 \rightarrow T_\nu = \frac{-1 + \sqrt{1 + 4 \cdot \frac{\Delta M}{2m_{\text{Li}}}}}{1/m_{\text{Li}}} \approx 0,86 \text{ MeV}$

$T_{\text{Li}} = \frac{T_\nu^2}{2m_{\text{Li}}} \sim 57 \text{ eV}$  (retroceso despreciable)

aproximado, no conservaría momento. → Repetir si d retrocede algo.

e)  $T_{\text{min}} = 0$  (en reposo);  $T_{\text{max}} = 2M(p) - M(d) - M(e^+) = 2M({}^1\text{H}) - M({}^2\text{H}) - 2m_e = 419 \text{ KeV}$

6.1  $\rightarrow 3 u_s \text{ ó } d_s$

$I = \frac{3}{2}, B = 1, S = 0$

$Q = I_3 + \frac{B+S}{2} = I_3 + \frac{1}{2}$

Gell-Mann-Nishijima

$I_3 = \begin{cases} 3/2 \rightarrow Q = +2 \\ 1/2 \rightarrow Q = +1 \\ -1/2 \rightarrow Q = 0 \\ -3/2 \rightarrow Q = -1 \end{cases}$

$[uuu] = \Delta^{++}$   
 $[uud] = \Delta^+$   
 $[udd] = \Delta^0$   
 $[ddd] = \Delta^-$

$\rightarrow$  Resonancias

No son protón ni neutrón porque  $I = 3/2$  para  $\Delta$  y  $I = 1/2$  para  $p, n$

6.2

$\Sigma \rightarrow Q = \begin{Bmatrix} 0 \\ +1 \\ -1 \end{Bmatrix} \rightarrow 3 \text{ proyecciones de } I \rightarrow \begin{cases} I_3 = -1, 0, 1 \\ I = 1 \end{cases}$   
 (veid Gell-Mann)

$\hookrightarrow BA = 1$  (barión)

$Q = I_3 + \frac{BA+S}{2} \rightarrow Q = I_3 \rightarrow BA = -S \rightarrow S = -1 //$

6.3

a)  $\Lambda^0 \begin{cases} S = -1 \\ I = 0 \\ Q = 0 \end{cases}$

$Q = I_3 + \frac{BA+S}{2} = 0 + \frac{BA-1}{2} = 0$

$\hookrightarrow BA = 1 // \rightarrow 3 \text{ quarks con carga } 0$   
 incluyendo el quark  $s$  ( $s = -1$ )

$S = -1 \rightarrow Q(s) = -1/3$

Buscamos otro quark con  $-1/3$  y otro con  $+2/3$ , y además  $I_{tot} = 0$

$I_{3s} + I_{3q_2} + I_{3q_3} = 0$

Por ejemplo, el  $u$  y  $d$  cumplen ambas condiciones:

$I_{3u} = 1/2 ; I_{3d} = -1/2 \rightarrow I_3 = 0 ; Q = 0$

$\Lambda^0 \equiv [u, d, s]$

b)  $\Xi \rightarrow \{q_1 q_2 q_3\}$

doblete de isospin  $\begin{cases} I = 1/2 \\ I_3 = \pm 1/2 \end{cases} \rightarrow$  debe haber  $u$  ó  $d$

$S = -2 \rightarrow$  Dos quarks  $s$

$\Xi = \begin{cases} [ssu] \rightarrow Q = 0 \rightarrow \Xi^0 \\ [ssd] \rightarrow Q = -1 \rightarrow \Xi^- \end{cases}$

c) Mesones  $\{q_i \bar{q}_j\} \rightarrow BA=0 \rightarrow Q = I_3 + \frac{S}{2}$

$S = +1 \rightarrow$  quark  $\bar{s} \rightarrow Q(\bar{s}) = +1/3$

$K^+ \rightarrow Q = +1 \xrightarrow{I_3 = Q - S/2} I_3 = \frac{1}{2} \rightarrow$  quark  $u \rightarrow K^+ = \left\{ \begin{matrix} u \\ \bar{s} \end{matrix} \right\} \rightarrow Q = +1 \checkmark$

$K^0 \rightarrow Q = 0 \rightarrow I_3 = -1/2 \rightarrow$  "  $d \rightarrow K^0 = \left\{ \begin{matrix} d \\ \bar{s} \end{matrix} \right\} \rightarrow Q = 0 \checkmark$

$S = -1 \rightarrow$  quark  $s$

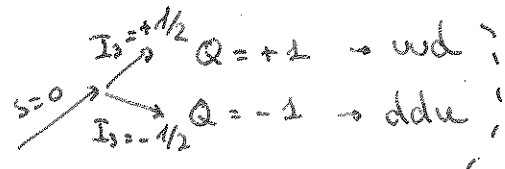
$K^- \rightarrow Q = -1 \rightarrow I_3 = -1/2 \rightarrow$  antiquark  $\bar{u} \rightarrow K^- = \left\{ \begin{matrix} \bar{u} \\ s \end{matrix} \right\} \rightarrow Q = -1 \checkmark$

$\bar{K}^0 \rightarrow Q = 0 \rightarrow I_3 = 1/2 \rightarrow$  antiquark  $\bar{d} \rightarrow \bar{K}^0 = \left\{ \begin{matrix} \bar{d} \\ s \end{matrix} \right\} \rightarrow Q = 0 \checkmark$

(6.4)

a) Barión  $\{q_1 q_2 q_3\} \rightarrow BA=1$

$Q = I_3 + \frac{BA+S}{2} = I_3 + \frac{S+1}{2} =$



± Fácil:

$Q(q_i) = \begin{cases} 2/3 \\ -1/3 \end{cases}$

$\rightarrow \frac{2}{3} + \frac{2}{3} + \frac{2}{3} = 2$

$-\frac{1}{3} - \frac{1}{3} - \frac{1}{3} = -1$

$\frac{2}{3} + \frac{2}{3} - \frac{1}{3} = 1$

$\frac{2}{3} - \frac{1}{3} - \frac{1}{3} = 0$

$\rightarrow Q \in [-1, +2]$

$\sum q_i$  entero

Lo no se ha visto nada distinto

b) Mesón  $\{q_i \bar{q}_j\}$

$Q(q_i) = \begin{cases} +2/3 \\ -1/3 \end{cases}$

$Q(\bar{q}_j) = \begin{cases} +1/3 \\ -2/3 \end{cases}$

$\frac{2}{3} + \frac{1}{3} = +1$

$\frac{2}{3} - \frac{2}{3} = 0$

$-\frac{1}{3} - \frac{2}{3} = -1$

$-\frac{1}{3} + \frac{1}{3} = 0$

$\} Q \in [-1, +1]$

6.5  $J^{PC} \{q_i \bar{q}_j\}$

$\vec{S} = \vec{S}_1 + \vec{S}_2 \rightarrow S_1 = S_2 = 1/2 \rightarrow S = \begin{cases} 0 \\ 1 \end{cases}$

$L = 0, 1, 2$  }  $\vec{J} = \vec{L} + \vec{S} \rightarrow |L-S| \leq J \leq L+S$ , entero

$P = (-1)^{L+1}$

Para  $i=j: \{q\bar{q}\} \rightarrow C = (-1)^{L+S} \rightarrow$  Ver posibilidades en hoja aparte

6.6  $\rightarrow$  Interacciones fuertes

- a)  $pp \rightarrow \bar{p}\pi^+\pi^+\pi^+$  (Conservan Q), viola  $BA = +2 \neq -1$
  - b)  $pp \rightarrow p\bar{p}\pi^+\pi^+$  Viola  $BA = 2 \neq 0$
  - c)  $pp \rightarrow p p \bar{p} \pi^+$  " "  $\neq 1$
  - d)  $pp \rightarrow p p p \bar{p}$  Conserva BA  $\rightarrow$  permitida
  - e)  $pp \rightarrow p p p \bar{p} \pi^0$  "  $\rightarrow$  "
  - f)  $pp \rightarrow p p p \bar{p} \pi^+\pi^-$  "  $\rightarrow$  "
- } No permitidas  
} permitidas

6.7

- a)  $\nu e \rightarrow \nu e \rightarrow$  Conserva Q  $\rightarrow e^\pm \rightarrow e^\pm$ ,  
 $\nu e^\pm \rightarrow \nu e^\pm \rightarrow$  Debe conservar  $L_e, L_\mu, L_\tau \rightarrow$  implica  $\nu_{in} = \nu_{fin}$   
 $\Rightarrow \nu_{\frac{e}{\mu/\tau}} e^\pm \rightarrow \nu_{\frac{e}{\mu/\tau}} e^\pm$  y  $\bar{\nu}_{\frac{e}{\mu/\tau}} e^\pm \rightarrow \bar{\nu}_{\frac{e}{\mu/\tau}} e^\pm$  (colisión elástica)

- b)  $\nu e \rightarrow \nu \mu \rightarrow Q \rightarrow e^\pm \leftrightarrow \mu^\pm$   
 $\nu e^\pm \rightarrow \nu \mu^\pm$  Conservar  $L_e, L_\mu \rightarrow 2$  combinaciones:  
 $\nu_\mu e^- \rightarrow \nu_e \mu^-$ ;  $\bar{\nu}_\mu e^+ \rightarrow \bar{\nu}_e \mu^+$   
 $\nu_e e^+ \rightarrow \nu_\mu \mu^+$ ;  $\bar{\nu}_e e^- \rightarrow \bar{\nu}_\mu \mu^-$  //

- c)  $\nu N \rightarrow e N \rightarrow$  Conserva Q  $\rightarrow$  implica varias opciones:  
 $\bar{\nu}_e p \rightarrow e^+ n$   
 $\nu_e n \rightarrow e^- p$  //

- d)  $\nu N \rightarrow \mu N$   
 $\bar{\nu}_\mu p \rightarrow \mu^+ n$   
 $\nu_\mu n \rightarrow \mu^- p$  //

(6.8)

$$\begin{cases} \pi^- + p \rightarrow \pi^- + p & (1) \rightarrow \text{choque elástico} \\ \pi^- + p \rightarrow \pi^0 + n & (2) \rightarrow \text{" inelástico} \end{cases}$$

Isospin se conserva sólo en fuertes

$$T_{1/2} = T_{3/2} \cdot e^{i\psi}$$

$$I(\pi) = 1$$

$$I_3(\pi^-) = -1 ; I_3(\pi^0) = 0$$

$$I(p) = 1/2$$

$$I_3(p) = +1/2$$

Coefficientes de Clebsch-Gordan:

$$\pi^- \otimes p \equiv \begin{matrix} 1 \\ \text{I} \\ \otimes \\ 1/2 \\ \text{II} \end{matrix} \quad (\text{I})$$

$I_1$	$I_2$	$3/2$	$1/2$	$\leftarrow J$
$1 \otimes 1/2$	$1/2$	$-1/2$	$-1/2$	$\leftarrow M$
$0$	$-1/2$	$2/3$	$1/3$	
$1(\pi^-)$	$1/2$	$1/3$	$-2/3$	
$I_3(\pi^-)$	$I_3(p)$			

$$\rightarrow |\pi^0 n\rangle = \sqrt{\frac{2}{3}} \left| \frac{3}{2}, -\frac{1}{2} \right\rangle + \sqrt{\frac{1}{3}} \left| \frac{1}{2}, -\frac{1}{2} \right\rangle$$

$$\rightarrow |\pi^- p\rangle = \sqrt{\frac{1}{3}} \left| \frac{3}{2}, -\frac{1}{2} \right\rangle + \sqrt{\frac{2}{3}} \left| \frac{1}{2}, -\frac{1}{2} \right\rangle$$

$$T_1 = \langle \pi^- p | T | \pi^- p \rangle = \frac{1}{3} T_{3/2} + \frac{2}{3} T_{1/2}$$

$$T_2 = \langle \pi^0 n | T | \pi^- p \rangle = \sqrt{\frac{1}{3}} T_{3/2} - \sqrt{\frac{2}{3}} T_{1/2}$$

Regla de Fermi  $\sigma_i \propto |T_i|^2$

$$\frac{\sigma_1}{\sigma_2} = \frac{\frac{1}{9} |T_{3/2} + 2T_{1/2}|^2}{\frac{2}{9} |T_{3/2} - T_{1/2}|^2} \quad \checkmark \quad T_{1/2} = T_{3/2} \cdot e^{i \cdot 45^\circ}$$

$$= \frac{1}{2} \left| \frac{1 + 2e^{i\pi/4}}{1 - e^{i\pi/4}} \right|^2 = \frac{1}{2} \left( \frac{(1 + 2e^{i\pi/4})(1 + 2e^{-i\pi/4})}{(1 - e^{i\pi/4})(1 - e^{-i\pi/4})} \right) = \left( \frac{1 + 4 + 4\cos\pi/4}{1 + 1 - 2\cos\pi/4} \right)^{1/2}$$

$$= \frac{1.5 + 2\sqrt{2}}{2 - \sqrt{2}} = 6,69 //$$

Predomina choque elástico (1).

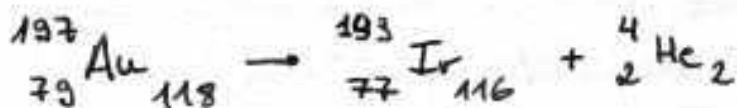
Valor experimental: 6,05 ✓

(6.9) → Ver hoja aparte



Fernando Jesus González  
Erica Aleusa Sáez

Vida media del oro:  $\rightarrow$  desintegración vía  $\alpha$



Calor de reacción:

$$Q_\alpha = M_n({}_{79}^{197}\text{Au}_{118}) - M_n({}_{77}^{193}\text{Ir}_{116}) - M_n({}_2^4\text{He}_2) + 79m_e - 77m_e - 2m_e$$

$$= M({}_{79}^{197}\text{Au}) - M({}_{77}^{193}\text{Ir}) - M({}_2^4\text{He}) \quad \swarrow \text{valores del Krane}$$

$$= (196,966543 - 192,962917 - 4,002603) \times 931,502 \text{ MeV}$$

$$= 0,9529 \text{ MeV}$$

Valores salen mal, usar mejor los datos de examen teoría junio 09

Constante de desintegración: ( $\lambda$ ) [adrfisica.tk](http://adrfisica.tk)

$$\ln \lambda = C - \frac{D \cdot Z_{\text{Ir}}}{\sqrt{Q_\alpha}} = 132,8 - \frac{3,97 \cdot 77}{\sqrt{0,953}} \Rightarrow$$

$$\lambda = 4,73 \cdot 10^{-79}$$

$$\hookrightarrow \tau = \frac{1}{\lambda} = 2,1 \cdot 10^{78} \text{ s} = 6,7 \cdot 10^{70} \text{ y} \Rightarrow \text{Edad del universo}$$

$\Rightarrow$  Por tanto se considera estable.

Masa del protón 'vs' masa de los quarks constituyentes:

$$M_p \approx 938 \text{ MeV}$$

$$p \equiv uud$$

$\swarrow$  Masas en reposo

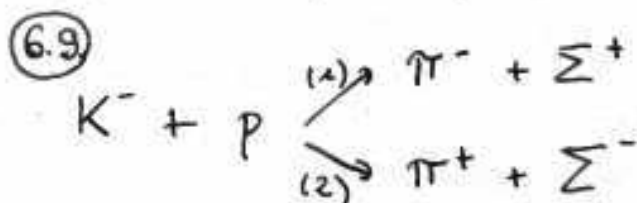
$$M_u = 1,5 - 3 \text{ MeV} \sim 2 \text{ MeV} \quad (\text{según los apuntes de teoría}) \rightarrow \text{son cifras orientativas, pues no se miden aislados}$$

$$M_d = 3 - 7 \text{ MeV} \sim 5 \text{ MeV}$$

$$2M_u + M_d \sim 7 \text{ MeV} \ll M_p \rightarrow \frac{2M_u + M_d}{M_p} \sim 0,7\%$$

Es decir, la masa del protón es mucho mayor que la suma de los quarks constituyentes. Esto se debe por un lado a que la masa de los quarks no está perfectamente bien definida, ya que no se le observa de manera aislada sino ligados (por gluones) y no se puede medir directamente. Por otros

lado, el protón es un sistema de 3 quarks ligados, que no tienen por qué estar en reposo internamente. De hecho, la masa del protón no se debe principalmente a las masas de los quarks sino a la energía de ligadura del sistema (denominada QCD: quantum chromodynamics binding energy), asociada a los gluones.



Proceso de interacción fuerte (colisión)

↳ Se conserva carga, n.º bariónico, extrañeza, isospín

$$I_3 = Q - \frac{BA+S}{2}$$

Para piones:  $I_3 = Q$

Partícula	Quarks	Q	BA	S	$I_3$	I
mesón: $K^-$	$\bar{u}s$	-1	0	-1	-1/2	1/2
barión: p	uud	+1	1	0	1/2	1/2
mesón: $\pi^+$	$u\bar{d}$	+1	0	0	1	1
mesón: $\pi^-$	$\bar{u}d$	-1	0	0	-1	1
barión: $\Sigma^+$	uus	+1	1	-1	1	1
barión: $\Sigma^-$	dds	-1	1	-1	-1	1

Se comprueba que se conserva Q, BA, S e  $I_3$  en ambas reacciones (sumando a ambos lados).

Según la teoría, la sección eficaz

$$\sigma \propto |\langle f | H | i \rangle|^2$$

estado final      estado inicial

dos estados se expresan en la base propia de isospín mediante los coeficientes de Clebsch-Gordan.

$$|i\rangle = |K^- p\rangle$$

$$L I_{K^-} = \frac{1}{2}; I_p = \frac{1}{2} \rightarrow \frac{1}{2} \times \frac{1}{2}; I_{3K^-} = -\frac{1}{2}, I_{3p} = \frac{1}{2}$$

$$M = I_{3K^-} + I_{3p} = 0$$

$$J_{max} = \frac{1}{2} + \frac{1}{2} = 1$$

$$J_{min} = \frac{1}{2} - \frac{1}{2} = 0$$

$$I_1 \cdot I_2$$

$\frac{1}{2} \times \frac{1}{2}$	$\begin{array}{cc} 1 & 0 \\ 0 & 0 \end{array}$ <p style="text-align: center;"><math>J_1 = J_{max}</math> <math>J_2 = J_{min}</math></p>
$-\frac{1}{2} \quad \frac{1}{2}$	$\frac{1}{2} \quad -\frac{1}{2} \Rightarrow  K^- p\rangle$
$\frac{1}{2} \quad -\frac{1}{2}$	$\frac{1}{2} \quad +\frac{1}{2}$

$$L |K^- p\rangle = \frac{1}{\sqrt{2}} |10\rangle - \frac{1}{\sqrt{2}} |00\rangle; |1,0\rangle \equiv |10\rangle$$

$$|L, j\rangle \equiv |j\rangle$$

$$|j\rangle = |\pi^+ \Sigma^+\rangle$$

$$I = 1 \text{ en todos los casos} \rightarrow 1 \times 1 \rightarrow j = 0, 1, 2$$

$$M = 0 \text{ " " " "}$$

$$1 \times 1 \quad \begin{array}{ccc} 2 & 1 & 0 \\ 0 & 0 & 0 \end{array}$$

$$1 \quad -1 \quad \begin{array}{ccc} 1/6 & 1/2 & 1/3 \end{array} \rightarrow |\pi^+ \Sigma^-\rangle = \frac{1}{\sqrt{6}} |20\rangle + \frac{1}{\sqrt{2}} |10\rangle + \frac{1}{\sqrt{3}} |00\rangle$$

$$0 \quad 0 \quad \begin{array}{ccc} 2/3 & 0 & -1/3 \end{array}$$

$$-1 \quad 1 \quad \begin{array}{ccc} 1/6 & -1/2 & 1/3 \end{array} \rightarrow |\pi^- \Sigma^+\rangle = \frac{1}{\sqrt{6}} |20\rangle - \frac{1}{\sqrt{2}} |10\rangle + \frac{1}{\sqrt{3}} |00\rangle$$

$$I_{3a} \quad I_{3b}$$

$$|a b\rangle$$

$$H |K^- p\rangle = T |K^- p\rangle = T \left( \frac{1}{\sqrt{2}} |10\rangle - \frac{1}{\sqrt{2}} |00\rangle \right) = \frac{T_1}{\sqrt{2}} |10\rangle - \frac{T_0}{\sqrt{2}} |00\rangle$$

$$= \frac{1}{\sqrt{2}} (T_1 |10\rangle - T_0 |00\rangle)$$

$$\sigma_1 \propto |\langle \pi^- \Sigma^+ | H | K^- p \rangle|^2, \sigma_2 \propto |\langle \pi^+ \Sigma^- | H | K^- p \rangle|^2$$

$$1: \langle \pi^- \Sigma^+ | H | K^- p \rangle = \frac{1}{\sqrt{2}} \left( -\frac{T_1}{\sqrt{2}} - \frac{T_0}{\sqrt{3}} \right) = -\left( \frac{T_1}{2} + \frac{T_0}{\sqrt{6}} \right)$$

$$2: \langle \pi^+ \Sigma^- | H | K^- p \rangle = \frac{1}{\sqrt{2}} \left( \frac{T_1}{\sqrt{2}} - \frac{T_0}{\sqrt{3}} \right) = \frac{T_1}{2} - \frac{T_0}{\sqrt{6}}$$

$$\frac{\sigma_1}{\sigma_2} = \left| \frac{\langle f_1 | H | i \rangle}{\langle f_2 | H | i \rangle} \right|^2 = \left| \frac{\frac{T_1}{2} + \frac{T_0}{\sqrt{6}}}{\frac{T_1}{2} - \frac{T_0}{\sqrt{6}}} \right|^2 = \left| \frac{\sqrt{6} T_1 + 2 T_0}{\sqrt{6} T_1 - 2 T_0} \right|^2$$

(6.13)

$$\begin{array}{ccc} \bullet K^+ & \rightarrow & \pi^+ + \pi^0 \\ \downarrow & & \downarrow \quad \downarrow \\ J^P = 0^- & & J^P = 0^- \quad J^P = 0^- \end{array} \quad \left. \begin{array}{l} J_i = 0 \\ J_f = 0 \end{array} \right\} \begin{array}{l} \text{Se conservan} \\ \text{la carga y} \\ \text{el momento} \\ \text{angular total} \end{array}$$

$$\begin{array}{l} \text{No se} \\ \text{conserva} \end{array} \left. \begin{array}{l} P_i = -1 \\ P_f = (-1)(-1) = 1 \end{array} \right\}$$

$$\begin{array}{ccc} \bullet K^+ & \rightarrow & \pi^+ + \pi^+ + \pi^- \\ \downarrow & & \downarrow \quad \downarrow \quad \downarrow \\ J^P = 0^- & & J^P = 0^- \quad J^P = 0^- \quad J^P = 0^- \end{array} \quad \left. \begin{array}{l} J_i = 0 \\ J_f = 0 \end{array} \right\} \begin{array}{l} \text{Se conservan} \\ \text{la carga y el} \\ \text{momento angular} \\ \text{total} \end{array}$$

$$\begin{array}{l} \text{Si se conserva} \\ \text{paridad.} \end{array} \left. \begin{array}{l} P_i = -1 \\ P_f = (+)(-1)(-1) = -1 \end{array} \right\}$$

En ambos casos se conserva  $J$  (el momento angular total), pero en las desintegraciones  $K^+ \rightarrow \pi^+ + \pi^0$  se viola paridad, por lo que no puede ser una interacción fuerte.

(6.15)

a) Conjugación de carga del sistema  $\pi^+\pi^-$ .

Como es un sistema partícula-antipartícula es propio de C. de la forma  $C|\pi^+\pi^-; L\rangle = (-1)^L |\pi^+\pi^-; L\rangle$ ,

Por lo que  $C = (-1)^L$ . En el caso particular de que estén en un estado S ( $L=0$ ),

$$\underline{\underline{C = 1}}$$

b)  $P + \bar{P} \rightarrow \pi^+\pi^-$

P es un barión, ¿se conserva BA?

$$BA_i = 1 + (-1) = 0$$

$$BA_f = 0 + 0 = 0$$

} Sí, se conserva

Momento total:

$$J_i = L_i + S_i = L_i + \frac{1}{2} + \frac{1}{2}$$

$$J_f = L_f + S_f = L_f + 0 + 0$$

Das posibilidades para el espín inicial (de los protones):

- Estado singlete:  $S=0 \rightarrow J_i = L_i$

- Estado triplete:  $S=1 \rightarrow J_i = L_i + 1$

Como se tiene que conservar el momento total,

$$J_i = J_p \quad \rightarrow \quad \text{Singlete: } L_i = L_p$$

$$\text{triplete: } L_{i+1} = L_p$$

Si, por ejemplo, los protones estuviesen en estado  $S$ ,  $L_i = 0$ ,  $L_p = 0, 1$ .

< Paridad > Estado inicial:  $P(p) = -P(\bar{p}) \rightarrow P_i = (-1)^{L_i} \cdot P_L$

$$= -1 \cdot (-1)^{L_i} = (-1)^{L_i+1}$$

Porque son bariones

Estado final:  $P(\pi^+) = P(\pi^-) \rightarrow P_f = (-1)^{L_f} P_L$

Porque son bariones

$$= (-1)^{L_f}$$

Si se tuviese que conservar paridad,  $L_{i+1} = L_p$ , lo que quiere decir que los protones estarían en el estado triplete con  $S=1$ . (Aunque, si la desintegración es débil, no tiene por qué conservarse paridad, y los protones podrían estar en el estado singlete con  $S=0$ ).

c) Conjugación de carga:

Estado inicial: Barión-antibarión  $\rightarrow C_i = (-1)^{L_i + S}$   
 Estado final: Pión - pión  $\rightarrow C_f = (-1)^{L_f}$

Dos casos:  $p$  y  $\bar{p}$  en los estados singlete ( $S=0$ ) y triplete ( $S=1$ ).

• Singlete:  $S=0$ .

Si se conserva  $C \rightarrow (-1)^{L_i} = (-1)^{L_f}$ .

En este estado,  $L_i = L_f$ , así que conservar  $C$  no impone restricciones.

• Triplete:  $S=1 \rightarrow (-1)^{L_i+1} = (-1)^{L_f}$ .

$\rightarrow \frac{L_i+1}{L_i-L_f=2n-1} = 2n+L_f$ ,  $n=0,1,2,\dots, -1,-2,\dots$

Por conservación de  $J$ , en el estado triplete tenemos que  $L_i+1 = L_f$ , así que la condición de conservar  $C$  no impone más restricciones.

Conclusión: En este caso, la invarianza de  $C$  no impone más restricciones para  $L$  de las que ya impone la conservación del momento angular total.

6.10

$I = \frac{3}{2}$

- 1:  $\Lambda^0 \rightarrow p \pi^-$
- 2:  $\Lambda^0 \rightarrow n \pi^0$

$I(p) = \frac{1}{2} \quad I_3(p) = \frac{1}{2}$   
 $I(n) = \frac{1}{2} \quad I_3(n) = -\frac{1}{2}$   
 $I(\pi) = 1 \quad \begin{cases} I_3(\pi^-) = -1 \\ I_3(\pi^0) = 0 \\ I_3(\pi^+) = 1 \end{cases}$

$a = I_3 + \frac{B-A}{2}$   
 $I(\Lambda) = \frac{3}{2} ; I_3(\Lambda^0) = -\frac{1}{2}$   
 $|\Lambda^0\rangle = \left| \frac{3}{2}, -\frac{1}{2} \right\rangle$

Olebsch-Gordan

$1 \times \frac{1}{2}$	$\frac{3}{2}$	$\frac{1}{2}$
	$-\frac{1}{2}$	$-\frac{1}{2}$
<hr/>		
0	$-\frac{1}{2}$	$\frac{2}{3}$
		$\frac{1}{3}$
-1	$\frac{1}{2}$	$\frac{1}{3}$
		$-\frac{2}{3}$

$|\pi^0 n\rangle = \sqrt{\frac{2}{3}} \left| \frac{3}{2}, -\frac{1}{2} \right\rangle + \sqrt{\frac{1}{3}} \left| \frac{1}{2}, -\frac{1}{2} \right\rangle$   
 $|\pi^- p\rangle = \sqrt{\frac{1}{3}} \left| \frac{3}{2}, -\frac{1}{2} \right\rangle - \sqrt{\frac{2}{3}} \left| \frac{1}{2}, -\frac{1}{2} \right\rangle$

$r \propto \sum_i |V_i| |i\rangle^2$

1:  $\langle \pi^- p | V | \Lambda^0 \rangle = \sqrt{\frac{1}{3}} \cdot T_{3/2}$   
 2:  $\langle \pi^0 n | V | \Lambda^0 \rangle = \sqrt{\frac{2}{3}} \cdot T_{3/2}$   
 $r = \frac{r_1}{r_2} = \frac{1}{2}$

No contribuirán por conservación de I si  $I = 3/2$

aquí al revés

En lugar de  $\Lambda^0 \equiv [udd]$  con  $I = \frac{3}{2}, I_3 = -\frac{1}{2}$ ,  $n \equiv [udd]$  con  $I = \frac{1}{2}, I_3 = -\frac{1}{2}$

$|n\rangle = \left| \frac{1}{2}, -\frac{1}{2} \right\rangle$

1:  $\langle \pi^- p | V | n \rangle = -\sqrt{\frac{2}{3}} T_{1/2}$   
 2:  $\langle \pi^0 n | V | n \rangle = \sqrt{\frac{1}{3}} T_{1/2}$   
 $r = \frac{r_1}{r_2} = 2$

6.11

deuterio  $\pi^- \{ \bar{u}, d \}$  (quarks)

$\pi^- + d \rightarrow n + n$

$J^P(d) = 1^+ ; J^P(n) = \frac{1}{2}^+ \rightarrow J^P(\pi^-) ? ; I_\pi = 1 ; I_3 = -1$

El deuterio está en reposo, y captura el pión en onda s  $\rightarrow l=0$ .  
 $\hookrightarrow P_d = (-1)^l = +1$

Conservación del momento angular

$\vec{J}_i = \vec{S}_\pi + \vec{S}_d + \vec{L} = \vec{J}$

$\vec{J}_f = \vec{S}_n + \vec{S}_n + \vec{L} = \begin{cases} 0 + 0 \\ 1 + 0 \end{cases}$

Si  $\frac{1}{2} + \frac{1}{2} = 1 \rightarrow$  Función simétrica  
 $= 0 \rightarrow$  " antisimétrica  
 $\frac{1}{2} (\uparrow \downarrow - \downarrow \uparrow)$



Se estudian todas las posibilidades:

$L_f$	$S$	$J_f$			
0	0	0	$\rightarrow J_f \neq J_i$	$\dots (-1)^e = (-1)^0 = 1$	NO
0	1	1	$\rightarrow \psi_{total} = \text{sim} \times \text{sim}$	es simétrica	NO
1	0	1	$\rightarrow \psi_{total} = \text{anti} \times \text{anti}$	es simétrica	NO
1	1	0	$\rightarrow$ conserva $J$	$\psi_{total} = \text{anti} \times \text{sim} = \text{anti}$	$\rightarrow$ OK
2	0	2	$\rightarrow$ NO		
2	1	2, 2, 3	$\rightarrow$ NO		

$\rightarrow$  porque son fermiones (exclusión de Pauli)  
 $\rightarrow$   $L_f = 1$  es la solución válida.

$I(\pi) = \pm 1$  ;  $I(d) = 0 \rightarrow I_{total} = 1$

$I(u, \bar{u}) \Rightarrow$  función de ondas de  $u$  spin es simétrica, por lo que no cambia los resultados anteriores.

$\rightarrow$  Conservación de paridad:

$P_i = (P_\pi) \cdot (P_d) \cdot (-1)^{L_i} = P(u)^2 (-1)^{L_f} = P_f$

$\rightarrow$  se conserva en la interacción fuerte

$\rightarrow P_\pi = (P_d) \cdot (-1)^{L_i} = (-1)^1 = -1$

Sabemos que  $P_d = 1$  (enunciado)

$\Rightarrow P_\pi = -1$

6.12

$p + \bar{p}$  en reposo  $\rightarrow$  onda  $S \rightarrow L_i = 0$

Si es interacción fuerte, conserva paridad.

$$\vec{J}_i = \vec{S}_p + \vec{S}_{\bar{p}} + \vec{L}_i = \frac{1}{2} + \frac{1}{2} = \begin{cases} 0 \\ 1 \end{cases}$$

$$\vec{J}_f = \vec{S}_{\pi^0} + \vec{S}_{\pi^0} + \vec{L}_f = \vec{L}_f = \vec{J}_i \rightarrow \vec{L}_f = \begin{cases} 0 \\ 1 \end{cases}$$

$$P_i = P(p) \cdot P(\bar{p}) \cdot (-1)^{0+1} = P(\pi^0) \cdot P(\pi^0) \cdot (-1)^1$$

Como  $\pi^0$  son bosones, la función de ondas total debe ser simétrica, como  $l_{pi} = 0$ , (simétrico),  $\rightarrow L_f = 0$

Como  $p/\bar{p} \rightarrow S_i = 1$  para que f. de ondas antisimétrica (bosones)  
y  $P(p) = 1 \Rightarrow P(\bar{p})$

$P_i = -1 \neq P_f = 1 \rightarrow$  NO es posible vía interacción fuerte.

6.13

$K, p \rightarrow J^P = 0^- \rightarrow$  Ver hoja aparte

6.14

$\begin{cases} \pi^0 \rightarrow 2\gamma \\ \pi^0 \rightarrow 3\gamma \end{cases} \rightarrow$  interacción electromagnética  $\rightarrow$  se conserva CC

$$J^{PC}(\pi^0) = 0^{-+} \rightarrow CC(\pi^0) = 1$$

$J^{PC}(\gamma) = 1 \rightarrow CC(\gamma) = -1 \rightarrow$  porque campos  $\vec{E}$  y  $\vec{B}$  cambian de signo al conjugarse cargas. (Ferrer p. 458)

CC debe conservarse

$$CC(\gamma\gamma) = (-1)^2 = 1 \rightarrow \text{OK}$$

$$CC(\gamma\gamma\gamma) = (-1)^3 = -1 \rightarrow \text{NO, prohibido}$$

6.15

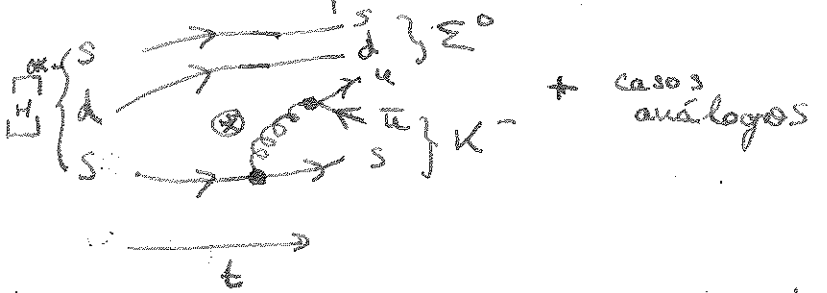
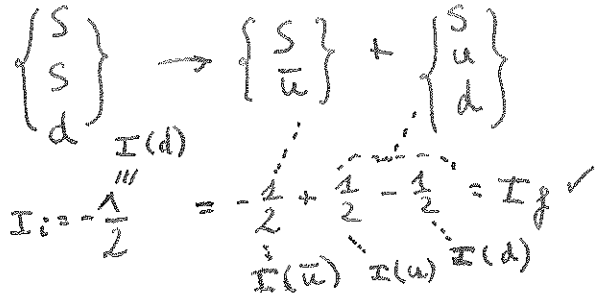
$\rightarrow$  Ver hoja aparte

7.1) Líneas de propagadores ( $W^\pm, Z, \gamma$ ) deben ser verticales, pero no se hace así para ahorrar espacio.

1)  $[H]^{*-} \rightarrow K^- + \Sigma^0$

Conserva extrañeza e isospín

Interacción fuerte

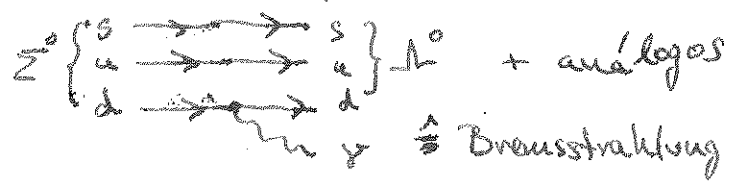


2)  $\Sigma^0 \rightarrow \Lambda^0 + \gamma$

electromagnética ( $\gamma$ : propagador)

$\begin{Bmatrix} s \\ u \\ d \end{Bmatrix} \rightarrow \begin{Bmatrix} s \\ u \\ d \end{Bmatrix} + \text{bosón}$

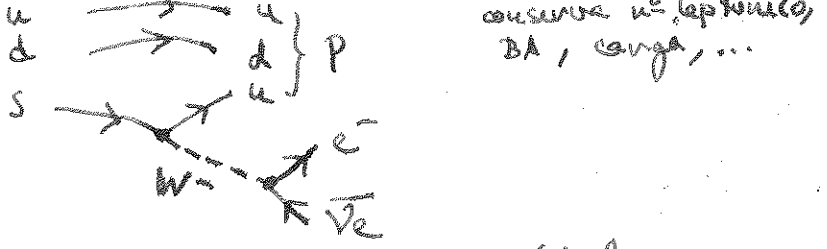
Conserva carga, BA, L, ...



3)  $\Lambda^0 \rightarrow p + e^- + \bar{\nu}_e$

Viola extrañeza  $\rightarrow$  es débil

$\begin{Bmatrix} s \\ u \\ d \end{Bmatrix} \rightarrow \begin{Bmatrix} u \\ u \\ d \end{Bmatrix} + \text{leptones}$

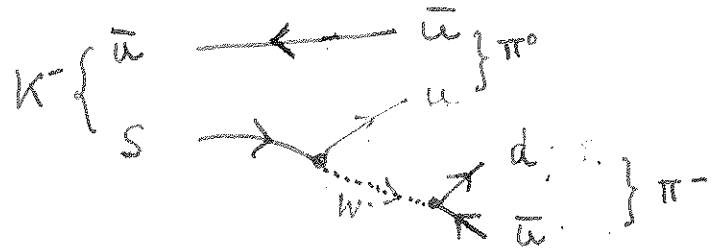


4)  $K^- \rightarrow \pi^- \pi^0$

Viola extrañeza, es débil  
Conserva Q, BA, viola isospín.

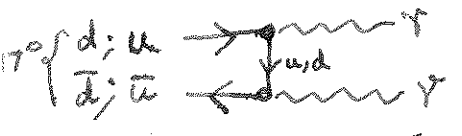
$\begin{Bmatrix} s \\ \bar{u} \end{Bmatrix} \rightarrow \begin{Bmatrix} d \\ \bar{u} \end{Bmatrix} \begin{Bmatrix} \bar{u}u - d\bar{d} \end{Bmatrix}$

$I_i = -\frac{1}{2} \neq -1 = I_f$



5)  $\pi^0 \rightarrow \gamma + \gamma$

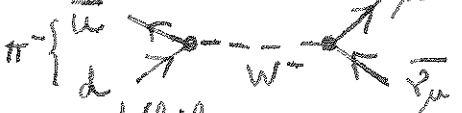
Electromagnética, materializa



6)  $\pi^- \rightarrow \mu^- \bar{\nu}_\mu$

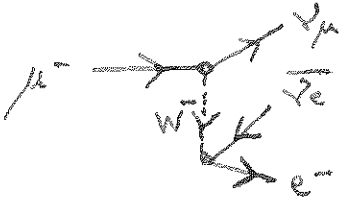
leptones, débil; viola isospín; conserva  $L_\mu, Q, BA$   
 $I_i = -1 \neq I_f = 0$

$\begin{Bmatrix} \bar{u} \\ d \end{Bmatrix} \rightarrow \text{leptones}$



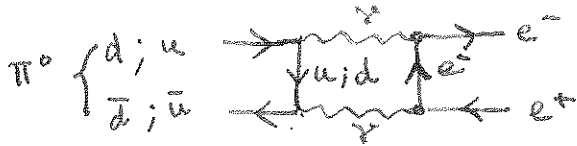
7)  $\mu^- \rightarrow e^- + \bar{\nu}_e + \nu_\mu$

débil, conserva  $L_e, L_\mu, Q, BA, \dots$



(7.2)

(a) Conserva Q, I, Le, S posible a 2º orden, a 1º orden viola conjugación de carga  $C(q\bar{q}) = -1 \neq 1$  (e<sup>-</sup>e<sup>+</sup>)  
 ↳ Electromagnética



(b)  $p \rightarrow n e^+ \nu_e \rightarrow$  Conserva Q, Le, viola isospin  
 No es posible porque  $m_p < m_n \rightarrow p$  estable

(c)  $n \rightarrow p \gamma \rightarrow$  Viola carga, no es posible

(d)  $p \rightarrow \pi^+ \gamma \rightarrow$  Conserva Q; BA es violado:  $3 + \frac{1}{3} \neq 0 = \frac{1}{3} - \frac{1}{3} \rightarrow$  No se da

(e)  $p \rightarrow e^+ \gamma \rightarrow$  Viola BA, Le  $\rightarrow$  no se da

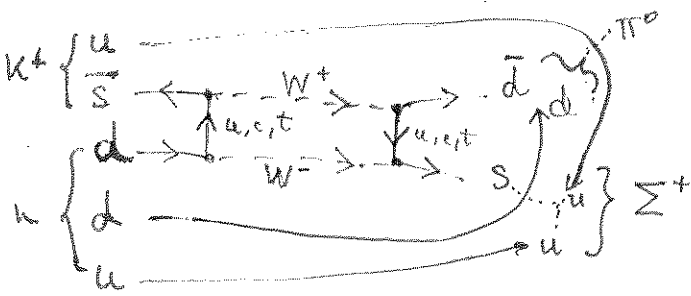
(f)  $\bar{p} n \rightarrow \pi^- \pi^0 \rightarrow$  Conserva Q, BA, S, I  $\rightarrow$  fuerte  
 ↳ Se aniquilan  $u\bar{u}$  o  $d\bar{d}$   $\rightarrow$  quarks.  $-\frac{1}{2} - \frac{1}{2} = -1$

(g)  $\mu^\pm \rightarrow e^\pm e^+ e^- \rightarrow$  Viola  $L_\mu, L_e$  } No se da

(h)  $\mu^\pm \rightarrow e^\pm \gamma$

(i)  $K^+ n \rightarrow \Sigma^+ \pi^0 \rightarrow$  Conserva Q, BA, energía

$\begin{pmatrix} u \\ s \end{pmatrix} \begin{pmatrix} u \\ d \end{pmatrix} \rightarrow \begin{pmatrix} u \\ s \end{pmatrix} \begin{pmatrix} u \\ \bar{u} \end{pmatrix} \begin{pmatrix} d \\ \bar{d} \end{pmatrix} \rightarrow$  Viola S, I  $\rightarrow$  es débil



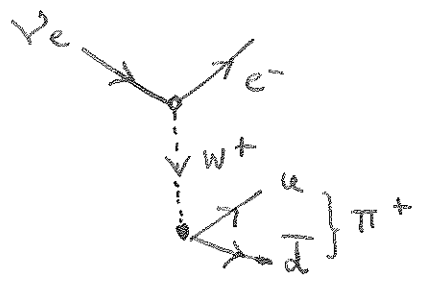
(j)  $\rho^0 \rightarrow 2\pi^0$  Conserva Q

↳ bosones idénticos, f. onda simétrica,  $L_f = 0$

$J_i(\rho^0) = 1 = J_f = L_f + S_f = L_f = 1$  ~~X~~  $\rightarrow$  No es posible por conservación de L

7.3 a)  $\gamma_\mu + p \rightarrow \mu^+ + \nu$   $\Rightarrow$  Viola  $L_\mu \rightarrow L_\mu(\nu_\mu) = +1 \neq L_\mu(\mu^+) = -1$   
 $\rightarrow$  No se da

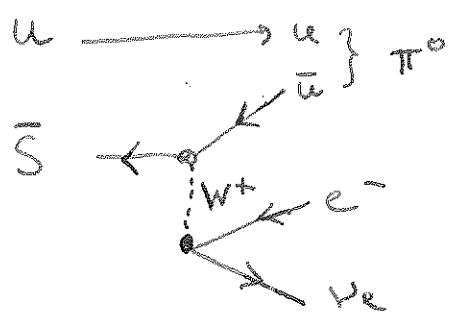
b)  $\nu_e + p \rightarrow e^- + \pi^+ + p$   $\rightarrow$  Conserva Q, Le, BA, S  
 pero es débil! aunque conserve S.  
 Permitida



$p \rightarrow p$  (espectador)

c)  $\Lambda^0 \rightarrow \pi^+ + e^- + \bar{\nu}_e$  Conserva Q, Le, viola S (débil!)  
 pero viola BA  $\rightarrow$  No se da  
 $1 \neq 0$

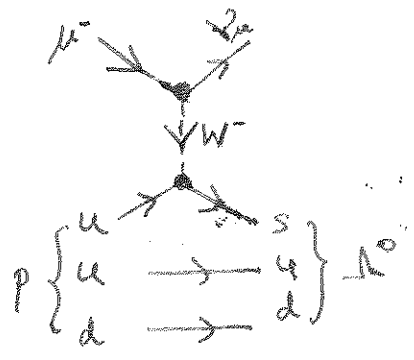
d)  $K^+ \rightarrow \pi^0 + \mu^+ + \nu_\mu$  Conserva Q,  $L_\mu$ , BA, viola S  $\rightarrow$  débil  
 $\rightarrow$  Permitida



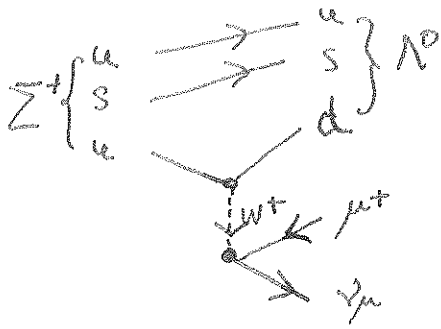
7.4

a)  $\Xi^0 \rightarrow \Sigma^0 + \gamma$   $\rightarrow$  electromagnética, pero viola S  
 $\rightarrow$  Por tanto NO permitida

b)  $\mu^- + p \rightarrow \Lambda^0 + \nu_\mu$   $\rightarrow$  Conserva  $L_\mu$ , BA, viola S, IEs es débil

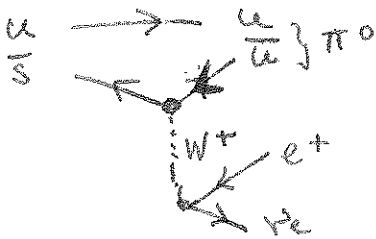


c)  $\Sigma^+ \rightarrow \Lambda^0 + \mu^+ + \nu_\mu \rightarrow$  conserva  $L_\mu, Q, S$ , viola I  
 $L_s$  es débil



d)  $K^- + d \rightarrow \pi^+ + \Sigma^- \rightarrow$  viola conservación de BA  
 $\rightarrow$  si fuese p en lugar de d  $\rightarrow$  posible por int. fuerte

e)  $K^+ \rightarrow \pi^0 + e^+ + \nu_e \rightarrow$  conserva  $Q, L_e, BA$ , viola S  
 $L_s$  débil

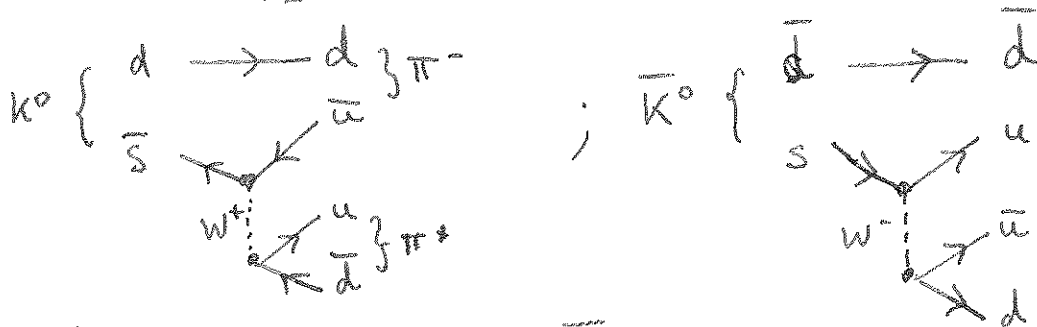


7.5

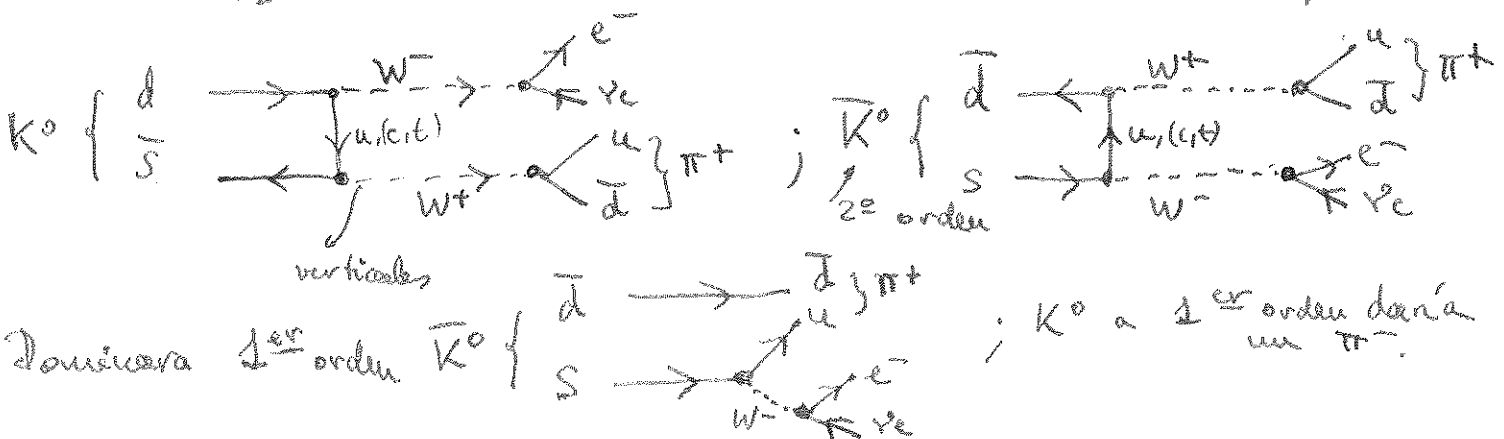
a)  $\mu^- \rightarrow e^- + \bar{\nu}_e + \nu_\mu \rightarrow$  ver 7.1; 7)  
 débil



b)  $K_S^0 \rightarrow \pi^+ + \pi^-$  viola extraneza, conserva Q  
 $L$  débil  
 $K_S \equiv \frac{1}{\sqrt{2}} (|K^0\rangle - |\bar{K}^0\rangle)$



c)  $K_L^0 \rightarrow \pi^+ + e^- + \bar{\nu}_e$  análogo a e)  $\rightarrow$  débil, pero a 2º orden para  $K^0$  y a 1º para  $\bar{K}^0$   
 $K_L \equiv \frac{1}{\sqrt{2}} (|K^0\rangle - |\bar{K}^0\rangle)$

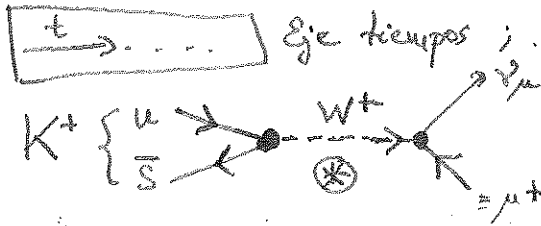


Domisera 1º orden  $\bar{K}^0$   $\rightarrow$   $\pi^+$  ;  $K^0$  a 1º orden daría un  $\pi^-$ .

(7.6)

a) Son dos desintegraciones semileptónicas

1:  $K^+ \rightarrow \mu^+ \nu_\mu$



Cambio de extrañeza ( $\Delta S = 1$ )  
Es una interacción débil por corrientes cargadas (bosón  $W^+$ ) con cambio de extrañeza virtual.

Anchura  $\Gamma_2 \propto \frac{1}{z_1} \propto (\alpha_W)^2$  vértices  
 $\sigma \propto \Gamma_2$   
 $\Gamma_2 \propto \alpha_W^2$

con  $dW \sim 10^{-4} \alpha$   
 $\alpha = \frac{1}{137} \sim 10^{-2}$



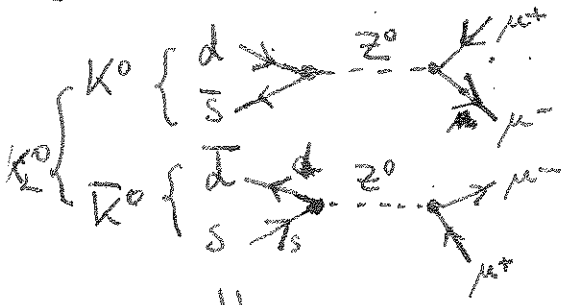
Según teoría, para procesos débiles (que violan extrañeza)

2:  $K_L^0 \rightarrow \mu^+ \mu^-$

$|K_L^0\rangle = \frac{1}{\sqrt{2}} (|K^0\rangle + |\bar{K}^0\rangle)$

\* (Todas las líneas punteadas deben ser verticales, pues solo virtuales, duran muy poco (tiempo de interacción). En todo este problema se pintan horizontales para ahorrar espacio.)

1er orden:



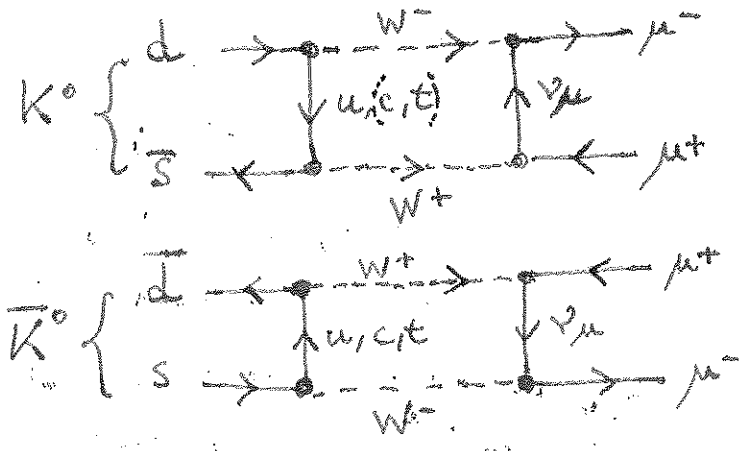
1er orden no está permitido porque  $Z^0$  no puede mezclar familias de quarks distintas (sólo acopla con quarks de la misma familia)

NO SE DA

(ver Fermi), hipótesis Cabibbo

tipo "box"

Buscamos 2º orden (4 vértices) con corrientes cargadas que sí permiten mezclar familias de quarks



$W^{+-}$  se dice para que conserve la carga el vértice

Se viola extrañeza → proceso débil

Se conserva carga en los vértices ✓

Se intercambia un quark  $u, c \text{ o } t$  (carga  $+\frac{1}{3}$ ) virtual

y un neutrino mesónico (conserva  $\bar{\nu}$  leptónico).

$\Gamma_2 \propto \alpha_W^4$  (4 vértices al ser 2º orden y estar el 1º prohibido, frente a 2 vértices del caso 1 donde sí hay primer orden).

$\frac{\Gamma_2}{\Gamma_1} = \frac{\alpha_W^4}{\alpha_W^2} = \alpha_W^2 \sim 10^{-8} \alpha^2 \sim 10^{-12} \Rightarrow \Gamma_2 \sim \Gamma_1 \cdot 10^{-12}$   
 $z_2 \sim z_1 \cdot 10^{12}$

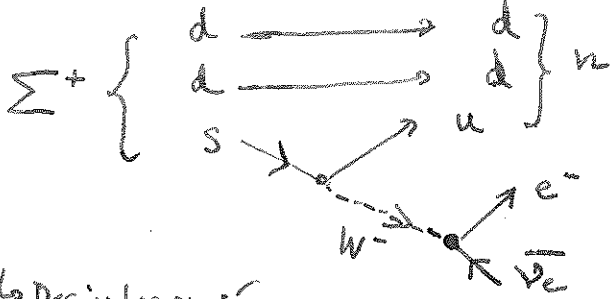
$\sigma \propto p$

FHG  
EAS

→ Por tanto domina el proceso (1), el de 1<sup>er</sup> orden, como era de esperar:  
 $K^+ \rightarrow \mu^+ \nu_\mu$   
 $\frac{p_2}{p_1} \sim 10^{-22} \sim 10^{-3} \rightarrow$  resultado experimental (Feyn p. 549)  
 ~ coincidencia aceptable dadas las aproximaciones realizadas

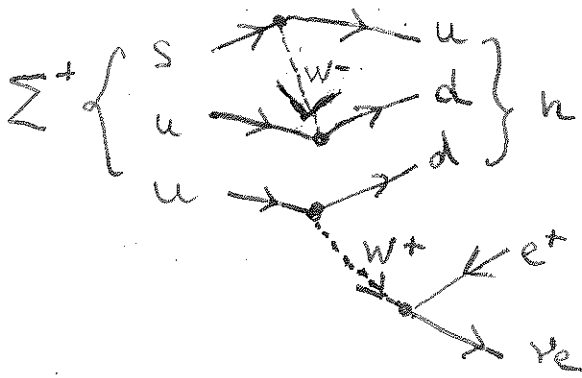
b)

2:  $\Sigma^- \rightarrow n e^+ \bar{\nu}_e$



↳ Desintegración semileptónica

1:  $\Sigma^+ \rightarrow n e^+ \bar{\nu}_e$



Proceso débil, se conserva carga pero se viola extrañeza

1<sup>er</sup> orden, 2 vértices → Valor exp  
 Conserva n<sup>e</sup> leptónico  $\beta_2 \sim 10^{-3}$   
 porque  $\Delta S \neq \Delta Q$

Conserva carga, se viola extrañeza (d/b/c)

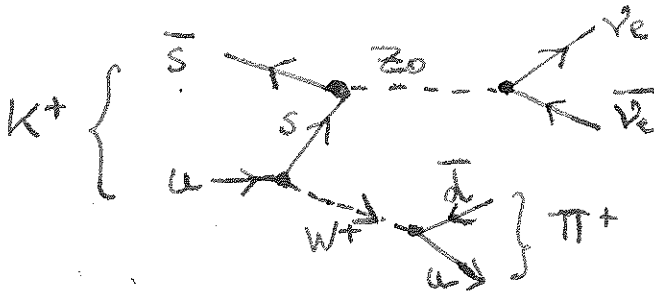
4 vértices, 2<sup>o</sup> orden  
 ↳ poco probable  
 Valor exp  $\beta_2 < 5 \cdot 10^{-6}$

$\frac{p_1}{p_2} \sim \alpha_w^2 \sim 10^{-12}$   
 $\beta_2$

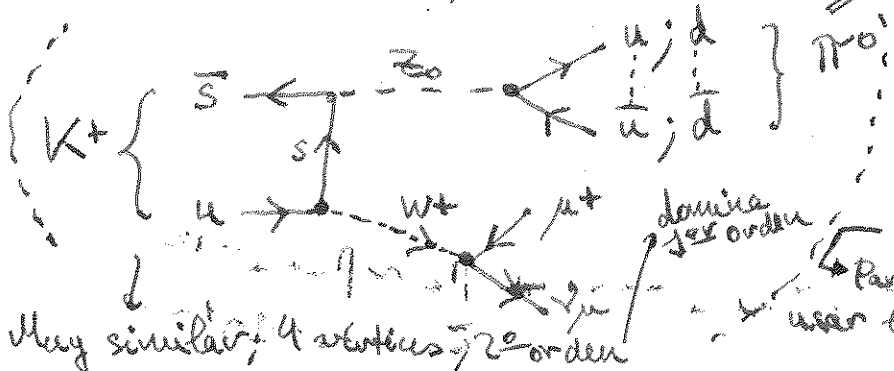
↳ Valor experimental:  $< 5 \cdot 10^{-3}$   
 ... consistente

c)

1:  $K^+ \rightarrow \pi^+ + \nu_e + \bar{\nu}_e$



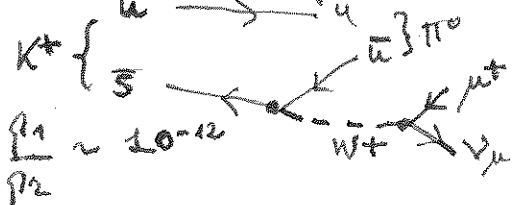
2:  $K^+ \rightarrow \pi^0 + \mu^+ + \nu_\mu$



Se viola extrañeza.  
 Se conserva carga; Le.

2<sup>o</sup> orden, 4 vértices  
 u y  $\bar{s}$  intercambian s virtual.

Dominará el diagrama de 1<sup>er</sup> orden:



$\frac{p_1}{p_2} \sim 10^{-12}$   
 $\beta_2$   
 Experimentalmente:  $< 10^{-6}$   
 Para más rigor, hay que usar la matriz de Cabibbo.

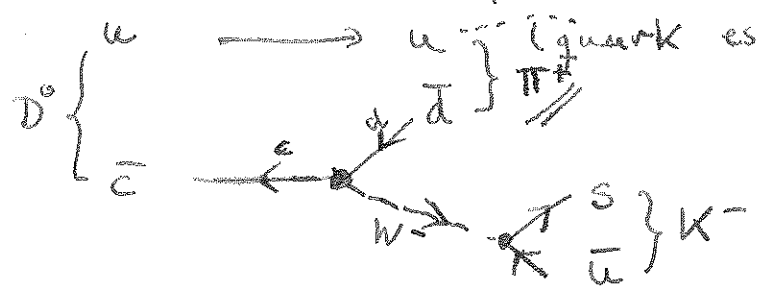
Muy similar, 4 vértices, 2<sup>o</sup> orden



a) Mesones:  $q_i \bar{q}_j \rightarrow$  contenido charm:  $c, Q(c) = 2/3$

$D^0 \rightarrow K^- \pi^+$  →  $D^0$ : neutro:  $c\bar{u}$ ;  $u\bar{c} \equiv D^0$

Viola extrañeza → proceso débil



Violan encanto.

→ Todos violan paridad

$$J_i^P = 0^- \Rightarrow S_j^i + L_j^i = J_j^i = 0$$

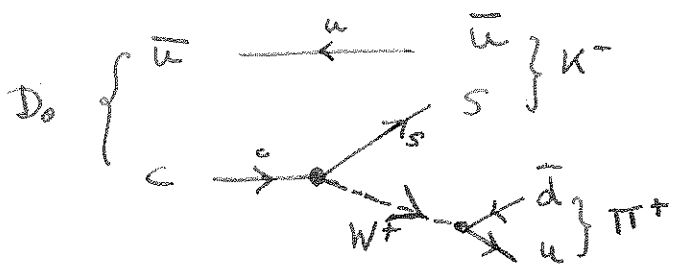
$$L_j = 0$$

$$P_c = (-) = (-1) \cdot (-1) \cdot (-1)^0$$

$$\downarrow \quad \downarrow$$

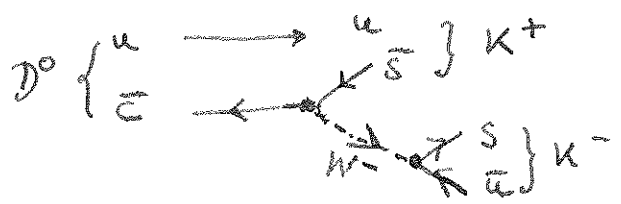
$$P(K^\pm) \quad P(\pi^\pm)$$

ó bien:

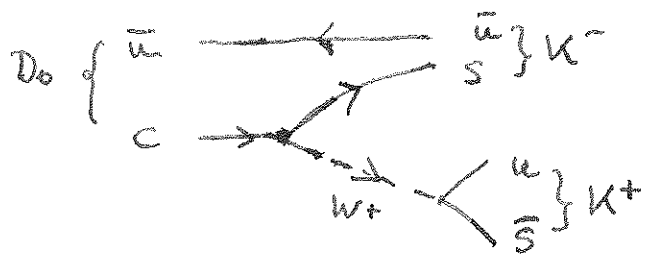


Nota: Las líneas  $W^\pm$  punteadas deben ser verticales, pero se dibujan inclinadas para ahorrar espacio. partículas virtuales

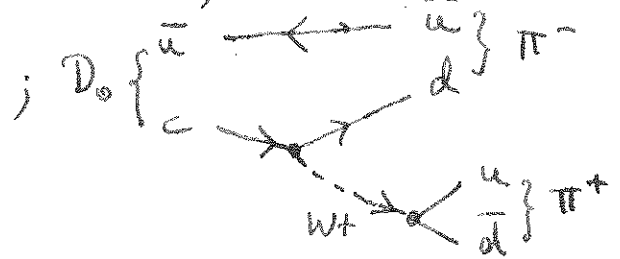
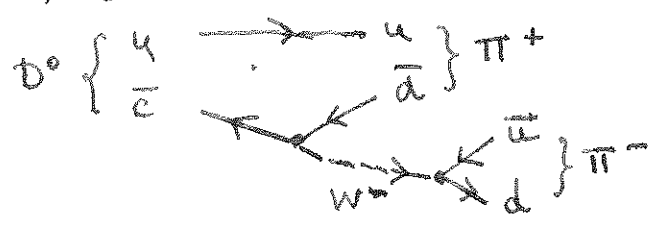
b)



conservan extrañeza globalmente, pero no en cada vértice → proceso débil  $\Delta S = 0$



c) Conservan extrañeza en cada vértice, no encanto.



d) Violan extrañeza

